

RADIO II

NOSITEL
VYZNAMENÁNÍ
ZA BRANNOU
VÝCHOVU
I. A II. STUPNĚ



ŘADA PRO KONSTRUKTÉRY

ČASOPIS PRO ELEKTRONIKU
A AMATÉRSKÉ VYSÍLÁNÍ
ROČNIK XXXV/1986 • ČÍSLO 5

V TOMTO SEŠITĚ

Svazarm včera a dnes 161

NÁVRH ROZHLASOVÉHO PŘIJÍMAČE

Základní pojmy z oblasti rozhlasových přijímačů	162
Všeobecné požadavky na přijímače	164
Technické požadavky na přijímač	170
Sestavení blokového schématu	171
Návrh fáz zesilovače	171
Korekční zesilovače	177
Elektronický prepínač signálů	179
Stereofonní dekodér	181
Mf zesilovač pro FM	182

Konstrukční část

Rozhlasový přijímač MINIKIT 86	186
Modul A - přijímač KV, DV, SV	186
Modul F - stereofonní přijímač VKV	189
Modul O - indikace a ovládání	193
Modul P - předzesilovač a elektronický přepínač	193
Modul S - koncový zesilovač anapájecí zdroj	195
Mechanické díly	199
Závěr	199
Inzerce	200

AMATÉRSKÉ RÁDIO ŘADA B

Vydává ÚV Svazarmu ve vydavatelství NAŠE VOJSKO, Vladislavova 26, 133 66 Praha 1, tel. 26 06 51-7. Šéfredaktor Ing. Jan Klaba, Redakční ředitel Ing. J. T. Hyas. Redaktor L. Kalousek, OK1FAC. Redakce Jungmannova 24, 113 66 Praha 1, tel. 26 06 51-7, šéfredaktor linka 354; redaktor linka 353, sekretářka linka 355. Ročně vydá 6 čísel. Cena výtisku 5 Kčs, pololetní předplatné 15 Kčs. Rozšířuje PNS, v jednotkách ozbrojených sil vydavatelství NAŠE VOJSKO, administrace Vladislavova 26, Praha 1. Objednávky přijímá každá pošta i doručovatel. Objednávky do zahraničí vyřizuje PNS, ústřední expedice a dovoz tisku, závod 01, Kafkova 9, 160 00 Praha 6. Tiskne NAŠE VOJSKO, n. p., závod 08, 160 05 Praha 6, Vlastina ulice č. 889/23. Za původnost a správnost příspěvku odpovídá autor. Návštěvy v redakci a telefonické dotazy po 14. hodině. Číslo indexu 46 044.

Toto číslo má výjít podle plánu 30. 9. 1986.
© Vydavatelství NAŠE VOJSKO.

SVAZARM VČERA A DNEŠ

... Svaz pro spolupráci s armádou plnil stanovené úkoly. Významně se podílel na branné výchově obyvatelstva, na přípravě brančů, na rozvoji branně technické a sportovní činnosti mládeže. Ale i zde platí, že v jeho činnosti nejsou plně využívány vytvořené podmínky a možnosti."

Ze zprávy ÚV KSČ o plnění závěrů XVI. sjezdu strany, schválené XVII. sjezdem KSČ.

Jak je jistě známo, Svazarm má kromě obecných úkolů, platných pro všechny společenské organizace Národní fronty, své zvláštnosti, jejichž podstatou je dána charakterem Svazu pro spolupráci s armádou jako dobrovolné společenské organizace, která má výrazně branné poslání. Z tohoto hlediska byla i hodnocena činnost Svazarmu na společném zasedání jeho ústředních výborů, které se konalo 5. června 1986 v Pardubicích. Na tomto zasedání byla zhodnocena předsedou ÚV Svazarmu, generálporučíkem Václavem Horáčkem, práce Svazarmu za období od XVI. sjezdu KSČ a v souladu s konkrétními požadavky XVII. sjezdu KSČ stanoveny způsoby řešení klíčových problémů organiza-

Především bylo konstatováno, že pro plnění náročných úkolů, které stanovil XVII. sjezd strany, byly předchozí prací vytvořeny dobré předpoklady: vliv Svazarmu ve veřejnosti se prohloubil a rozšířil se jeho branně politický a výchovný vliv. Naše více než milionová organizace, v níž je více než 200 tisíc mladých lidí ve věku od 15. do 18. let, dosáhla v zapojení mládeže do branně sportovních a branně technických činností dalších úspěchů, šíře podchycovala zájmy pracujících za současného prohlubování branného vědomí a občanských postojů k vojenským a společenským potřebám.

Zcela ve shodě se závěry XVII. sjezdu KSČ bylo ovšem i konstatováno, že i pro Svazarmu platí nutnost zlepšit činnost tak, aby byla v souladu se strategií urychleného ekonomického sociálního a společenského rozvoje, založeného na intenzivním uplatňování vědeckotechnického pokroku a využití všech předností socialismu, neboť tato strategie, jak ji schválil XVII. sjezd strany, nevychází jen ze subjektivních přání, ale z objektivní nutnosti dálé rozvíjet socialismus, uspokojovat hmotné a duchovní potřeby obyvatel, splnit svůj díl odpovědnosti vůči socialistickému společenství, mezinárodnímu revolučnímu dělnickému a komunistickému hnutí, upevnit pozice socialismu ve světě a prokázat jeho přednosti a historickou opodstatněnost. Přitom je zcela logické, že součástí celého tohoto úsilí je i zabezpečení obranyschopnosti země.

Zcela obecně i konkrétně pro Svazarm z uvedeného vyplývá, že orientace na urychlený rozvoj platí nejen pro oblast ekonomiky, jak se to někdy zúženě uvádí, ale pro veškerou společenskou činnost. Tato orientace vyžaduje výrazně zvýšit kvalitu a účinnost práce všech orgánů a organizací

a jejich řídících pracovníků na všech stupních a úsecích – tedy i ve Svazarmu, přitom klíčový význam se překládá zejména kvalitnějšímu řízení, tvůrčímu přístupu k uskutečňování programu strany, plnému využití schopností, aktivity a iniciativy lidi.

Platnost uvedených faktů byla ověřena kromě jiného zkusebnostmi a prověrkami činnosti Svazarmu v několika krajích naší republiky. Ukázalo se, že tam, kde chybí dobrá řídící práce, nadšení a zápal pro věc se míjejí s předpokládaným výsledkem, stejně jako tam, kde chybí neformální součinnost s partnery v branné výchově, účelná organizace práce výborů a jejich aparátu, pevné spojení se základními organizacemi a péče o jejich plodnou činnost. Negativní vlivy na činnost mají i v čase, neřešené problémy v kádrovém a materiální činnosti, špatná a nedůsledná práce s aktivitem i malá pomoc z krajů a republikových ústředních výborů. Naopak tam, kde se všechny problémy operativně řeší, kde je dobré rozvinutá branně výchovná a politická činnost a kde, jedním slovem, správně funguje řízení, plní Svazarm všechny své úkoly a „ještě něco navíc“ – což je požadavek, který je předpokladem této již zmíněné orientace na urychlený rozvoj naší společnosti, jejímž výrazem v ekonomické sféře je např. hnůti, které je známo pod názvem Pražská výzva, které přineslo již řadu ceniných vkladů našemu hospodářství.

V úvodní části hodnocení činnosti Svazarmu bylo pojednáno o politickovýchovné práci. Za prospěšný a užitečný čin uplynulého období bylo označeno dobudování systému a upevnění úlohy politickovýchovné práce v mnohostranné činnosti a životě organizace. V obsahovém zaměření, stanovených formách, zásadách i metodách řízení odpovídá politickovýchovné práce charakteru i potřebám rozvoje naší branné organizace. Slabiny má však v malé konkrétnosti obsahového zaměření a přínosu jednotlivých forem.

Stále je nutno požadovat, aby byly zobecnovány výsledky a zkušenosti z individuální výchovné práce funkcionářů, branně výchovné aktivity a pracovníků aparátu mezi členy i na veřejnosti. Nadále zůstává požadavek těsného spojení ideologické práce se životem, nadále je třeba hledat cesty, jak upevnit ideovou a odbornou jednotu v branně výchovném působení Svazarmu, což je problém, o němž se jednalo již mnohemkrát, a který se řeší různými cestami a prostředky. Jak tuto



jednotu dále upevňovat, jak řešit skloube- ní individuálních a celospolečenských zá- jmů, je naléhavým a složitým úkolem, který je třeba řešit průběžně. K řešení nepřispívají kromě jiného ani dosud exis- tující dvě krajnosti: zaujetí jen technickou stránkou činnosti, popř. redukování politickovýchovné práce na systém branně politického vzdělávání, uskutečňovaný prostřednictvím školení, přednášek, se- minářů a besed. Je jasné, že nejúčinnější metodou politickovýchovné práce bude vždy taková metoda, při níž ideové půso- bení bude zcela přirozeně vyvěrat z vlastní zájmové branné a výchovné činnosti, ne- boť jestliže členové Svazarmu určitě svě- tonárovné, politické a mravní poznatky nejen pochopí, ale v návaznosti na svou činnost prožijí, pak je mohou i promítat

do svých postojů a jednání.

Významným rysem hodnoceného ob- dobí byla zvýšená snaha všech orgánů vytvořit finanční, materiálně, technické, organizační a řídící předpoklady. Je třeba uvést, že hlavní potřeby byly, i když se značnými problémy pokryty. I v této oblasti se nahromadily různé problémy, kte- ré vyžadují hlubší analýzu a rozhodnější řešení. Neodkláděně je ovšem třeba řešit předešlém ekonomickém zabezpečení a řídicí činnost v této oblasti se zřetelem na úroveň nových úkolů.

Dobře se rozvíjela spolupráce s bratrskými brannými organizacemi, zejména DOSAAF, rozšiřuje se výměna zkušeností, více byly podporovány branné organizace rozvojových socialistických států, upevni- la se i pozice Svazarmu a všech branných

organizací socialistických států v meziná- rodních sportovních organizacích, k čemuž jistě přispěly i významné úspěchy našich předních sportovců na mezinárodních kolojištích.

K úspěchům patří i širší a kvalitnější podíl na plnění úkolů branné výchovy, popularizace armády a brannosti výběc a přínos odbornosti včetně radioamatérství pro technické a branné znalosti a do- vednosti lidí, dopravní výchovu, kázání a kolektivní pojetí životu. Praktické naplňování myšlenky jednoty budování a obrany představuje 560 brigád socialistické práce Svazarmu, přes 6000 poslanců národních výborů z růzích členů naší organizace a velké množství aktivistů.

Pokračování

NÁVRH ROZHLASOVÉHO PŘIJÍMAČE Minipřijímač KIT 85

Vojtěch Matoušek

Rozhlasový přijímač se skládá z přijí- mači antény, z vlastního přijímače a re- produkčního zařízení, určeného k re- produkci přijímaných signálů. Dále se budeme zabývat jen návrhem vlastního rozhlasového přijímače. Typy antén s jejich parametry a parametry reprodukčního zařízení budeme uvádět jen tehdy, souvisí-li s vlastním návrhem přijímače.

Rozhlasové přijímače rozdělujeme na skupiny podle různých hledisek, z nichž nejčastěji jsou uvažována tato: zapojení přijímače, tvar přijímaných signálů, využití přijímače, kmitočtový rozsah, typ použitých aktivních součástek a konstrukční provedení.

Podle zapojení rozlišujeme přijímače s přímou detekcí signálu (krystalky), přijí- mače přímozesilující se synchronní de- tekcí, superreakční a heterodyná přijímače. Vzhledem k tomu, že přijímače hetero- dynní (superhetry) jsou dnes nejrozšíře- néjší, budeme se dále zabývat jen tímto druhem přijímačů.

Přijímané signály slouží k přenosu in- formace nebo k určení polohy a parametru pohybujícího se předmětu (vysílače). Podle tvaru signálu dělíme přijímané signály na tyto hlavní skupiny:

1. Spojitě se měnící signál buď s proměnnou amplitudou (AM), s proměnným kmitočtem (FM) nebo fází (PM).
2. Signály s nespojitou změnou amplitu- dy, kmitočtu nebo rozdílu fází.
3. Signály s proměnnou amplitudou, s proměnným kmitočtem nebo fází, které mají charakter obrazových im- pulsů s modulací amplitudovou, šířko- vu, časovou nebo modulací delta.
4. Signály nesoucí informaci klíčováním nosné.

Podle poslání rozdělujeme přijímače na telekomunikační, rozhlasové, televi- zní, radiolokační, radionavigační, přijímače pro radioreléovou a telemetrickou síť, přijímače pro příjem z družic apod.

Telekomunikační přijímače nejčastěji slouží k příjmu signálů na jednom z da- ných kmitočtů pásmu a mohou zpracová-

vat signály s amplitudovou modulací (i s potlačenými postranními pásmeny), tele- grafní signál, signál-kmitočtově modulo- vaný, nebo mohou zpracovávat diskrétní signály, tj. signály se skokovou změnou amplitudy, kmitočtu nebo se změnou roz- dílu fází. Kromě toho jejich kmitočtový rozsah bývá obvykle větší než u běžných rozhlasových přijímačů.

Rozhlasové přijímače jsou určeny pro příjem spojitých signálů v rozsahu dlou- hých, středních, krátkých a velmi krátkých vln. Televizní přijímače zpracovávají obvykle signály AM s částečně potlačenými postranními pásmeny a kmitočtově nebo amplitudově modulovaný signál zvukového doprovodu. Barevné televizní přijímače musí navíc zpracovat i barvonošný signál.

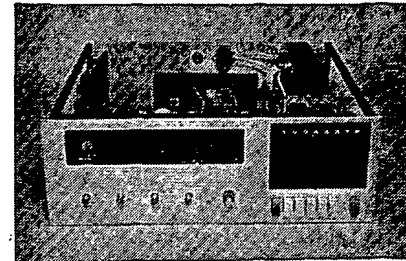
Přijímače pracující na mezilehlých stanici radioreléových spojů zpracovávají současně několik signálů přenášených v daném pásmu několika kanálech a tyto signály po zpracování se vysílají k další radioreléové stanici. K rozdělení těchto signálů přenášených po jednotlivých kanálech dochází v koncové radioreléové stanici.

Radiolokační stanice pracují obvykle v impulsním módu a vysílají sled v impul- sů dané délky, amplitudy a daného kmitočtu, které jsou po odrazu od pohyblivého předmětu v přijímači radiolokátoru vyhodnoceny jako požadované veličiny.

Přijímače pro příjem z družic pracují obvykle v pásmu cm a mm vln a podle svého zaměření zpracovávají signály vysílané družicí.

V souladu s doporučením CCIR (mezinárodní organizace pro rozhlas) je spek- trum rozhlasových kmitočtů rozděleno na pásmo kilometrové, 30 až 300 kHz, hektometrové, 0,3 až 3 MHz, dekametrové, 3 až 30 MHz, metrové, 30 až 300 MHz; deci- metrové, 0,3 až 3 GHz, centimetrové, 3 až 30 GHz, milimetrové, 30 až 300 GHz a de- cimilimetrové, 300 až 3000 GHz.

Jako aktívni prvky se do kmitočtu 45 GHz používají obvykle tranzistory, Gunnovy diody, lávínové diody a diody PIN. Pro kmitočty nad 45 GHz se používají elektronky s postupnou vlnou. Pro kon- strukci běžných rozhlasových přijímačů se v současné době používají integrované a hybridní obvody, tranzistory a diody,

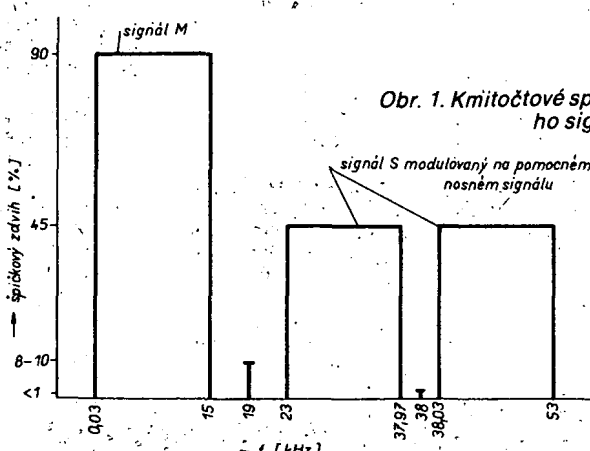


doplňené pasivními a konstrukčními sou- částkami. Pro konstrukci se využívají ploš- ných spojů a na vysokých kmitočtech i upevňovacích bodů.

Základní pojmy z oblasti rozhlasových přijímačů (ČSN 36 7303)

1. Rozhlasový přijímač – přístroj určený pro příjem rozhlasových programů, který je používán širokým okruhem obyvatel a není určen pro jiné speciální účely v oblasti rozhlasového příjmu.
2. Stereofonní přijímač – přístroj určený k příjemu stereofonních programů v pásmu VKV, jehož nízkofrekvenční část je schopna zpracovat stereofoni- ní záznam z magnetofonu a gramofonu.
3. Neprenosný přijímač – přístroj určený k použití na jednom místě.
4. Prenosný přijímač – přístroj určený k použití na několika místech, obvykle doplněný vnitřním zdrojem napájení.
5. Autopřijímač – přístroj určený k pre- němu, vestavění do motorových vozidel.
6. Kombinace – přístroj doplněný buď magnetofonem nebo gramofonem nebo oběma témito přístroji.
7. Přijímač se zlepšenými parametry – rozhlasový přijímač nejvyšší jakostní skupiny, jehož nf část je stereofonní a technické parametry dílu AM odpovídají 1. a 2. jakostní skupině. Díl AM je jen doplňkem a tudíž nemusí být jeho součástí.
8. Kombinace se zlepšenými parametry – soustava stereofonního přijímače s gramofonem nebo magnetofonem se zvýšenými požadavky.
9. Superheterodyn – přijímač, který mění přijímaný kmitočet na jeden nebo dva kmitočty mezfrekvenční.
10. Kmitočtové pásmo – rozsah kmitočtů, na kterém je vysílán rozhlasový pro- gram (DV, SV, KV, VKV).
11. Kmitočtový rozsah – rozsah kmitočtů, které je schopen přijímač přijímat bez přepínání.
12. Rozprostřený rozsah – kmitočtový rozsah nebo jeho část, v němž je

- technickými prostředky dosaženo jemnějšího a přesnějšího nastavení signálů požadovaných kmitočtů.
13. Samočinné ladění – schopnost přijímače automaticky se nastavit na vysílaný signál nejbližšího kmitočtu dostatečně úrovně bez přecházejícího nastavení.
 14. Předvolba – ladění, při kterém se signál předem nastaveného kmitočtu nastaví skokem.
 15. Automatické doložení kmitočtu oscilátoru, ADK, AFC – schopnost přijímače vyrovnat malé kmitočtové změny od nastaveného kmitočtu.
 16. Mezifrekvence – mezinosný kmitočet u superheterodynů.
 17. Zrcadlový kmitočet – kmitočet signálu, který je souměrný s kmitočtem f_p přijímaného signálu, u něhož je středem souměrnosti kmitočet oscilátoru f_o .
 18. Zakódovaný stereofonní signál – úplný signál, kterým je kmitočtově modulována nosná vlna vysílače při stereofonním přenosu. V soustavě s pilotním kmitočtem je tvořen:
 - a) signálem M, který je rovný polovině součtu signálu pravého a levého kanálu;
 - b) signálem pilotního kmitočtu $19 \text{ kHz} \pm 2 \text{ Hz}$, který má 8 až 10 % maximálního zdvihu vysílače, a který na straně přijímače slouží k obnovení pomocného signálu s fazí, která odpovídá fázi pomocného nosného signálu na vysílači;
 - c) signálem S, který je rovný polovině rozdílu signálu levého a pravého kanálu a který je amplitudově modulován na pomocnou nosnou $38 \text{ kHz} \pm 4 \text{ Hz}$, (která je potlačena tak, aby nezpůsobila větší zdvih než 1 % maximálního zdvihu vysílače, při čemž harmonické pomocné nosné a jejich postranní pásmá nesmí zvětšit maximální zdvih vysílače o více než 0,2 %) (obr. 1).
 19. Pilotní kmitočet –
 - a) signál o kmitočtu $19 \text{ kHz} \pm 2 \text{ Hz}$,
 - b) signál pomocné nosné o kmitočtu $38 \text{ kHz} \pm 4 \text{ Hz}$.
 20. Interferenční poměr – poměr mezi žádaným a nežádoucím signálem. Obvykle se uvádí v dB.
 21. Vstupní (výstupní) impedance – impedance mezi vstupními (výstupními) svorkami. Pro vf signál jsou vstupními svorkami místo pro připojení antény a země pro nesouměrný vstup, případně dipólu při souměrném vstupu. Pro nf signál jsou vstupními svorkami místa pro připojení nf signálu. Výstupními svorkami jsou místa připojení reproduktorů nebo sluchátek.
 22. Vstupní (výstupní) napětí – napětí na vstupních (výstupních) připojných místech přijímače.



23. Přeslechy mezi kanály.
- a) Poměr [dB] mezi jmenovitým výstupním napětím kanálu A k výstupnímu napětí kanálu B, je-li vstupní napětí kanálu B nulové a regulátor hlasitosti v dané poloze. Stejně tak i při přeslechu z kanálu A do kanálu B;
 - b) přeslech [dB] mezi vstupy je poměr jmenovitého výstupního napětí k efektivnímu výstupnímu napětí, které vzniká přeslechem signálu z nepropojeného vstupu pracujícího s jmenovitým napětím zdroje a signálu vstupu, pracujícího s nulovým napětím zdroje (v dané poloze regulátoru hlasitosti).
24. Modulace – úměrné ovlivňování charakteristické veličiny (kmitočtu, amplitudy a fáze nosného signálu – obvykle vf) modulační veličinou.
 25. Amplitudová modulace (AM) – úměrné ovlivnění amplitudy nosného signálu modulační veličinou.
 26. Hloubka amplitudové modulace – poměr rozdílu mezi největší a střední amplitudou ku střední amplitudě (obr. 2). Udává se obvykle v %.
-
- Obr. 2. Amplitudově modulovaný signál
27. Kmitočtová modulace (FM) – úměrné ovlivňování kmitočtu nosného signálu modulační veličinou.
 28. Kmitočtový zdvih – změna kmitočtu při kmitočtové modulaci. Max. kmitočtový zdvih je změna kmitočtu, která odpovídá nejvyšší úrovni modulační veličiny vůči kmitočtu nosného signálu bez modulace.
 29. Standardní modulace zkušebního signálu – při amplitudové modulaci je modulační kmitočet 1 kHz a hloubka modulace 30 %. Při kmitočtové modulaci a u signálu mono při VKV je zdvih 15 kHz, pro VKV II (87,5 až 108 MHz) je zdvih 22,5 kHz. Pro stereo na obou pásmech VKV je zdvih 40 kHz.
 30. Nelineární zkreslení – zkreslení, které vzniká v nelineární soustavě. Nejčastěji uváděnými typy zkreslení je zkreslení intermodulační a zkreslení způsobené křížovou modulací.
 31. Činitel harmonického zkreslení – je poměr efektivního výstupního napětí všech harmonických složek (počínaje druhou harmonickou) k efektivnímu
- napětí základní harmonické složky o kmitočtu f, je dán vztahem:
- $$k = \sqrt{\frac{U_2^2 + U_3^2 + U_4^2 + \dots + U_n^2}{U_1^2 + U_2^2 + U_3^2 + U_4^2 + \dots + U_n^2}} \cdot 100 \%$$
- kde U_2, U_3 až U_n jsou efektivní napětí jednotlivých harmonických složek (2. až n.) a U_1 je napětí základní harmonické složky.
32. Intermodulační zkreslení signálu – je nelineární zkreslení výstupního signálu způsobené vznikem nových kombinačních složek na výstupu přijímače, když na jeho vstupu působí dva nebo několik harmonických signálů o daných amplitudách a kmitočtech.
 33. Křížová modulace – je nežádoucí transformace modulace rušivého signálu na nosnou signálu užitečného.
 34. Elektrická kmitočtová charakteristika – je závislost amplitudy výstupního signálu anebo výstupního výkonu na kmitočtu při konstantní amplitudě výstupního budicího signálu.
 35. Kmitočtový souběh zesílení [dB] je poměr zesílení kanálů v závislosti na kmitočtu při dané poloze regulátoru hlasitosti.
 36. Fyziologická regulace hlasitosti – regulace hlasitosti, při které se mění kmitočtová charakteristika výstupního signálu se zřetelem na vlastnosti lidského ucha.
 37. Přijímací anténa – je zařízení sloužící pro příjem energie elektromagnetického pole a její přeměnu na elektrický vf signál pro vf vstup přijímače. Může být venkovní a vnitřní.
 38. Umělá anténa – při měřeních nahrazuje přijímací anténu pro určité přijímací podmínky a dané kmitočtové pásmo.
 39. Akustická kmitočtová charakteristika – je kmitočtová charakteristika celého zesilovacího kanálu zajištěná měřením hladiny akustického tlaku, který vytvoří reproduktor v daném bodě poslechového prostoru.
 40. Střední akustický tlak – je efektivní akustický tlak měřený ve standardním poslechovém prostoru daným šumovým signálem. Uvádí se především hladina standardního akustického tlaku [dB] vztažená na tlak $2 \cdot 10^{-5} \text{ Pa}$.
 41. Střední jmenovitý charakteristický tlak – je akustický tlak odpovídající největšímu elektrickému výstupnímu výkonu (anebo jiným způsobem definovanému elektrickému výstupnímu výkonu přijímače).
 42. Tuner – je zařízení určené pro příjem rozhlasového vysílání, které obsahuje vf a mf díl a u FM i stereofonní dekodér. Výstupní signál je určen pro další nízkofrekvenční zpracování.
 43. Práh stereofonního příjmu je napětí na vf vstupu přijímače, při kterém se samočinně přepne stereofonní dekodér na stereofonní provoz.
 44. Tiché ladění – blokování šumu na výstupu přijímače při jeho přeřadování, nebo není-li dostatečný vstupní signál.
 45. Práh potlačení šumu – je napětí na vstupu přijímače, při kterém se automaticky otevírá výstup přijímače při daném poměru signál/šum.
 46. Stereofonní váha – je ovládací prvek, kterým se kmitočtově nezávisle vyrovná zesílení mezi jednotlivými kanály při stereofonii.

47. Citlivost.
 a) Základní citlivost je citlivost omezená šumem jako minimální úroveň vstupního signálu při standardní modulaci, při které dostaneme standardní výstupní výkon při poměru úrovně výstupního signálu včetně šumu k úrovni šumu rovněž při FM = 26 dB a při AM = 20 dB;
 b) užitečná citlivost je citlivost omezená šumem jako minimální úroveň vstupního signálu při standardní modulaci dávající standardní výstupní výkon při poměru úrovně výstupního signálu včetně šumu k úrovni šumu při FM = 46 dB a při AM = 36 dB;
 c) citlivost pro nasycený stav při FM je úroveň vstupního signálu při standardní modulaci, při které se zmenší úroveň výstupního signálu o 3 dB, zmenšujeme-li plynule úroveň vstupního signálu.
48. Hvizdy – jsou interference, které vznikají působením různých částí superheterodynálního přijímače.
49. Potlačení AM na rozsazích FM je schopnost přijímače potlačit přítomnou AM a intermodulační složky, jsou-li na vstup přivedeny současně signály AM i FM.
50. Činitel odrazu na vstupu VKV přijímače. Odrazy na vstupu přijímače jsou způsobeny nepřípůsobením impedance anténního svodu ke vstupní impedance přijímače.
51. Zahlcení přijímače blízkým signálem znemožňuje příjem požadovaného signálu; je-li současně s ním přiveden na vstup přijímače signál blízkého kmitočtu s větší amplitudou.
52. Autoanténa – přijímací anténa, která je pevně vestavěna do motorového vozidla. Její impedance je 150Ω a kapacita max. 70 pF .
- Těchto 52 definicí nám umožní se rychle orientovat jak při návrhu, tak i při měření přijímače.

Všeobecné kvalitativní požadavky na přijímač

Při návrhu a konstrukci přijímače se musíme snažit, aby se přijímač svým konstrukčním vybavením a vzhledem co nejvíce blížil současnemu stavu techniky. Jak jsme již uvedli, rozhlasové přijímače se dělí podle provozních podmínek na nepřenosné, přenosné a autopřijímače. Podle vlastnosti a vybavení je dělíme do skupin (viz ČSN 36 7303). Nepřenosné přijímače rozdělujeme na čtyři skupiny:

Skupina 1

Do této skupiny patří přijímače nejvyšší jakostní skupiny s věkou věrností přenosu. Přijímače musí být stereofonní s oddělenou regulací hloubek a výšek, musí mít automatické přepínání mono-stereo, indikátor stereofonního příjmu, přepínač mono-stereo, možnost stereofonního reproduktu z magnetofonu a gramofonu s magnétodynamickou přenoskou a výstup pro záznam na magnetofon. Musí mít indikátor vyladění, vypinatelné AFC, tiché ladění, výstup pro stereofonní sluchátka a odpojitelnou fyziologickou regulaci hlasitosti. Mohou být doplněny novinkami, které zlepšují a zjednoduší obsluhu. Mají mít výstup na reproduktarové soustavy.

Skupina 2

Nepřenosné stereofonní přijímače používané v kombinaci s gramofonem

nebo magnetofonem apod. Mají menší nízký výkon než přijímače skupiny 1. Přijímače musí mít na FM automatické přepínání mono-stereo, indikátor stereofonního příjmu, ruční spínač mono-stereo, umožňují stereofonní reproduktu z gramofonu a magnetofonu, mají výstup pro záznam na magnetofon, vypinatelné AFC, připojku pro stereofonní sluchátka, oddělenou regulaci hloubek a výšek, tiché ladění a šumovou automatiku. Dále musí mít výstup pro reproduktory, pokud nejsou reproduktory jeho součástí. Další vybavení není omezujícím činitelem.

Skupina 3

Standardní nepřenosné přijímače s podobným vybavením jako ve skupině 2. Mají mít oddělenou regulaci hloubek a výšek, připojku pro sluchátka, reproduktory vestavěné ve vlastní skřínce nebo reproduktarové soustavy středních rozměrů, vlnové rozsahy VKV, KV, SV, DV a mohou být doplněny šumovou automatikou a tichým laděním. Je možné je používat do kombinací. Mohou mít i další vybavení, např. ovládací prvky apod.

Skupina 4

Malé přijímače sloužící jako vedlejší přijímače, které mohou být doplněny účelovým zařízením (budíkem, spinacími hodinami apod.) Mohou mít různé provedení vzhled. Jsou vyroběny jako nepřenosné a pokud jsou na baterie, jsou doplněny i síťovým zdrojem. Mají minimální počet reproduktérů a akustická kmitočtová charakteristika je omezená.

Přenosné přijímače dělíme též do čtyř skupin:

Skupina 1

Kufříkové stereofonní přijímače vhodné i pro spojení se stereofonním kazetovým magnetofonem. Musí být stereofonní, mít vypinatelné AFC, automatické přepínání mono-stereo, indikaci stereofonního příjmu, ruční spinání mono-stereo, indikátor vyladění, konektor pro připojení stereofonního magnetofonu a gramofonu, konektor pro vnější anténu, reproduktory a stereofonní sluchátka, vlnové rozsahy VKV, KV, SV, DV, oddělenou regulaci hloubek a výšek, kombinované napájení z monočlánku a autobaterie nebo sítě. Mohou být doplněny tichým laděním a jinými prvky, které zlepšují a zjednoduší obsluhu.

Skupina 2

Přenosné přijímače podobné jako ve skupině 1, avšak stereofonní provoz, indikátor vyladění a kombinované napájení nejsou podmínkou.

Skupina 3

Přenosné přijímače středních rozměrů napájené většinou z baterií (mohou mít připojku na vnější zdroj nebo síťovou vložku). Mají nejméně tři vlnové rozsahy, z nichž jeden je VKV. Další doplnky nejsou nutné.

Skupina 4

Malé přijímače, které jsou vybaveny základními ovládacími prvky a jsou napájeny z baterie. Výkon, počet rozsahů a nízkofrekvenční rozsah elektroakustické charakteristiky jsou dány rozměry přijímače.

Autopřijímače dělíme do tří skupin:

Skupina 1

Autopřijímače ve stereofonním provedení určené pro trvalé vestavění a provoz v automobilu. Jsou napájeny jen z autobaterie, musí mít čtyři vlnové rozsahy včetně VKV, vypinatelné AFC, tláčítkovou převolbu, tónový regulátor, připojku pro magnetofon a reproduktarovou soustavu a případně vestavěný stereofonní kazetový přehrávač. Mohou být doplněny dalšími prvky, které zjednoduší a zlepší obsluhu.

Skupina 2

Autopřijímače s klasickým vybavením pro vestavění a provoz v automobilu. Mají nejméně dva vlnové rozsahy a pokud mají VKV, musí mít AFC. Napájeny jsou jen z autobaterie. Nemusí mít tónovou clonu.

Skupina 3

Autopřijímače s podobnou konstrukcí jako ve skupině 2 jen se základním vybavením. Napájení z autobaterie.

Pro reproduktarové soustavy jsou doporučeny impedanční hodnoty 4, 8 a 16Ω , případně 25, 50 a 100Ω . Jmenovitý elektrický příkon reproduktarové soustavy musí být o 20 % větší, než je jmenovitý výstupní výkon jednoho kanálu přijímače.

Všeobecné technické požadavky

Všeobecné technické požadavky jsou uvedeny v tabulkách 1 až 3. Přijímače musí splnit všechny závazné požadavky pro danou skupinu. Mezi všeobecné technické požadavky patří:

1. *Napájecí napětí.* Síťové přijímače musí spolehlivě pracovat při odchylce $\pm 10\%$ od jmenovitého napětí sítě a při standardních klimatických podmínkách. Přenosné přijímače musí spolehlivě pracovat při napájení z vestavěného napájecího zdroje při odchylce $\pm 10\%$ a -35% jmenovitého napětí při zatížení ve standardních klimatických podmínkách. Autopřijímače musí spolehlivě pracovat při napájení z autobaterie v rozmezí -10% až $+20\%$ jmenovitého napětí. Doporučená napájecí napětí jsou:

- a) přijímače nepřenosné $= 220 \text{ V}$
- b) přijímače přenosné $= 12, 9, 7, 5, 6 \text{ V}$
- c) autopřijímače (jmenovité)
(provozní) $= 12, 6 \text{ V}$
 $= 14, 7 \text{ V}$

Při změnění napájecího napětí je třeba počítat se zhoršením parametrů (výstupního výkonu, zkreslení, citlivosti).

2. *Standardní klimatické podmínky.* Pokud není stanovenou jinak – ověřují se vlastnosti přijímačů při těchto podmínkách:

teplota $+20 \pm 5^\circ \text{C}$,
relativní vlhkost vzduchu od 45 do 75 %,
tlak vzduchu od 86 do 106 kPa.

3. *Kmitočtové rozdělení rozhlasových pásem.* Přijímače pracují v těchto kmitočtových pásmech:
vysílače s kmitočtovou modulací
VKV I 66 až 73 MHz,
VKV II 87,5 až 108 MHz,

vysílače AM
v pásmu dlouhých vln, 2000 až 1050 m, 150 až 285 kHz;
středních vln, 572 až 185 m; 525 kHz až 1,605 MHz,
krátkých vln, 50,42 až 11,49 m, 5,95 až 26,1 MHz.

Pro snazší ladění jsou na krátkých vlnách využívány rozprostřená pásmata:

- 49 m – 5,95 až 6,2 MHz,
- 41 m – 7,1 až 7,3 MHz,
- 31 m – 9,5 až 9,775 MHz,
- 25 m – 11,7 až 11,975 MHz,
- 19 m – 15,1 až 15,45 MHz,
- 16 m – 17,7 až 17,9 MHz,
- 13 m – 21,45 až 21,75 MHz,
- 11 m – 25,6 až 26,1 MHz.

Některé typy přijímačů mají ještě tato pásmata:

- 125 m – 2,3 až 2,498 MHz,
- 90 m – 3,2 až 3,4 MHz,
- 75 m – 3,95 až 4,0 MHz,
- 62 m – 4,75 až 4,995 MHz,
- 59,5 m – 5,005 až 5,06 MHz.

4. *Bezpečnost přijímačů.* Pro bezpečnost z hlediska elektrické odolnosti a vybavení musí přijímače vyhovovat požadavkům

Tab. 1. Nepřenosné přijímače. Závazné vlastnosti

Parametr	Skupina přijímačů				Poznámka		
	1	2	3	4			
FM část	podle bodu 3 předchozí kapitoly						
Kmitočtové rozsahy							
Stálost nalaďení [kHz]	s AFC	25	30	40	50	$Z_{\text{vst}} = 75 \Omega$	
	bez AFC	70	90	120	120		
Citlivost pro ($s + \dot{s}$) : $\dot{s} = 26 \text{ dB} [\mu\text{V}]$	mono	1	2	4	6	$Z_{\text{vst}} = 75 \Omega$	
	stereo	8	15	—	—		
Selektivita S300 [dB]		55	40	36	30		
Inferenční poměr pro zrcadlový signál [dB]	69 MHz 94 MHz	66	50	40	34		
Interferenční poměr pro mezifrekvenční signál [dB]	69 MHz 94 MHz	70	60	50	40		
Amplitudově-kmitočtová elektrická charakteristika [Hz]	výstup pro zesilovač a magnetofon	40 až 15 000	40 až 14 000	63 až 12 500	63 až 12 500	1. skupina ± 1,5 dB	
	přes celý přijímač	31,5 až 15 000	40 až 15 000	63 až 12 500	63 až 12 500		
	nf části	20 až 20 000	20 až 18 000	63 až 12 500	—		
Akustická kmitočtová charakteristika [Hz]		20 až 20 000	50 až 18 000	100 až 10 000	150 až 6300		
Nelineární zkreslení	na výstupu pro zesilovač	mono-stereo —1 kHz	1/1,5 % —40/-36,5 dB	1,5/3 % —36,5/ —30,5 dB	2 % —34 dB	$U_{\text{vst}} = \text{užitá citlivost}, m = 100 \%$	
		mono v pásmu 100 Hz až 10 kHz	1 % —40 dB	3 % —30,5 dB	5 % —26 dB		
	nf části	stereo v pásmu 80 až 6300 Hz	3 % —30,5 dB	5 % —26 dB	—	Pro 1. a 2. skupinu i při $P = 100 \text{ mW}$	
		1 kHz	1 % —40 dB	1,5 % —36,5 dB	2 % —34 dB		
Přeslechy [dB]	přes vf část na výstupu pro zesil.	v pásmu 80 až 10 000 Hz	36	30	—		
		1 kHz	30	26	—		
	přes nf část	v pásmu 80 až 10 000 Hz	50	40	—		
		1 kHz	40	35	—		
	mezi vstupy	1 kHz	60	50	—		
Potlačení zbytku pilotního signálu [dB]		19 kHz	46	40	—		
		38 kHz	60	50	—		
Potlačení AM na rozsazích FM [dB]			50	40	40	36	
Odstup ($s + \dot{s}$) : \dot{s} [dB]	na výstupu pro zesilovač	mono	60	56	48	46	$U_{\text{vst}} = 0,5 \text{ mV}/75 \Omega$
		stereo	54	50	—	—	
	nf části		60	56	48	46	
Odstup signálu od cizích napětí [dB]	na výstupu pro zesilovač	50	46	40	36	$U_{\text{vst}} = 0,5 \text{ mV}/75 \Omega$	
	nf části	60	50	46	40		
Největší užitečný výstupní výkon [W] pro zkreslení k [%]		2 × 15 —40 dB	2 × 6 —30,5 dB	5 —26 dB	2 —26 dB		

Tab. 1. Nepřenosné přijímače. Závazné vlastnosti (pokračování)

Parametr	Skupina přijímačů				Poznámka
	1	2	3	4	
Akustická zpětná vazba [dB]	—	—	-26	-10	
Vstupní napětí pro gramofon a výstupní napětí na výstupu pro magnetofon a zesilovač	podle bodu 20 předchozí kapitoly				
Zbytkový výstupní výkon	podle bodu 31 předchozí kapitoly				
Největší užitečný vstupní signál [mV]	150	100	50	50	
Intermodulační zkreslení	-2 % -34 dB	3 % -30,5 dB	—	—	
Užitečná citlivost ($s + \dot{s}$) : $\dot{s} = 46$ dB [μ V] (mono/stereo)	15/100	50/350	100	—	$Z_{vst} = 75 \Omega$
AFC – samočinné doladění [kHz]	± 100	± 150	± 200	—	
AM část					
Kmitočtové rozsahy	podle bodu 3 předešlé kapitoly				
Stálost nastavení SV 1 MHz/KV 11,8 MHz [dB]	2/4	2/4	3/6	3/8	
Citlivost ($s + \dot{s}$) : $\dot{s} = 20$ dB [μ V]	DV SV KV	60 40 60	150 100 130	200 150 180	250 200 250
Selektivita S_g [dB]	DV SV KV	60 50 50	50 40 40	40 34 27	36 27 20
Interferenční poměr pro zrcadlový signál [dB]	DV 0,25 MHz SV 1,0 MHz KV 11,8 MHz	60 60 22	54 45 15	44 36 10	36 32 6
Interferenční poměr pro mf signál [dB]	DV 0,25 MHz SV 0,55 MHz	60 50	50 46	40 40	36 40
Amplitudově kmitočtová elektrická charakteristika [Hz]	na výstupu pro zesilovač přes celý přijímač	50 až 4500	50 až 4000	50 až 2500	100 až 2000
Nelineární zkreslení v přenášeném pásmu [dB]	3 % -30,5	4 % -28	5 % -26	5 % -26	$m = 80\%$
Odstup signálu od cizích napětí [dB]	55	50	40	40	
Automatické vyrovnání citlivosti [dB]	60	50	46	40	
Největší užitečný vstupní signál [mV]	1000	600	300	200	
Akustická zpětná vazba [dB]	DV, SV KV	— —	-14 0	-10 +6	
Největší užitečný výstupní výkon [W]	-15	6	5	2	
Doporučené údaje					
Nastavení, souhlas se stupnicí [%]	± 2	± 3	± 4	± 4	FM ve středu pásmu FM
Činitel odrazu na vstupu [dB]	12 0,25	10,5 0,3	6 0,5	—	
Citlivost pro nasycený stav [nV]	5	15	30	50	FM, $Z_{vst} = 75 \Omega$
Tiché ladění – prah šumové automatyky [μ V]	5	—	—	—	FM, $Z_{vst} = 75 \Omega$
Selektivita S_{100} [dB]	6	6	10	—	FM
Rozsah stereováhy min. [dB]	40	20	—	—	FM
Amplitudově kmitočtový souběh kanálů nf části [dB]	2	4	—	—	
Střední akustický tlak a střední jmenovitý akustický tlak [Pa]	1,0	0,6	0,35	—	daný výpočtem

Tab. 1. Nepřenosné přijímače. Závazné vlastnosti (dokončení)

Parametr		Skupina přijímačů				Poznámka
		1	2	3	4	
Nastavení, souhlas se stupnicí [%]	DV SV KV	±1,6 ±1 ±1,2	±2,4 ±1,2 ±1,8	±3,2 ±1,6 ±2,4	±4 ±2,2 ±3	AM
Mrtvý chod [kHz]		1,0	1,5	2,0	3,0	AM
Užitečná citlivost ($s + \dot{s}$) : $\dot{s} = 36$ dB; SV [μV]		200	350	800	1000	AM
Hvizdy [dB]	DV SV KV	40 30 20	20 15 10	26 10 0	20 — —	AM
Vnitřní anténa AM				ano	ano	

Tab. 2. Přenosné přijímače. Závazné vlastnosti

Parametr		Skupina				Poznámka
		1	2	3	4	
Kmitočtové rozsahy		podle bodu 3 předchozí kapitoly				FM
Stálost nastavení [kHz]		25 70	30 90	40 120	40 120	FM, s AFC FM, bez AFC
Citlivost ($s + \dot{s}$) : $\dot{s} = 26$ dB [μV]	mono stereo	1,5 10	3 —	5 —	10 —	FM, $Z_{vst} = 75 \Omega$ FM, $Z_{vst} = 75 \Omega$
Selektivita S_{300} [dB]		50	40	34	28	FM
Interferenční poměr pro zrcadl. sig.-[dB]		54	44	34	30	FM
Interferenční poměr pro mf signál [dB]		60	55	40	36	FM
Amplitudově-kmitočtová el. charakter. [Hz]		40 až 14 000	63 až 12 500	80 až 10 000	100 až 6300	FM
Akustická kmitočtová charakteristika [Hz]		63 až 12 500	100 až 6 300	150 až 4 500	300 až 3 700	FM
Nelineární zkreslení	1 kHz mono/stereo [dB]	1/1,5 % -40/-36,5	2 % -30,0	2,5 % -32	3 % -30,5	FM, $m = 100 \%$
	v pásmu 250 Hz až 6300 Hz mono/stereo [dB]	2/5 % -34/26	3 % -30,5	4 % -28	5 % -26	
Přeslechy [dB]	1 kHz	34	—	—	—	FM
	v pásmu 250 až 6300 Hz	27	—	—	—	
Potlačení zbytku pilot. sig. [dB]	19 kHz	40	—	—	—	FM
	38 kHz	50	—	—	—	
Potlačení AM na rozsazích FM [dB]		50	40	36	30	FM
Odstup ($s + \dot{s}$) : \dot{s} , mono/stereo [dB]		60/50	54	46	36	FM, $U_{vst} = 0,5 \text{ mV}/75 \Omega$
Odstup signálu od cizích napětí [dB]	bater.	54	50	46	40	FM, $U_{vst} = 0,5 \text{ mV}/75 \Omega$
	síť	50	46	40	—	
Největší užitečný výstupní výkon (min.) [W/%] k [dB]		3/2 -34	1,2/4 -28	0,75/5 -26	0,2/5 -26	
Akustická zpětná vazba [dB]		-26	-20	-15	-10	FM
Odstup signálu od cizích nap., bat./síť [dB]		60/56	—	—	—	FM
Intermodulační zkreslení [%/dB]		2/-34	—	—	—	FM
Užitečná citlivost ($s + \dot{s}$) : $\dot{s} = 46$ dB, mono/stereo [μV]		15/80	50	—	—	FM, $Z_{vst} = 75 \Omega$
AFC – samočinné doložování [kHz]		±100	±200	±200	—	FM, $U_{vst} = 2,5 \text{ mV}/75 \Omega$
AM část						
Kmitočtové rozsahy		podle bodu 3 předchozí kapitoly				
Stálost nastavení DV, SV/KV [dB]		3/4	4/6	5/8	5/8	

Tab. 2. Přenosné přijímače. Závazné vlastnosti (dokončení)

Parametr		Skupina				Poznámka
		1	2	3	4	
Citlivost ($s + \dot{s}$) : $\dot{s} = 20$ dB [$\mu\text{V}/\text{m}$]	DV SV UA/FA KV	660 400 100 500	900 600 200 950	2000 800 350 1400	3000 1100 500 2100	$x =$ na vnější anténu
Interferenční poměr pro zrcadlový signál [dB]	DV 0,25 MHz SV 1 MHz KV 11,8 MHz	50 56 20	54 45 10	40 36 6	36 30 —	
Interferenční poměr pro mezifrekvenční signál [dB]	DV 0,25 MHz SV 0,55 MHz	50 46	46 40	36 30	30 26	
Amplitudové kmitočtová elektrická charakteristika [Hz]		50 až 4000	50 až 3000	50 až 2000	100 až 2000	
Selektivita S_3 [dB]	DV SV KV	50 46 36	46 40 30	40 34 27	36 27 —	
Nelineární zkreslení v přenášeném pásme [dB]		3 % -30,5	4 % -28	5 % -26	7 % -23,1	$m = 80\%$
Odstup signálu od cizích nap. bat./síť [dB]		55/46	50/44	46/40	46	
Automatické vyrovnaní citlivosti [dB]		60	46	36	30	
Největší užit. vst. signál (1 MHz) [V/m]		7	3,5	2	1,5	
Akustická zpětná vazba [dB]	DV SV KV	-26 -20 -6	-16 -10 0	-3 -8 +3	0 -6 +6	
FM část						Doporučené vlastnosti
Nastavení, souhlas se stupnicí [%]		$\pm 3,6$	$\pm 4,6$	± 5	—	
Citlivost pro nasycený stav [μV]		10	15	30	50	$Z_{\text{vst}} = 75 \Omega$
Střední akustický tlak a střední jmenovitý akustický tlak [Pa]		0,5	—	—	—	
Potlačení postranních maxim na VKV – charakteristika ladění [dB]		5	4	—	—	
AM část						Doporučené vlastnosti
Nastavení, souhlas se stupnicí [%]	DV SV KV	± 2 ± 2 $\pm 3,5$	$\pm 2,5$ $\pm 2,5$ $\pm 3,5$	± 3 ± 3 ± 4	$\pm 3,5$ —	
Mrtvý chod, SV, 1 MHz [kHz]		2	3	4	5	
Užit. citlivost ($s + \dot{s}$) : $\dot{s} = 36$ dB na SV [$\mu\text{V}/\text{m}$]		1500	2500	—	—	

Tab. 3. Autopřijímače

Parametr	Jednotka	skupina			Poznámka
		1	2	3	
FM část					Závazné vlastnosti
Kmitočtové rozsahy		podle bodu 3 předchozí kapitoly			
Stálost nastavení [kHz]		30 70	50 90	—	s AFC bez AFC
Citlivost ($s + \dot{s}$) : $\dot{s} = 26$ dB, mono/stereo [μV]		1,5/8	3	—	$Z_{\text{vst}} = 75 \Omega$ jmen.
Citlivost pro nasycený stav [μV]		3	10	—	$Z_{\text{vst}} = 75 \Omega$ jmen.
Selektivita S_{300} [dB]		50	34	—	
Interferenční poměr zrcadlový signál [dB]		66	50	—	
Interferenční poměr pro mf signál [dB]		70	50	—	
Amplitudové kmitočtová charakteristika pro celý přijímač [Hz]		40 až 14 000	63 až 12 500	—	

Tab. 3. Autopřijímače (dokončení)

Parametr	Jednotka	skupina			Poznámka
		1	2	3	
Nelineární zkreslení	1 kHz mono/stereo [dB]	1/1,5 % -40/36,5	3 % -30,5	-	
	250 až 300 Hz mono/stereo [dB]	3/5 % -30,5/-26	5 % -26	-	
Přeslechy [dB]	1 kHz	30	-	-	
	250 až 6300 Hz	26	-	-	
Potlačení AM na rozsazích FM [dB]		50	40	-	
Největší užit. výst. výkon min. [W]		2x 6	4	-	
Největší užit. vstupní signál [mV]		250	150	-	
Užit. citlivost ($s + \dot{s}$) : $\dot{s} = 46$ dB [μ V]		10/70	25	-	$Z_{vst} = 150 \Omega$
AFC – samočinné doladění [kHz]		± 100	± 100	-	
AM část					
Kmitočtové rozsahy podle bodu 3 předchozí kapitoly					
Stálost nastavení DV, SV/KV [dB]		2/4	2/6	3/8	
Citlivost ($s + \dot{s}$) : $\dot{s} = 20$ dB [μ V]	DV SV KV	50 20 20	80 50 50	160 100 100	umělá autoanténa
Selektivita S_9 [dB]	DV SV KV	50 50 44	46 40 34	36 34 28	
Inferenční poměr pro zrcadlový signál [dB]	DV 0,25 MHz SV 1 MHz KV 11,8 MHz	70 60 30	60 50 20	50 42 14	
Interferenční poměr pro mf signál	DV 0,25 MHz SV 1 MHz	60 50	50 40	40 30	
Amplitudově kmitočtová charakteristika celého přijímače [Hz]		50 až 4000	50 až 2500	100 až 2000	SV 1 MHz
Nelineární zkreslení v přenášeném pásmu [dB]		2 % -34	3 % -30,5	4 % -28	$m = 80\%$
Největší užit. vstupní signál [mV]		1000	500	500	SV 1 MHz
Automatické vyrovnaní citlivosti [dB]		70	56	50	SV 1 MHz
FM část					
Nastavení, souhlas se stupnicí [%]		$\pm 3,6$	$\pm 4,6$	± 5	Doporučené vlastnosti
Potlačení postranných maxim na VKV [dB]		6	4	-	
AM část					
Souhlas se stupnicí (%), nastavení	DV SV KV	± 2 ± 2 $\pm 3,5$	$\pm 2,5$ $\pm 3,5$	± 3	Doporučené vlastnosti
Mrtvý chod [kHz]		2	3	4	SV 1 MHz
Užit. citlivost ($s + \dot{s}$) : $\dot{s} = 36$ dB [μ V]	DV SV KV	200 130 130	500 320 320	1000 650 650	

ČSN 36 7000 (viz AR B 1/86). Bateriové přijímače musí z hlediska bezpečnosti vyhovovat požadavkům ČSN 36 7004 a autopřijímače musí z hlediska pasivní bezpečnosti motorových vozidel vyhovovat předpisu EHK č. 21, body 5.1.4. a 5.1.5.

5. Vyzařování. Přijímače musí vyhovovat ustanovením uvedeným v ČSN 34 2850 a ČSN 34 2870.

6. Doporučená připojná místa a jejich zapojení. Počet připojních míst musí odpovídat dané skupině a jejich zapojení

musí být shodné s ONT 36 7008 V (viz AR B5/77 a AR B1/80).

7. Klimatická odolnost. Přijímače musí odolávat klimatickým vlivům, které na ně působí během provozu, dopravy a skladování. Nepřenosné přijímače musí zabezpečovat příjem v rozsahu teplot -5 až +35 °C a při relativní vlhkosti 65 % při 20 °C. Přenosné přijímače musí zabezpečovat příjem v rozsahu teplot -5 až +45 °C a relativní vlhkosti vzdachu 85 % při 20 °C. Autopřijímače musí zabezpečo-

vat příjem v rozsahu teplot -5 až +50 °C s relativní vlhkostí vzduchu 85 % při 20 °C.

8. Mechanická odolnost. Přijímače musí být odolné vůči otřesům a pádům.

9. Kmitočtové rozsahy. Přijímač musí pracovat v rozsazích uvedených na stupnici

a v technické dokumentaci přijímače.

10. *Správná činnost přijímače* – přijímač musí zodpovídat určenému používání bez rušivých znaků. Pozoruje se bezhlubný chod ovládacích prvků, drnčení, pazvuky reproduktorů a spolehlivá funkce přijímače. Při poslechu v jakékoli poloze regulačních prvků nesmí být slyšitelné mechanické kmitání součástek. Ladění musí mít lehký a plynulý chod bez zřetelného zadrhávání.

11. *Spolehlivost a trvanlivost*. Ovládací prvky vystavené mechanickému opotřebení při obsluze musí vyhovovat namáhaní, které odpovídá 10 000násobnému opakování pracovního pohybu (přepnutí, přetočení, apod.).

12. *Nastavení a souhlas se stupnicí* (indikace nastadění). Číselné nastavení stupnice na všech rozsazích musí být vyznačeno v kmitočtech (kHz, MHz).

Nastavení stupnic musí souhlasit s kmitočtem přiváděným signálu.

13. *Mrtvý chod*. Náhon ladění nemá mít mrtvý chod, který by překážel pohodlné obsluze.

14. *Stálost nastadění*. Vlivem ohřátí přijímače, při měření v rozsahu vstupního signálu od jmenovité citlivosti až do 100 mV, a při změně napájecího napětí o $\pm 10\%$ se nemá zmenšit výstupní výkon při AM o více než je uvedeno v tab. 1 až 3.

Ze stejného důvodu se na FM nemá změnit nastaděný kmitočet o více než podle tab. 1 až 3. Měří se ve středu kmitočtových rozsahů. Vliv přijímače se měří v době od 2. do 60. minut po zapnutí přijímače, přičemž před zapnutím byl přijímač ve vypnutém stavu nejméně 16 hodin při standardních klimatických podmínkách. Po dobu měření je přijímač vybuzen nízkofrekvenčním sinusovým signálem 1 kHz na 50 % jmenovitého výkonu a teplota okolí se nemá měnit o více než $\pm 2.5^\circ\text{C}$.

15. *Citlivost*. Citlivosti jsou uvedeny v tab. 1 až 3. U přenosných přijímačů se nemí uvedené citlivosti zhoršit o více než 15 dB při zmenšení napájecího napětí o 35 % proti napětí jmenovitému. U autopřijímačů se nemí udána jmenovitá citlivost zhoršit o více než 6 dB při zmenšení napájecího napětí o 10 % pod jmenovitou velikost.

16. *Selektivita*. U rozhlasových přijímačů je dána poměrem úrovní v dB pro kmitočty vzdálené na obě strany o 9 kHz od žádaného signálu na rozsahu AM a o 300 kHz u FM, pro nepřenosné přijímače skupiny 1 také o 100 kHz. Označuje se S_9 ; S_{10} ; S_{300} . Pro SV a DV je selektivita, uvedená v tabulce, získána jako střední hodnota z naměřených údajů minimálně pro tři kmitočty každého rozsahu. Na VKV je udána selektivita pro střední kmitočet rozsahu.

Pokud má přijímač přepínačelnou šířku pásmá AM, nemí se selektivita při přepnutí na široké pásmo zmenšit o více než 20 dB a střed mf křivky musí zůstat stálý bez dalšího doladování. Selektivity jsou uvedeny v tab. 1 až 3.

17. *Interferenční poměr pro zrcadlový signál* je udáván číselně pro jeden kmitočet rozsahu v dB. Interferenční poměry pro zrcadlový signál a měřicí kmitočty jsou uvedeny v tab. 1 až 3 pro každé pásmo.

18. *Interferenční poměr pro mezifrekvenční signál* je dán číselně pro měřicí kmitočet, na SV 550 kHz, na DV 250 kHz a na VKV pro střed rozsahu; jeho velikosti jsou v tab. 1 až 3.

19. *Potlačení postranních maxim* na roz-

sahu VKV při ladění přijímače na daný signál – charakteristika ladění. Při obou vstupních signálech musí být potlačení maxim vztázeno k poměru výstupních signálů a musí být větší nebo rovné údaji v tab. 1.

20. *Výstupní napětí na výstupu pro zesilovač a magnetofon* musí být minimálně rovné napětí uvedenému pro magnetofonový výstup a výstup pro zesilovač (viz bod 23). Jeho velikost v pravém a levém kanálu se nesmí lišit o více než 3 dB v celém kmitočtovém pásmu nf zesilovače.

21. *Citlivost pro nasycený stav* musí být minimálně podle tab. 1 až 3.

22. *Amplitudově kmitočtová charakteristika celého přijímače*. Šířka přenášeného pásmá u monofonních přijímačů nemá být větší než 20 kHz při lineárním nastavení tónových korekcí. Akustická kmitočtová charakteristika celého zesilovacího kanálu: Její nerovnoměrnost může být max. 10 dB při kmitočtech vyšších než 250 Hz a 14 dB při kmitočtech nižších než 250 Hz. Při výpočtu nerovnoměrnosti charakteristiky se neuvažují špičky a prohlubně, které jsou užší než 1/8 oktavy. Při oddělených reproduktorových soustavách je nutné použít soustavy, které mají ekvivalentní akustické vlastnosti.

23. *Gramofonový vstup a magnetofonový výstup*. Citlivost gramofonového vstupu přijímače při jmenovitém výkonu musí být 200 mV na impedanci 470 k Ω pro výklokové měniče a 2 mV na impedanci 47 k Ω +20 % pro rychlostní měniče. Maximální vstupní napětí pro dané zkreslení je +20 dB od údaje citlivosti.

Výstup pro magnetofon a zesilovač. Výstupní napětí na výstupu pro magnetofon při standardní modulaci musí být minimálně 0,2 mV/k Ω výstupní impedance a když je přijímač vybuzen na největší užitečný výstupní výkon, nesmí být větší než 2 mV/k Ω výstupní impedance při vstupním vf signálu 0 dB, modulovaném kmitočtem 1 kHz při AM i FM na 100 %. Neprenosné přijímače 1. a 2. skupiny musí mít kromě magnetofonové připojky i výstup na zesilovač s impedancí menší než 22 k Ω a výstupní napětí musí být minimálně 200 mV při standardní modulaci.

24. *Amplitudově kmitočtová charakteristika nf části přijímače*: Údaje kmitočtové charakteristiky měřené elektricky jsou uvedeny v tab. 1 až 3 a nesmí se lišit o více než $\pm 2\text{ dB}$ v oblasti nízkých kmitočtů a o $\pm 2,5\text{ dB}$ v oblasti vyšších kmitočtů a u přijímačů 1. a 2. skupiny o více než $\pm 1,5\text{ dB}$ v celém rozsahu.

25. *Největší užitečný výstupní výkon a ne-lineární zkreslení přes celý přijímač*. Největší užitečný výstupní výkony jsou v tab. 1 až 3 pro kmitočet 1 kHz; pokud není v tabulkách uvedeno zkreslení, platí údaj maximálního užitečného výkonu pro zkreslení 5 %. U přijímačů 1. a 2. skupiny platí údaj zkreslení i pro výkon 100 mW; přes nf části přijímače. V tabulkách uvedené maximální užitečné výkony přijímače platí pro celkové zkreslení 5 %, pokud v tabulkách není uveden jiný údaj. Zkreslení nf části přijímače v závislosti na vstupním napětí nemá až po maximální užitečný výstupní výkon překročit velikost uvedenou v tab. 1 až 3.

Největší užitečný výstupní výkon se měří při jmenovitém napájecím napětí. U přenosných přijímačů se může při zmenšení napájecího napětí o 35 % zmenšit maximální užitečný výstupní výkon maximálně o 6 dB. Na okrajích pásmá, které má přijímač ještě přenášet, nemá být harmonické zkreslení větší než 10 % a u přijímačů nepřenosných 1. a 2. skupiny větší než 5 %, a to při výstupním výkonu rovném nebo menším než je zaru-

čovaný maximální výkon. Za okraj pásmá se považuje 1/2 oktavy nad dolním mezním kmitočtem a 1/2 oktavy pod horním mezním kmitočtem.

26. *Odstup cizího napětí*. Cizí výstupní napětí je efektivní nežádoucí napětí měřené na výstupu přes pásmovou propust 22 Hz až 22 kHz při nulovém napětí zdroje signálu a pro vf část při standardním vstupním signálu bez modulace. Odstup cizího napětí je v dB vyjádřena logaritmická míra poměru jmenovitého výstupního napětí U_2 k efektivní hodnotě cizího výstupního napětí U' :

$$L = 20 \log \frac{U_2}{U'}$$

27. *Automatické vyrovnaní citlivosti (AVC)*. Údaj AVC v dB v tab. 1 až 3 platí pro kmitočet 1 MHz na rozsahu SV.

28. *Samočinné doladování (AFC)* je realizováno obvodem, který automaticky doladí přijímač velmi blízko dostatečně silného signálu, liší-li se naladěný kmitočet v daných mezech od kmitočtu signálu. Měří se při vstupním signálu 2,5 mV/75 Ω na standardním měřicím kmitočtu ve středu pásmá VKV při výstupním výkonu 50 mW. Při rozladení vstupního signálu o kmitočet podle tab. 1 až 3 se nesmí výstupní výkon zmenšit pod 40 mW.

29. *Největší užitečný výstupní signál* je největší výstupní signál AM při modulaci 80 % a FM při modulaci 100 %, při které harmonické zkreslení vzniklé ve vf a mf části a v detektoru nepřesáhne 10 %. Měří se ve středu rozsahu SV a VKV.

30. *Akustická zpětná vazba*. Přijímače s gramofonem nebo magnetofonem se nesmí při žádné poloze regulátoru hlasitosti rozhoukat. Údaje v tab. 1 až 2 platí pro měření na minimálně třech kmitočtech daného rozsahu (dvě na krajích a jeden ve středu rozsahu). Přenoska gramofonu může přitom na referenční kmitočtu 1 kHz a při stranové rychlosti 7 cm/s dodávat do nf části přijímače napětí, které je max. o 3 dB větší, než je napětí potřebné pro vybuzení přijímače na maximální užitečný výstupní výkon.

31. *Zbytkový výstupní výkon* nemá být na žádném kmitočtovém rozsahu větší než 1 μW , tj. -30 dB/mW .

32. *Pronikání signálu* při gramofonové produkci. U přijímačů s přepínačem pro gramofonovou reprodukci nebo jiných zdrojů nf signálu může vyvolat pronikání modulovaného vf signálu do nf vstupu maximální výstupní výkon 0,25 mW.

33. *Maximální výkon a odber proudu* naměřený u jednotlivých nepřenosných, přenosných a autopřijímačů se nesmí lišit o více než 10 % při jmenovitém napájecím napětí a při kterémkoliv z povolených napájení.

Technické požadavky na přijímač

V této části si uvedeme konkrétní technické požadavky, na jejichž základě navrheme konkrétní přijímač.

Typ přijímače: nepřenosný – stereofonní.
Zapojení přijímače: superheterodyn.

Kmitočtové rozsahy:

FM-66 až 73 MHz a 87,5 až 108 MHz,
DV-150 až 350 kHz,
SV-520 až 1620 kHz,
KV-6,25 až 12,5 MHz.

Napájecí napětí: 220 V $\pm 10\%$.

Rozsah pracovních teplot: +10 až +40 °C.

Připojné místa:

vstup pro magnetickou a krystalovou přenosku,
vstup a výstup pro magnetofon,
vstup pro anténu AM a FM,

výstup pro reproduktory (pravý a levý kanál);
výstup pro sluchátka s možností odpojení reproduktorů;
připojení napájení flexošnúrou.

Citlivost:

pro magnetickou přenosu 2 mV/
47 kΩ,
pro krystalovou přenosu 200 mV/
470 kΩ,
výstup z magnetofonu 200 mV/470 kΩ,
výstup pro magnetofon 100 mV/47 kΩ;
FM – 2 µV/75 Ω – mono a 15 µV/75 Ω
pro stereo,
DV – 150 µV/2,5 kΩ,
SV – 100 µV/2,5 kΩ,
KV – 100 µV/2,5 kΩ.

Kmitočtový rozsah:

nf části 20 Hz až 20 kHz,
FM části 30 Hz až 15 kHz,
AM části 30 Hz až 4,5 kHz.

Selektivita:

$S_{300} = 55 \text{ dB}$,
 $S_9 = 40 \text{ dB min.}$

Interferenční poměr pro zrcadlový signál:
při FM min. 60 dB, při AM min. 50 dB
pro DV a SV min. 20 dB pro KV.

Interferenční poměr pro signál mf kmitočtu:
při FM min. 60 dB, při AM min. 50 dB na
DV a SV.

Potlačení postranních maxim při FM:
4 dB.

Citlivost pro nasycený stav: min. 5 µV/
175 Ω.
Výstupní výkon nf části: min. $2 \times 15 \text{ W}/$
 $1/4 \Omega$ při $k = 1\% \text{ max.}$, celého přijímače
 $2 \times 15 \text{ W}/4 \Omega$.

Odstup cizího napětí:

min. 60 dB při $P_{\text{vyst}} = 100 \text{ mW}$.

Automatické vyrovnání citlivosti, AFC:
min. 60 dB.

Samočinné ovládání:

v rozsahu $\pm 150 \text{ kHz}$ od naladěného
kmitočtu.

Stálost naladění bez AFC:

70 kHz od naladěného kmitočtu při FM,
2/4 dB při SV/KV.

Největší užitečný signál:

150 mV pro FM, 600 mV pro AM.

Příkon přijímače:

při $P_{\text{vyst}} = 2 \times 15 \text{ W}$ je max. 80 W při
napájecím napětí 220 V.

Ovládací a indikační prvky:

naladění, regulátor hlasitosti, výsek, hloubek
a vyvážení, síťový spínač, přepínač
VKV; KV, SV, DV, magnetofon, gramofon,
4x předvolba stanic, stupnice
s LED, indikátor vyladění, indikátor sily
pole.

Sestavení blokového schématu

Na základě technických požadavků
můžeme sestavit blokové schéma. Přijímač musí mít: nízkofrekvenční výkonový

zesilovač s obvodem relé pro odpojení
a připojení reproduktoru a s výstupními
kontaktory pro reproduktory a sluchátka.
Nízkofrekvenční zesilovač sestavený
z předzesilovače pro řízení hlasitosti, vý-
sek, hloubek a vyvážení, dále přepínače
vstupu nf signálů, z předzesilovače pro
magnetickou přenosu a z předzesilovače
pro magnetofon (emitorový sledovač).

Díl AM tvořený detektorem, mf zesilo-
vačem, oscilátorem, směšovačem a před-
zesilovačem v signálu.

Díl FM sestavený ze vstupní jednotky
VKV s vf předzesilovačem, směšovačem,
oscilátorem a obvodem AVC, dále z mf
předzesilovače, zesilovače a detektoru,
stereofonního dekodéru, filtrů pro potla-
čení 114 kHz, 38 kHz a 19 kHz, obvodů
pro AFC, AVC a obvodů pro indikátory sily
pole.

Díl indikace, tvořený stupnicí pro indi-
kaci kmitočtů pomocí LED, indikátorem
vyladění s LED, indikátorem sily pole
s LED a čtyřmi potenciometry pro pře-
volbu.

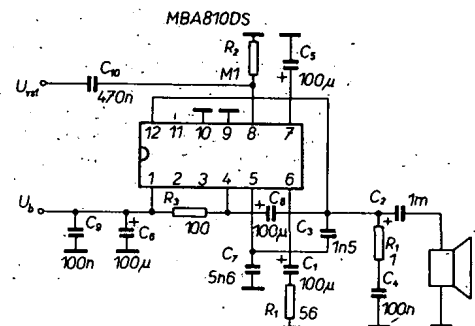
Napájecí zdroj s výstupem napětí pro nf
výkonový zesilovač, s výstupem napětí
+15 V pro ostatní části přijímače a zdroj
+30 V pro ladící napětí přijímače. Celkové
blokové schéma je na obr. 3.

Nyní můžeme přistoupit k návrhu jed-
notlivých dílů přijímače, u něhož jako
aktivních prvků bude využito integrovaných
obvodů nebo tranzistorů.

Návrh výkonového nízkofrekvenčního zesilovače

Pro výkonový nízkofrekvenční zesilovač
můžeme použít buď integrované ob-
vody, nebo tranzistory. O tom, který z dale
popisovaných zesilovačů použijeme, roz-
hodnou parametry v tab. 1 a požadavky
návrháře. Na následujících obrázcích
jsou zapojení čtyř typů nf výkonových
zesilovačů s IO a dva typy nf zesilovačů
s tranzistory. Na obr. 4 je zapojení zesilovače
s IO MBA810DS, na obr. 5 s IO
MDA2020 (pro menší výkony je možné
použít i IO MDA2010), na obr. 6 s IO
A2030D a na obr. 7 s IO A2000D, A2005D.
U všech těchto typů si uvedeme vliv
součástek na vlastnosti zesilovače. Dále
na obr. 8 je zapojení zesilovače s komple-
mentárními tranzistory (podle Tranziwatt
40) a na obr. 9 zapojení zesilovače s kom-
plementárními tranzistory v Darlingtonové
zapojení. U této zesilovače si uvede-
me návrh platný pro oba zesilovače.

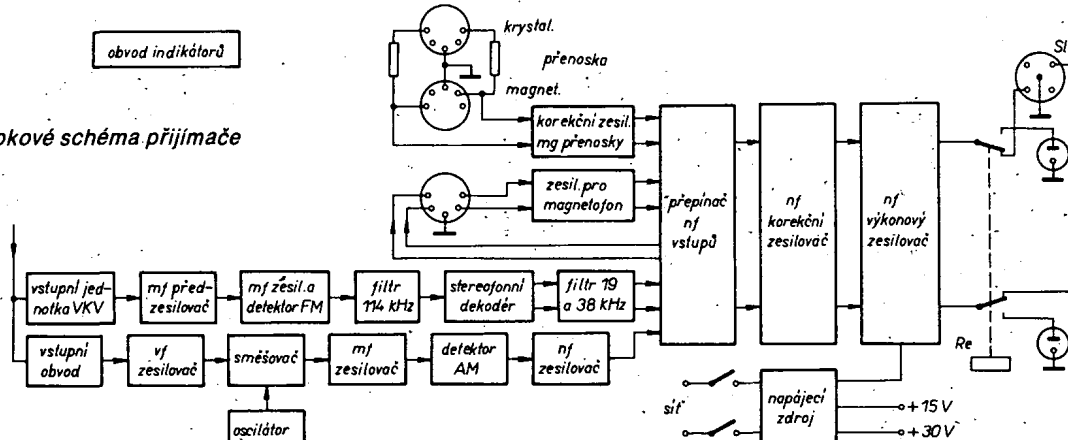
U nf zesilovačů s IO bývají dány
základní zapojení výrobcem a je výhodné
ho dodržovat. V případě potřeby je možné
parametry zesilovače měnit vnějšími sou-
částkami. Na obr. 4 je základní zapojení
zesilovače s IO MBA810DS. Kondenzáto-
rem C_{10} , rezistorom R_3 a výstupním odpor-
em předchozího stupně, který je k R_3



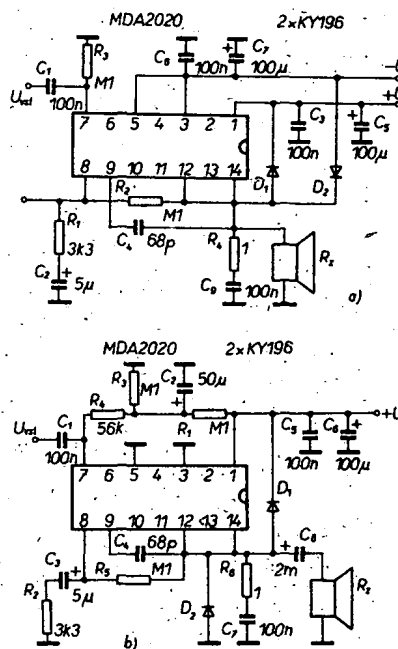
Obr. 4. Zapojení koncového zesilovače
s MBA810DS

paralelně, lze ovlivnit nejnižší přenášený
kmitočet. Na dolní mezní kmitočet mají
vliv i kondenzátory C_1 , C_2 , C_5 , C_6 . Konden-
zátor C_1 odděluje vnitřní zpětnovazební
odpor (asi 4 kΩ) od rezistoru R_1 , kterým je
možné řídit zisk tohoto zesilovače. Výrobc-
ce povoluje změnu R_1 v rozsahu 15 až
150 Ω, přičemž zisk se mění od 30 do 300.
Tento rezistor má vliv i na potlačení
brumu napájecího zdroje. Při menším
odporu rezistoru se brum zvětšuje až na
-35 dB a při větších odporech rezistoru R_1
klesá až na -55 dB. Kapacita konden-
zátoru C_1 je dáná vztahem $C_1 = 1/6,28fR_1$
(F; Hz; Ω). Kapacita kondenzátoru C_2 je
závislá na impedanci R_2 použitého repro-
duktoru, $C_2 = 1/6,28fR_2$. Kondenzátory
 C_5 , C_6 slouží k filtrace stejnosměrného
napětí a zmenšení jejich kapacit má vliv
na stabilitu na nízkých kmitočtech. Kon-
denzátor C_9 zvětšuje stabilitu zesilovače
na vyšších kmitočtech. Kondenzátory C_3
a C_7 je omezen horní mezní kmitočet
a kapacita C_3 je závislá na odporu rezisto-
ru R_1 . Se zvětšující se C_3 při daném R_1
klesá horní mezní kmitočet. Mezi C_3 a C_7
platí závislost $C_7 = 5C_3$. Horní mezní kmitočet
lze omezit i Boucherotovým člán-
kem R_4C_4 , kterým se zlepší i stabilita
zesilovače na vyšších kmitočtech. Kon-
denzátorom C_8 se zlepší přenos na nízkých
kmitočtech, neboť se jedná o boot-
strapovou vazbu známou z tranzistorových
výkonových zesilovačů. Rezistor R_3
s kondenzátorem C_8 zlepšuje přenos nej-
nižších kmitočtů. Podle požadovaného
výstupního výkonu, který může být až 7 W,
je nutné navrhnut i chladic (plochu
plošného spoje). Teplota z čipu je do této
chladic plochy odváděno přes střední
ploché vývody. Pro výkon 7 W na výstupu
by strana čtverce kolem každého středního
vývodu měla být asi 4 cm. Je vhodné na
střední vývody připojit i chladic, neboť se
tím prodlouží doba života IO.

Na obr. 5 je zapojení zesilovače pro
symetrické a nesymetrické napájení s IO
MDA2020. U zesilovače na obr. 5a je
kondenzátor C_1 , C_2 , C_5 , C_7 určen dolní
mezní kmitočet. C_1 s R_3 a paralelně zapo-



Obr. 3. Blokové schéma přijímače



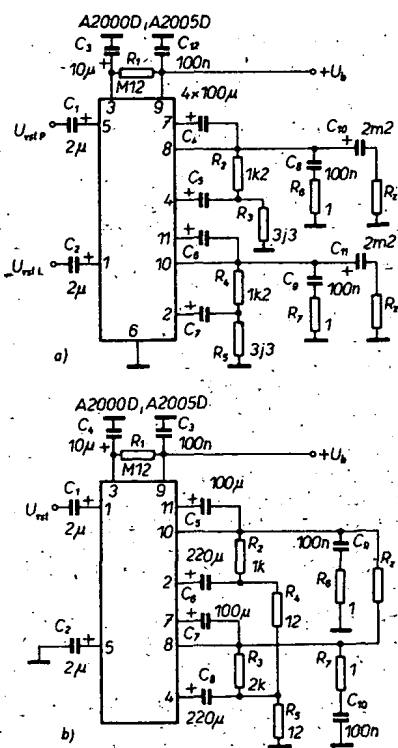
Obr. 5. Zapojení koncového zesilovače s MDA2020; a) symetrické napájení, b) nesymetrické napájení

jeným výstupním odporem předchozího stupně určuje dolní mezní kmitočet podle vztahu $f = 1/6,28C_1R_p$, kde R_p je paralelně spojení R_3 a výstupního odporu předchozího stupně. Zesílení zesilovače je dáno poměrem R_2/R_1 . Kondenzátor C_2 spolu s R_1 mají vliv na dolní mezní kmitočet. Kondenzátory C_5 , C_7 zlepšují stabilitu na nízkých kmitočtech a filtrují napájecí napětí. Kondenzátory C_3 , C_6 zlepšují stabilitu zesilovače na vysokých kmitočtech a mají být zapojeny co nejbliže vývodům 1 a 3 nebo 5. Kondenzátor C_4 slouží ke kompenzaci na vysokých kmitočtech a jeho kapacita je závislá na zesílení zesilovače. Zároveň je jím určen horní mezní kmitočet. Horní mezní kmitočet je určen rovněž Boucherotovým členem R_4 , C_8 a jeho připojením se zlepšuje i stabilita celého zesilovače. Mezi výstup a napájecí napětí jsou zapojeny rychlé usměrňovací diody D₁, D₂, kterými se omezují špičky napětí (chrání se IO před zničením nadmerným napětím).

V zapojení na obr. 5b je nutné rezistory R₁, R₃ nastavit na vstupu zesilovače poloviční napájecí napětí. Odpor rezistoru není kritický, avšak musíme vybrat dva rezistory, jejichž odpór se liší jen o 1 %. Kondenzátor C₂ filtruje „středové“ napětí. Zesílení zesilovače je dáno poměrem R_2/R_1 . Kondenzátorom C₃ je oddělený vývod 8 od země. Kondenzátor C₄ je určen ke kompenzaci a určuje horní mezní kmitočet. Kondenzátor C₆ zlepšuje stabilitu zesilovače na nízkých kmitočtech a C₅ na vysokých kmitočtech. C₅ má být co nejbližší vývodu 1. Horní mezní kmitočet je omezen Boucherotovým členem R₄, C₈. Dolní mezní kmitočet je dána kondenzátem C₆ a impedancí reproduktoru R₂. Diody D₁, D₂ omezují špičky napětí a chrání IO před zničením. Je třeba upozornit, že MDA2020 nesmí být provozován bez chladiče, ani když není na vstupu žádný signál, neboť má velký kladový proud a tudíž i ztrátový výkon, který samotně pouzdro nerozptýlí. Při symetrickém napájení je nutné pouzdro izolovat od chladiče.

Na obr. 6a je zapojení zesilovače s A2030D (NDR) pro symetrické napájení. Vstupní odpór zesilovače je dán rezistorem R₁, který spolu s C₁ určuje dolní mezní kmitočet. Když R₁ zvětšíme, zvětší se i zisk zesilovače a naopak se zvětšením R₂ se zisk zmenší. Při menším R₃ bude menší vstupní odpór a naopak. Při zvětšení R₄ bude zesílení náchylné k oscilačím na vyšších kmitočtech. Rezistor R₅ má mít asi třikrát větší odpór než R₂. Ovlivňuje horní mezní kmitočet. Jeho zvětšení má za následek špatné potlačení vyšších kmitočtů a jeho zmenšení sklon zesilovače k oscilačím. Zmenšení kapacity kondenzátoru C₁ vede ke zvýšení dolního mezního kmitočtu. Totéž platí i o C₂. Zmenšení kapacity kondenzátorů C₃, C₄ se projeví sklonem zesilovače ke kmitání. Rovněž tak ke kmitání může dojít při zmenšení kapacity kondenzátorů C₅, C₆, C₇, které zajišťují kmitočtovou stabilitu zesilovače a jejich zmenšení vede k oscilačím. Kondenzátor C₈ ovlivňuje horní mezní kmitočet, $C_8 = 1/6,28/R_1$. Zvětšováním jeho kapacity se snižuje horní mezní kmitočet a naopak. Diody D₁, D₂ jistí IO proti špičkám napětí na výstupu. IO je nutné izolovat od chladiče.

Zesilovač na obr. 6b s A2030D má nesymetrické napájení. Poměrem R₁/R₂ je určen zisk zesilovače. Při zvětšování R₁ se zvětší zisk a naopak. Při větším R₂ se zisk zmenší a naopak. Odporom rezistoru R₃ můžeme měnit vstupní odpór. Rezistor R₄ má vliv na stabilitu zesilovače a zvětšování jeho odporu může vést k rozkmitání zesilovače na vysokých kmitočtech, zejména při indukční zátěži. Rezistory R₅, R₆ se nastavují na výstupu poloviční ss napájecí napětí; jejich odpory by se neměly lišit o více než o 1 %. Zvětšováním kapacity kondenzátoru C₁ roste dolní mezní kmitočet. Totéž platí i o C₂. Zmenšování C₄, C₅ se zhorší stabilita zesilovače na vysokých a nízkých kmitočtech. Kondenzátor C₆ omezuje horní mezní kmitočet a zmenšení jeho kapacity má za následek sklon zesilovače k oscilačím. Kondenzátor C₇ spolu s R₂ určuje dolní mezní kmitočet na výstupu zesilovače. Zvětšování jeho kapacity se nedoporučuje, neboť by mohlo dojít při zapnutí ke zničení zesilovače vlivem velkého nabíjecího proudu C₇. V daném případě může být pouzdro spojeno vodivě

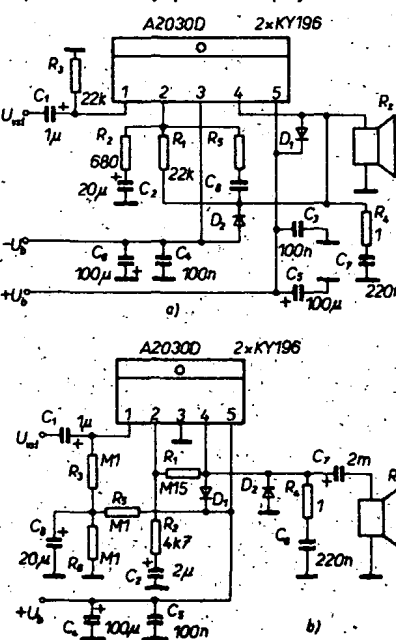


Obr. 7. Zapojení koncového zesilovače s A2000D; a) zapojení stereofonního zesilovače, b) zapojení můstkového zesilovače

s chladičem: Kondenzátor C₈ blokuje „středové“ napětí a zmenšení jeho kapacity se může projevit sklonem k oscilačím.

Na obr. 7a je zapojení stereofonního zesilovače s A2000D a A2005D. Rezistor R₁ se nastavuje „středové“ napětí na výstupu, při zvětšení nebo zmenšení jeho odporu se zmenší výstupní výkon. Rezistory R₂, R₃, R₄, R₅ se nastavují zisk zesilovače. Zvětšením odporu rezistorů R₂, R₄ se zisk zvětší a naopak. Zvětšení jeho odporu se zmenší a naopak. Rezistory R₆, R₇ ovlivňují kmitočtovou stabilitu, při zvětšení jejich odporu má zesilovač sklon k oscilačím. Kondenzátory C₁, C₂ slouží ke stejnospěrnému oddělení. Zvětšení jejich kapacity má za následek zpozdění při zapnutí, zmenšení jejich kapacity zvětší dolní mezní kmitočet a šum. Zmenšováním kapacity C₃ se zhorší potlačení brumu, zvětšováním jeho kapacity se zlepší potlačení brumu a prodlouží dobu náběhu. C₄, C₆ jsou bootstrapové kondenzátory, zmenšením jejich kapacity se zvětší zkreslení na nízkých kmitočtech. C₅, C₇ zavádějí střídavou zpětnou vazbu na vstup, při zmenšení jejich kapacity se zvýší dolní mezní kmitočet. Kondenzátory C₈, C₉ zlepšují kmitočtovou stabilitu, zmenšení jejich kapacity může mít za následek rozkmitání zesilovače. C₁₀, C₁₁ spolu s R₂ určují dolní mezní kmitočet. Kondenzátor C₁₂ blokuje napájení, zmenšení jeho kapacity může vést k oscilačím.

Na obr. 7b je zapojení můstkového zesilovače s A2000D, A2005D. Odpor R₁ optimalizuje symetrii na výstupu a jakákoli jeho změna vede ke zmenšení výstupního výkonu. Rezistory R₂ až R₅ se nastavují zisk zesilovače. Při návrhu můstkového zesilovače musí být R₃ = 2R₂ a R₄ = R₅. Zisk A_u = 4R₂/R₅. Rezistory R₆, R₇ zlepšují stabilitu zesilovače, zvětšení jejich odporu může vést k oscilačím při indukční zátěži. Kondenzátor C₁ stejnospěrně odděluje vstup, zvětšení jeho kapacity vede ke zpozdění signálu, zmenšení k růstu dolního mezního kmitočtu a šumu. Totéž platí i pro C₂, který slouží k optimalizaci



Obr. 6. Zapojení koncového zesilovače s A2030D; a) symetrické napájení, b) nesymetrické napájení

zpoždění signálu. Kondenzátor C_3 filtryuje napájecí napětí, zmenšení jeho kapacity může mít za následek vznik oscilací. C_4 slouží k filtraci napájecího napětí, zmenšení jeho kapacity má za následek menší potlačení brumů, zvětšení lepší potlačení brumů a prodloužení doby sepnutí. Kondenzátory C_5 a C_7 jsou bootstrapové kondenzátory, zmenšení jejich kapacity vede ke zvětšení zkreslení na nízkých kmitočtech. C_6 , C_8 oddělují ss. zápornou vazbu, zmenšení jejich kapacity má za následek zvýšení dolního mezního kmitočtu. Zmenšení kapacity C_9 , C_{10} zhoršuje kmitočtovou stabilitu a zesilovač má sklon ke kmitání na vysokých kmitočtech.

Při aplikaci zesilovačů na obr. 7 je nutno dodržet tyto zásady:

- napájecí, zemní a výstupní vodič k reproduktoru musí mít malou impedanci,
- při návrhu plošných spojů je nutno, aby Boucherotovy členy byly co nejbližše k vývodům 8 a 10 IO a byly zemněny do „výstupní“ země. Nikdy tyto členy nesmějí být připojeny až za vazební kondenzátory. Vstupní a výstupní zem musí být vedeny odděleně k vývodu 6 IO,
- IO musí být dobré tepelně spojen s chladičem a vývody nesmí být mechanicky namáhaný,
- zesiření lze měnit zpětnou vazbou od 24. do 52 dB. Zmenšení klidového příkonu je dosaženo vazbou zpěnovazebního děliče na výstup zesilovače. Zemnicí bod tohoto děliče je na „výstupní“ zemi; vynecháme-li bootstrapové kondenzátory, musíme vypustit R_1 a vývody 7 a 11 IO jsou připojeny na napájecí napětí, pro dobrou vstabilitu musí být napájecí napětí blokováno kondenzátorem min. 100 nF,
- při daných provozních podmínkách může být mezi vstup a zem připojen kondenzátor max. 220 pF,
- připojením vývodu 3 k zemi lze obvod umílet a současně se zmenší příkon.

Na obr. 8 je zapojení koncového zesilovače Transiwat 40. Signál je přes C_1 přiveden na vstupní zesilovač T_1 a zesílený signál je z pracovního rezistoru R_5 veden přes C_4 do budiče v Darlingtonové zapojení T_2 , T_3 . Darlingtonovo zapojení je nutné použít vzhledem k tomu, že T_3 má malé prouďové zesílení a tudíž prouď přes T_1 by musel být velký. Zvětšení proudu přes T_1 však vede ke zvětšení šumu a tudíž k zhoršení odstupu rušivých napětí, což je nežádoucí. Z kolektoru T_3 je buzen komplementární koncový stupeň T_4 , T_5 . Při malých výkonech jsou tyto tranzistory uzavřeny a potřebný výkon do záteže R_z dodává tranzistor T_3 . Mezi emitory T_4 , T_5 je připojena přes oddělovací kondenzátor C_6 zátež R_z . Pracovní odpor budiče T_3 je rozdělen na dvě části, R_{11} , R_{12} ; mezi které je zapojen bootstrapový kondenzátor C_5 , přes který se dodatečně budí koncové

tranzistory při vyšších výkonech zesilovače (zejména na nízkých kmitočtech). Přechodové zkreslení je odstraněno jednak zpětnou vazbou přes C_5 , zpětnou vazbou R_7 , R_3 a také rezistorem R_{13} , který pomáhá zvětšovat odolnost koncových stupňů proti přepěti a proudovému přetížení na výstupu. Nastavení pracovního bodu T_2 , T_3 , T_4 , T_5 i stejnospěrná záporná vazba jsou realizovány rezistory R_8 , R_9 . Proti trvalému přetížení a v frekvencích jsou koncové tranzistory chráněny pojistkou P_1 . Pracovní bod předzesilovače T_1 je nastaven rezistory R_2 , R_4 .

Dále si ukážeme výpočet: jednotlivých součástek zesilovače: Pro koncový stupeň si zvolíme tranzistory KD605, KD615. Proud záteže R_z musí být menší, než je maximální kolektorový proud I_{CM} , napětí U_{CEO} musí být větší než maximální napájecí napětí U_B při nevybuzeném zesilovači a skutečný ztrátový výkon P_{ZT} musí být menší než maximální výkonová ztráta P_{TOT} . Pro tranzistory KD605, KD615 je $U_{CEO} = 40$ V, proud $I_{CM} = 14$ A a výkonová ztráta $P_{TOT} = 70$ W. Protože zesilovač je napájen z nestabilizovaného zdroje, pak maximální $U_{CEO} = 36$ V při kolísání sítě o $\pm 10\%$. Při plném zatížení, bude-li $U_B = 36$ V, naprázdno bude obvykle U_B o 15% větší, takže $U_B = 41.4$ V. Pro toto napětí je však nutno použít tranzistory KD606, KD616, abychom zajistili spolehlivý provoz zesilovače. Pro $U_B = 36$ V si spočítáme minimální zátežovací impedanci:

$$R_{Zmin} = U_B : 2I_{CM} = 36 : 28 = 1,29 \Omega$$

Vzhledem k tomu, že v prodeji jsou reproduktory s nejmenší impedancí 4 Ω , bude me v dalším návrhu počítat s touto impedancí. Spičkový proud záteže I_{ZM} bude tedy:

$$I_{ZM} = U_B : 2R_z = 36 : 8 = 4,5 \text{ A}$$

Pro kolektorový proud $I_{CM} = 4,5$ A zjistíme z charakteristik tranzistorů KD605, KD616 $U_{BESM} = 0,98$ V a $U_{CESat4} = 0,21$ V. Střídavé napětí na emitoru T_5 při plném vybuzení (zápornou a půlvlnou) napětí U_0 bude: $U_{E5min} = U_{BESM} + U_{CESat3}$, kde U_{CESat3} je saturování napětí tranzistoru T_3 , zjištěné z charakteristik při dvojnásobném proudu I_{C3} . V první priblížení zanedbáme U_{CESat3} , takže $U_{E5min} = U_{BESM} = 0,98$ V. Tranzistor T_4 může být vybuzen až do saturování napětí: $U_{E4max} = U_B - U_{CESat4} = 36 - 0,21 = 35,79$ V. Pro vybuzení je k dispozici rozsah U_{E5min} až U_{E4max} . A z toho amplitudá napětí kolektor-emitor jednoho tranzistoru je: $U_{ECM} = (U_{E4max} - U_{E5min}) : 2 = (35,79 - 0,98) : 2 = 17,4$ V. Aby omezení obou půlvln bylo symetrické, pak „středové“ napětí U_0 na emitorech T_4 , T_5 bude: $U_0 = U_{ECM} + U_{E5min} : 2 = (35,79 + 0,98) : 2 = 18,38$ V. „Středové“ napětí je v praxi rovno polovině napětí U_B . Přesná velikost tohoto napětí je závislá na parametrech použitých tranzistorů a u daného zesilovače lze tuto velikost středového napětí nastavit rezistorem R_{13} . Pro určení odporu

rezistoru R_{11} a R_{12} musíme z charakteristik zjistit proudový zesilovační β_{4min} , U_{BE4M} pro I_{ZM} a U_{BE4} pro klidový proud zesilovače: $\beta_{4min} = 35$, $U_{BE4M} = 0,88$ V, $U_{BE4} = 0,62$ V. Pro náhradní rezistor $R_{em} = U_{BE4M} : I_{ZM} = 0,88 : 4,5 = 0,196 \Omega$ bude pomocná veličina $r = R_{em} : R_z = 0,196 : 4 = 0,0490$ a z toho $s_{min} = 1 + 2r + 2\sqrt{r(1+r)} = 1,55$. S ohledem na plné vybuzení bude $R_{12} = R_z \cdot \frac{\beta_{4min}}{s_{min}} - 1 = 86,32 \Omega$. Nejbližší normalizovaný odpor je 82 Ω . Celkový zátežovací odpor koncového stupně $R_m = R_{12}R_z : (R_{12} + R_z) = 3,81 \Omega$ a amplituda emitorového proudu koncovým tranzistorem T_4 , T_5 bude $I_{EM4,5} = U_{ECM} : R_m = 4,567$ A a maximální výstupní výkon bude:

$$P_V = \frac{R_z}{2} \left(\frac{R_{12}}{I_{EM4,5} R_{12} + R_z} \right)^2 = 37,92 \text{ W}$$

Pro $R_{11} + R_{12} = U_{ECM} : I_{b4m} = I_{EM4} : \beta_{4min} = 4,567 : 35 = 130$ mA a $R_{11} + R_{12} = 17,4 : 0,13 = 133,84 \Omega$. V praxi je však proudové zesílení při I_{EM4} u T_4 větší a pohybuje se mezi 50 až 60, takže I_{b4m} bude 91 až 76 mA a $R_{11} + R_{12}$ bude 191 až 229 Ω . Zvolíme 200 Ω , takže odpor rezistoru $R_{11} = 118 \Omega$, použijeme rezistor 120 Ω . Spičkový proud přes R_{11} , R_{12} bude v daném případě 86 mA (což odpovídá $\beta_{4min} = 53$) a ztrátový výkon R_{11} bude $P_{ZT11} = R_{11} I_{b4m}^2 = 0,9$ W a pro R_{12} je to 0,6 W.

Ztrátový výkon T_5 je o něco větší než T_4 , protože „středové“ napětí je o něco větší než polovina U_B .

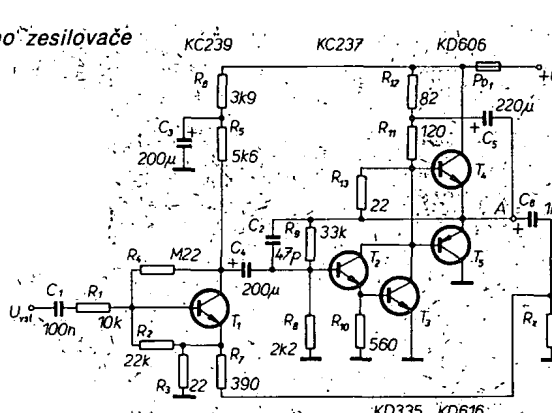
$$P_{ZT5} = \frac{(1,1 U_0)^2}{\pi^2 R_z} = 10,35 \text{ W a}$$

$$P_{ZT4} = \frac{(1,1 (U_B - U_0))^2}{\pi^2 R_z} = 9,52 \text{ W}$$

Pro teplotu okolí 45 °C bude tepelný odpor pro T_5 $R_{th5} = 10,62$ °C/W a pro T_4 $R_{th4} = 11,56$ °C/W. Při montáži bez izolační podložky je odpor mezi přechodem a chladičem pro T_5 2 °C/W a pro T_4 s izolační podložkou 3 °C/W. Chladič musí mít tepelný odpor pro T_5 $R_{th5} = 8,62$ °C/W a pro T_4 $R_{th4} = 8,56$ °C/W.

Protože T_3 pracuje ve třídě A, musí být jeho klidový proud I_{C3} dostatečně veliký, aby ho dosáhl požadovaného rozkmitu $I_{CE} = (U_B - U_0) : (R_{11} + R_{12}) = 87$ mA a ztrátový výkon T_3 $P_{ZT} = U_{ZT} I_{C3} = 1,6$ W. Pro T_3 použijeme KD336, takže $R_{th3} = 68,75$ a $R_{th4} = 60,75$ °C/W.

Amplituda střídavého proudu na R_{11} je při plném vybuzení T_4 $I_{R11} = U_{BE4M} : R_{11} = 7,3$ mA. Amplituda maximálního proudu bází T_4 je $I_{b4m} = I_{EM4} : \beta_{4min} = 4,567 : 53 = 86$ mA. Proud pro plné vybuzení T_5 $I_{R11} = U_{BESM} : R_{11} = 82$ mA a proud bází T_5 $I_{b5m} = I_{EM5} : \beta_{5min} = 86$ mA. Protože součet obou proudů je menší než proud I_{C3} , je nutné z výstupu zavést přes C_5 střídavou zpětnou vazbu, $C_5 = 1/6,26f$, $R_{12} = 97 \mu F$ pro $f_d = 20$ Hz. Vzhledem k tolerancím kondenzátorů volíme $C_5 = 200 \mu F$. Při vypuštění této vazby nebude T_5 plně vybuzen. Rezistor R_{10} je společný pro emitor T_2 a bázi T_3 . Proud $I_{E2} = U_{C3} : \beta_{3min} + (U_{BES3} : R_{10})$. V prvním priblížení bude $I_{E2} = 87 : 50 = 1,75$ mA. Tento proud zvětšíme na 5 mA. Z charakteristik zjistíme U_{BES3} pro daný proud I_{C3} je



Obr. 8. Zapojení koncového zesilovače Transiwat 40.

$$= 9.79 \text{ W}$$

T_5 je připevněn přímo na chladič, T_4 přes slídovou podložku. Teplotní odpor chladiče pro T_5 : $R_{\text{thk}} = \frac{\vartheta_1 - \vartheta_a}{P_{\text{zts}}} - R_{\text{tp}} - R_{\text{tpk}}$

$$= \frac{140 - 45}{10,49} - 2,1 - 0,5 = 6,46 \text{ }^{\circ}\text{C/W};$$

$$\text{teplotní odpor chladiče pro } T_4: R_{\text{thk}} = \frac{\vartheta_1 - \vartheta_a}{P_{\text{ztr4}}} - R_{\text{tp}} - R_{\text{tpk}} - R_{\text{izol}} = 6,1 \text{ }^{\circ}\text{C/W}$$

Pro chlazení bude použit Al plech nečerněný tloušťky 3 mm, u něhož konstanta $F_2 = 0,9 \text{ }^{\circ}\text{C/W}$ (pro plech 2 mm je $F_2 = 1,25 \text{ }^{\circ}\text{C/W}$ a pro plech 1,5 mm je $F_2 = 1,6 \text{ }^{\circ}\text{C/W}$). Plocha potřebná pro chlazení obou tranzistorů:

$$A = \frac{1260}{6,1 - 0,9} = 242 \text{ cm}^2.$$

Dále se budeme zabývat návrhem rezistorů R_7 a R_8 . Pro výpočet R_7 je třeba znát pomocné veličiny R_{em} , r_s , s_m .

$$R_{\text{em}} = R_E + \frac{\Delta U_{\text{BEM4}}}{I_{\text{ZM}}} = 0,5 + \frac{2,15 - 1,1}{4} = 0,76 \Omega.$$

ΔU_{BEM4} je rozdíl napětí U_{BEM4} , zjištěny z charakteristiky při proudu I_{m} a při $/_{\text{con}}$

$$r = R_{\text{em}} : R_z = 0,76 : 4 = 0,19$$

$$s_m = 1 + 2r + \sqrt{r(1+r)} = 2,33$$

$$R_7 \leq R_z \left(\frac{h_{21E4m}}{s_m} - 1 \right) = 1198 \Omega,$$

h_{21E4m} je minimální proudotový zesilovací činitel T_4 při proudu I_{m} . S ohledem na tolerance 20 % zvolíme $R_7 = 1 \text{ k}\Omega$.

Rezistor R_8 :

$$R_8 = \frac{h_{21E4m}R_m - R_7}{2} \pm$$

$$\pm \sqrt{\frac{(h_{21E4m}R_m - R_7)^2}{2} - h_{21E4m}R_{\text{em}}(R_7 - R_m)},$$

$$\text{kde } R_m = \frac{R_z R_1}{R_z + R_1} = 3,98 \Omega,$$

po dosazení do rovnice pro R_8 vydou dva odpory a to 1410 Ω a 376 Ω . Rezistor R_8 volíme z hlediska minimálního proudu přes T_2 a s ohledem na toleranci 20 % proto 1,2 $\text{k}\Omega$.

Dále navrhne budič T_2 . Průvod $/_{\text{c2}} = I_{\text{BM4}} + /_{\text{R8}}$, kde $I_{\text{BM4}} = I_{\text{ZM}} : h_{21E4m} = 5,71 \text{ mA}$ a $/_{\text{R8}} = (U_{\text{BEM4}}R_{16} + U_{\text{BEM4}} + I_{\text{ZM}}R_E) : R_8 = 4,74 \text{ mA}$, takže $/_{\text{c2}} = 5,71 + 4,74 = 10,45 \text{ mA}$.

Pro spolehlivou funkci budiče tento průvod zvětšíme o 10 %, takže skutečný průvod T_2 bude $/_{\text{c2}} = 1,1 : /_{\text{c2}} = 11,5 \text{ mA}$. Výkonová ztráta T_2 je: $P_{\text{z2}} = U_{\text{f2}}' c_2 = 21,05 \cdot 11,5 = 242 \text{ mW}$, kde $U_{\text{f2}}' = (U_{\text{A min}} + U_{\text{A max}}) : 2 = (39,8 + 2,3) : 2 = 21,05$.

$$U_{\text{A min}} = -(U_{\text{BEM5}} + U_{\text{CE52}}) = -(2,15 + 0,15) = -2,3 \text{ V},$$

$$U_{\text{A max}} = -(U_{\text{B}} - U_{\text{CE4}}) = -(40,9 - 1,1) = 39,8 \text{ V}.$$

Dále překontrolujeme maximální napětí U_{CE0} budiče T_2 . Vlivem C_4 dochází ke krátkodobým špičkám budicího napětí, které nemají být větší než U_{CE02} . Když uvažíme, že při špičkách budicího napětí je tranzistor vybuzen až do stavu, kdy $U_{\text{CE4}} = 0$ a zanedbáme-li vliv rezistoru R_{16} , bude při 10 % přepěti sítě na tranzistoru napětí $U_{\text{CEM}} = 1,1U_{\text{BD}} + U_{\text{BEM4}} = 1,1 \cdot 47 + 2,15 = 53,85 \text{ V}$.

Pokud bude osazen rezistor R_{16} , je nutno toto napětí ještě zvětšit o:

$$1,1(U_{\text{BD}} - U_{\text{O}})R_{16} \\ /_{\text{BM4}}R_{16} = (R_7 + R_8)(R_8 + R_{16})$$

$$= \frac{1,1(47 - 21,05)1200,270}{(1000 + 1200)(1200 + 270)} = 2,86 \text{ V},$$

$$\text{takže celkové } U_{\text{CEM}} = 53,85 + 2,86 = 56,71 \text{ V.}$$

Pro daný účel postačí i tranzistor KC637, který splňuje požadavky U_{CE0} , I_c a P_{ztr} (místo navrženého BF457).

Pro návrh rezistoru R_6 musíme nejprve spočítat proud do báze T_2 : $I_{\text{B2}} = /_{\text{C2}} : h_{21E2} = 11,5 : 30 = 383 \mu\text{A}$. Proud přes T_1 by měl být z hlediska šumu co nejménší a zvolíme ho asi 0,5 mA. Rezistor $R_6 = U_{\text{BE2}} : /_{\text{C1}} = 0,67 : 0,5 = 1,34 \text{ k}\Omega$. Napětí U_{BE2} zjistíme z charakteristik pro KC637. S ohledem na toleranci 20 % bude $R_6 = 1,2 \text{ k}\Omega$. Celkový proud přes T_1 je $I_{\text{B2}} + /_{\text{C1}} + /_{\text{B1}} = 883 \mu\text{A}$. Proud $/_{\text{B1}}$ vzhledem k velkému h_{21E1} lze zanedbat. Úbytek napětí na rezistoru R_5 se volí asi 4 % U_{B0} , takže $R_5 = 0,04U_{\text{B0}}$; $(I_{\text{B2}} + /_{\text{C1}}) = 2,18 \text{ k}\Omega$ a odpor $R_5 = 2,2 \text{ k}\Omega$.

Pro výpočet rezistoru R_4 je nutné určit úbytek na R_4 a proud $/_{\text{d1}}$ rezistory R_1 až R_4 . $U_{\text{B0}} - U_{\text{R4}} = U_{\text{B0}} + /_{\text{C2}}(R_7 + R_8) + U_{\text{BEM4}} = 47,45 \text{ V}$ a z toho $U_{\text{R4}} = 0,67 \text{ V}$.

Na pozici T_1 použijeme tranzistor KC307 s $h_{21E1} = 200$, při $/_{\text{C1}} = 0,88 \text{ mA}$. Proud $/_{\text{B1}} = /_{\text{C1}} : h_{21E1} = 0,88 : 200 = 4,4 \mu\text{A}$. Proud děličem má být 10x větší než $/_{\text{B1}}$, takže $/_{\text{d1}}$ zvolíme 70 μA , $R_4 = U_{\text{R4}} : /_{\text{d1}} = 0,67 : 0,07 = 9,57 \text{ k}\Omega$, který zaokrouhlíme na 10 $\text{k}\Omega$.

Rezistory $R_1 + R_2 + R_3 = U_{\text{B0}} - U_{\text{R4}} : /_{\text{d1}} = 46,33 : 0,07 = 662 \text{ k}\Omega$. Napětí báze T_1 je až na úbytek na R_5 a úbytek U_{BEM1} rovno „středovému“ napětí U_{B0} . Z charakteristiky KC307 zjistíme $U_{\text{BEM1}} = 0,7 \text{ V}$, takže:

$$U_{\text{B1}} = U_{\text{B0}} - R_{\text{f1}} \quad U_{\text{BEM1}} = 21,05 + - 2200 \cdot 883 \cdot 10^{-6} - 0,7 = 18,4 \text{ V}.$$

Zároveň platí:

$$R_2 + R_3 = U_{\text{B1}} : (U_{\text{B0}} - U_{\text{R4}}), \text{ takže}$$

$$R_2 + R_3 = \frac{U_{\text{B1}}}{U_{\text{B0}} - U_{\text{R4}}} = \frac{18,4}{47 - 0,67} = 0,397,$$

a z toho $0,397R_1 = 0,603(R_2 + R_3)$, takže $R_1 = 1,52(R_2 + R_3)$. Také platí, že $R_1 = 662 - (R_2 + R_3)$ a $2,52R_2 + 2,52R_3 = 662$, $R_2 + R_3 = 263 \text{ k}\Omega$

a $R_1 = 1,52 \cdot 263 = 399 \text{ k}\Omega$. Rezistory R_1 , R_2 , R_3 vypočítáme až po R_{15} , kterým je dán stupeň zpětné vazby.

Pro zápornou zpětnou vazbu platí:

$$A' = \frac{R_5 R_{15}}{R_3 (R_5 + R_{15})}$$

Pro první výpočet volíme $R_3 = 47 \text{ }\Omega$. Pro správný návrh R_3 a R_{15} je nutno stanovit následující veličiny: $U_{\text{ZM}} = 16 \text{ V}$; $E_{\text{A5}} = U_{\text{ZM}} : R_{\text{m}} = 16 : 3,98 = 4,02 \text{ A}$; $I_{\text{R8}} = 4,74 \text{ mA}$; $/_{\text{C2}} = 10,45 \text{ mA}$; $/_{\text{B2}} = /_{\text{C2}} : h_{21E2} = 10,45 : 30 = 348 \mu\text{A}$; $g_{\text{m2}} = /_{\text{C2}} : U_{\text{T}} = 11,5 : 0,026 = 440 \text{ mA/V}$; $U_{\text{BE2}} = /_{\text{C2}} : g_{\text{m2}} = 10,45 : 440 = 23,75 \text{ mV}$; $/_{\text{C1}} = /_{\text{B2}} + \frac{U_{\text{BE2}}}{R_6} = 348 + \frac{23,75}{2,2} = 358,8 \mu\text{A}$; $r_{\text{e1}} = U_{\text{T}} : /_{\text{C1}} = 26 : 0,5 = 52 \Omega$, $u_{\text{1}} = /_{\text{C1}}(r_{\text{e1}} + R_3) = 358,8(52 + 47) = 35,52 \text{ mV}$; $U_{\text{z1}} = \sqrt{P_{\text{z1}}}R_{\text{z1}} = \sqrt{32,4} = 11,3 \text{ V}$. Zesílení bez zpětné vazby $A_{\text{v1}} = U_{\text{z1}} : U_{\text{1}} = 11,3 : 0,03552 = 318,1$. Zesílení se zpětnou vazbou: $A' = U_{\text{z1}} : U_{\text{v1}} = 11,3 : 0,5 = 22,6 = \frac{R_5 R_{15}}{R_3 (R_5 + R_{15})}$

Pro zajištění stability zpětné vazby by R_3 měl být co nejménší. Rezistor R_5 určuje stabilitu „středového“ napětí a střídavou zpětnou vazbu z výstupu na vstup se vede přes R_{15} . Rezistor R_{15} je při známých R_3 , R_{15} a zesílení A' dán:

$$R_{15} = \frac{R_3 R_{15} A'}{R_3 + R_3 A'} = 2054 \Omega$$

což zaokrouhlíme na 1,8 $\text{k}\Omega$.

Z předchozího víme, že $R_2 + R_3 = 263 \text{ k}\Omega$ a $R_3 = 47 \text{ }\Omega$, takže $R_2 = 262,953 \text{ }\Omega$, použijeme rezistor 270 $\text{k}\Omega$.

Dále spočítáme vstupní odpor:

$$\text{Bez zpětné vazby: } r_1 = h_{21E1} \cdot (r_{\text{e1}} + R_3) = 200(47 + 52) = 19,800 \Omega.$$

Se zpětnou vazbou: $r'_1 = r_1 + r_{\text{KA}} = 318,780 \Omega$,

$$\text{kde } K_{\text{A}} = 15,1 = A_u \frac{R_3(R_5 + R_{15})}{R_3 R_{15}}$$

Vstupní odpor je přibližně roven odporu rezistoru R_1 .

Návrh stabilizačního obvodu s T_3 : Pro T_3 použijeme tranzistor KC238. Napětí $U_{\text{CE3}} = U_{\text{BE4}} + R_{17} /_{\text{B4}} + 2R_{17} /_{\text{C00}} + U_{\text{BES}} + R_{17} /_{\text{B5}} = 2,28 \text{ V}$. Proud odporu R_9 , R_{10} bude asi 10x větší než proud $/_{\text{B3}}$. Součet odporů rezistorů R_9 až R_{11} musí být podstatně větší než diferenciální odpor r_{CE3} :

$$\text{Napětí } U_{\text{CE3}} = I_{\text{d3}} R_{11} + R_9 /_{\text{d3}} + I_{\text{B3}}, \text{ kde } I_{\text{B3}} = /_{\text{C2}} : h_{21E3} = 38,3 \mu\text{A} \text{ pro } h_{21E3} = 300.$$

Proud I_{d3} volíme 0,38 mA. Takže $U_{\text{CE3}} = 0,38 R_{11} + 0,418 R_9$. Zároveň platí

$$R_9 / R_{11} = \frac{U_{\text{CE3}}}{U_{\text{BE3}}} - 1 = 1,96.$$

$$U_{\text{CE3}} = 0,38 R_{11} + 1,96 \cdot 0,418 R_{11} = 1,2 R_{11}$$

$$\text{a z toho } R_{11} = \frac{U_{\text{CE3}}}{1,2} = 1,9 \text{ k}\Omega$$

a $R_9 = 1,96 R_{11} = 3,72 \text{ k}\Omega$. Abychom mohli regulovat klidový proud, zapojíme mezi R_9 a R_{11} proměnný rezistor R_{10} . Součet R_9 až R_{11} musí odpovídat součtu vypočítaných R_9 , R_{11} , takže $R_9 + R_{10} + R_{11} = 5,62 \text{ k}\Omega$ a pro $R_9 = 3,3 \text{ k}\Omega$ a $R_{11} = 1,5 \text{ k}\Omega$ bude $R_{10} = 820 \Omega$.

Pro kontrolu vypočítáme diferenciální odpor r_{CE3} . Proud

$$U_{\text{CE3}} = \frac{U_{\text{CE3}}}{R_9 + R_{10} + R_{11}} = 2,28 : 5,62 = 0,405 \text{ mA};$$

$I_{\text{d3}} = /_{\text{C2}} - I_{\text{d3}} = 11,1 \text{ mA}$. Podmínka, že $I_{\text{d3}} \gg I_{\text{B3}}$ je zde dobře splněna. Pro výpočet odporu

$$r_{\text{CE3}} = \left(\frac{U_{\text{T}}}{I_{\text{d3}}} + \frac{R_9 R_{11}}{h_{21E3}(R_9 + R_{11})} \right) \left(1 + \frac{R_9}{R_{11}} \right) = 19,35 \text{ }\Omega.$$

Vidíme, že i druhá podmínka $R_9 + R_{10} + R_{11} \gg r_{\text{CE3}}$ je splněna.

Spočítáme teplotní změnu napětí

$$\Delta U_{\text{CE3}} = \Delta U_{\text{BEM3}} \left(1 + \frac{R_9}{R_{11}} \right) = -5,9 \text{ mV/}^{\circ}\text{C}.$$

Návrh elektronické pojistky s T_6 , T_7 : Napětí mezi bodem A a kolektorem T_2 (vztaženo na T_4) při plném vybuzení bude:

$$U_{\text{2A}} = I_{\text{B16}} R_{16} + U_{\text{BEM4}} + I_{\text{ZM}} R_{12} - U_{\text{CE3}} = 3,43 \text{ V}$$

Při klidovém proudě $/_{\text{C00}}$ platí že: $U_{\text{CE3}} > /_{\text{B16}} R_{16} + U_{\text{BE4}} + I_{\text{C00}} R_{12} = 1,14 \text{ V}$, aby T_6 byl uzavřen. U_{CE3} je konstantní v širokém rozsahu teplot, ale se zvětšujícím se výstupním výkonem se mění $/_{\text{B4}}$ a $/_{\text{ZM}}$. Zvětší-li se proud T_4 nad určitou mezí, bude napětí U_{2A} kladnější než U_{CE3} a T_6 začne omezovat budicí signál. Mezi otevření T_6 je dána poměrem R_{20} ku $R_{18} + R_{20}$. Víme, že při plném vybuzení bude $U_{\text{2A}} = 3,43 \text{ V}$, takže napětí na bázi T_6 při jeho plném otevření musí být minimálně $U_{\text{BE6}} = 0,6 \text{ V}$. Tranzistor T_6 je při $U_{\text{BE6}} = 0,6 \text{ V}$ v saturaci, takže $U_{\text{CE6}} = 0,2 \text{ V}$ a $B = 20$. Proud $/_{\text{B6}} = /_{\text{ZM}} : (h_{21E6} B) = 0,285 \text{ mA}$.

Proud děličem R_{18} , R_{20} volíme 0,35 mA, takže $R_{18} = (U_{\text{2A}} - U_{\text{BE6}}) : 0,35 = 8,08 \text{ k}\Omega$ a $R_{20} = U_{\text{BE6}} : 0,35 = 1,7 \text{ k}\Omega$. Pro R_{20} použijeme odpovídající trimr 4,7 Ω , kterým korigujeme různá U_{BE6} . Totež platí i pro součástky kolem T_7 .

Rezistor v Boucherotově článku volíme v rozsahu 1 až $10R_z$; $R_{14} = 10 \Omega$. Aby R_{22} , R_{23} zbytečně nezměňovaly výstupní napětí, volíme je v rozsahu 50 až $100R_z$; $R_{22} + R_{23} = 200 \Omega$, které rozdělíme v poměru 1:1, tedy $R_{22} = R_{23} = 100 \Omega$.

Dále navrheme kapacity kondenzátorů:

$$C_1 = \frac{1}{2\pi f R_4} = \frac{1}{6,28 \cdot 20 \cdot 10000} = 0,8 \mu F;$$

pro dobrou filtraci ho zvětšíme na 5 μF .

$$C_2 = \frac{1}{6,28 f R_1} = \frac{1}{6,28 \cdot 20 \cdot 318780} = 25 nF;$$

pro dobré fázové poměry ho zvětšíme na 100 nF.

$$C_3 = \frac{1}{6,28 f R_3} = \frac{1}{6,28 \cdot 20 \cdot 47} = 169 \mu F, \text{ vybereme } C_3 = 200 \mu F.$$

$$C_4 = \frac{1}{6,28 f R_7} = \frac{1}{6,28 \cdot 20 \cdot 1000} = 8 \mu F;$$

pro dobrou fázovou stabilitu vybereme $C_4 = 200 \mu F$.

$$C_5 = \frac{1}{6,28 f R_6} = \frac{1}{6,28 \cdot 10^6 \cdot 1200} = 132 pF.$$

Kmitočet f_1 volíme asi 1 MHz, abychom zabránili v frekvenci a přenosu vysokých kmitočtů a tak zlepšili stabilitu zesilovače na vysokých kmitočtech.

$$C_6 = \frac{1}{6,28 f R_5} = \frac{1}{6,28 \cdot 150 \cdot 000 \cdot 2200} = 482 pF.$$

Kmitočet f_2 volíme s ohledem na nejnižší kmitočet dlouhých vln.

$$C_7 = \frac{1}{6,28 f R_{14}} = \frac{1}{6,28 \cdot 150 \cdot 000 \cdot 10} = 0,1 \mu F.$$

$$C_8 = \frac{1}{6,28 f R_m} = \frac{1}{6,28 \cdot 20 \cdot 3,98} = 1,99 mF,$$

použijeme kondenzátor 2 mF.

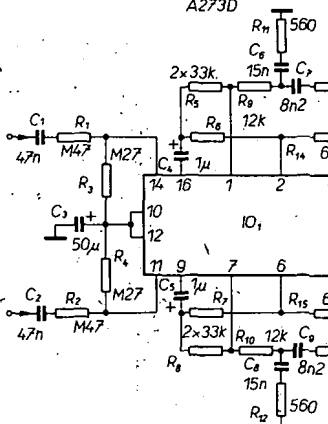
$$C_9 = \frac{1}{6,28 f R_{vsi4}} = \frac{1}{6,28 \cdot 150 \cdot 000 \cdot 2800} = 378 pF.$$

použijeme $C_9 = 330 pF$; $R_{vsi4} = h_{21E4} R_z = 700,4 = 2800 \Omega$.

Nakonec zbývá navrhnut zatížitelnost rezistorů:

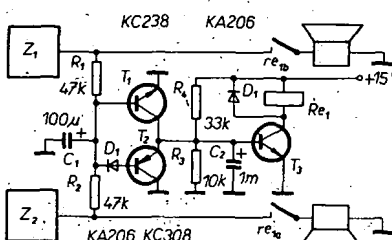
$$\begin{aligned} P_{R1} &= R_{1d} V_{d1}^2 = 39,10^4 \cdot 49 \cdot 10^{-10} = 2 mW, P_{R2} = R_{2d1}^2 = 1,3 mW, \\ P_{R3} &= R_{3d1}^2 = 0,2 \mu W, P_{R4} = R_{4d1}^2 = 50 \mu W, \\ P_{R5} &= R_5 (V_{B2} + C_1)^2 = 1,7 mW, P_{R6} = R_{6d1}^2 C_1 = 0,3 mW, \\ P_{R7} &= R_7 C_2^2 = 130 mW, P_{R8} = R_8 C_2^2 = 158 mW, \\ P_{R9} &= R_9 (V_{B3} + H_{B3})^2 = 0,6 mW, P_{R10} = R_{10} (V_{B3} + H_{B3})^2 = 0,14 mW, \\ P_{R11} &= R_{11d1}^2 d_3 = 0,22 mW, P_{R12} = R_{12} (V_{B3} + H_{B3})^2 = 2,02 W, \\ P_{R14} &= 0,5 W, P_{R15} = R_{15d1}^2 = 135 mW, \\ P_{R16} &= P_{R17} = R_{16d1}^2 M^2 = 9 mW, P_{R18} = P_{R19} = R_{18d1}^2 = 1 mW, \\ P_{R20} &= P_{R21} = R_{20d1}^2 = 0,1 mW, P_{R22} = P_{R23} = R_{22d1}^2 = 640 mW. \end{aligned}$$

A273D



Návrh obvodu pro připojení reproduktoru: Pro připínání zátěže použijeme relé RP102 nebo RP700 pro napětí 12 V. Obvod je napájen ze stabilizovaného zdroje 15 V. Průtok pro přitažení relé $I_{RE} = 50 \text{ mA}$. Pro jeho spínání použijeme tranzistor KC238, který má $U_{CESS} = 0,3 \text{ V}$, $B_B = 30$, $U_{BE8} = 0,78 \text{ V}$. Rezistor $R_{24} = (U_{B2} - U_{RE} - U_{CESS}) / (I_{RE} + I_{BB})$, kde $U_{B2} = 15 \text{ V}$, $U_{RE} = 12 \text{ V}$, $I_{BB} = I_{RE}$; B_B , takže $R_{24} = (15 - 12 - 0,3) / (50 + 1,67) = 52,25 \Omega$, použijeme 56 Ω , $P_{R24} = R_{24} (I_{RE} + I_{BB})^2 = 149 \text{ mW}$, $R_{25} = (U_{B2} - U_{R24} - U_{BE8}) / I_{BB} = 6,82 \text{ k}\Omega$, použijeme rezistor 6,8 $k\Omega$, $P_{R25} = R_{25} I_{BB}^2 = 18 \text{ mW}$.

Zpoždění při přítahnutí bude asi 1 s, z toho vyplývá, že $C_{11} = t_{\text{př}} / R_{v8}$, kde $R_{v8} = U_{BE8} / I_{BB} = 467 \Omega$, takže $C_{11} = 1 / 467 = 2,14 \text{ mF}$, zaokrouhlíme na 2 mF. $R_{26} = t_{\text{vyb}} / C$ pro $t_{\text{vyb}} = 220 \text{ ms}$, bude $R_{26} = 100 \Omega$ a $P_{R26} = R_{26}^2 t_{\text{vyb}}^2 = 8,2 \text{ mW}$. Pokud používáme zesilovač se symetrickým napájením, je výhodné na výstup

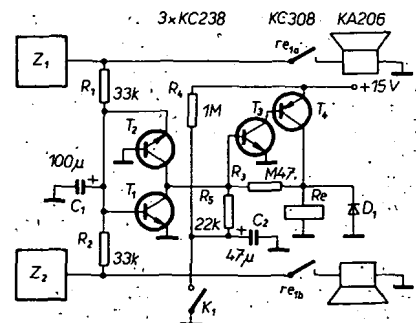


Obr. 10. Ochranný obvod pro zesilovače se symetrickým napájením typu I.

připojit ochranný obvod, který chrání reproduktory před zničením, prorazí-li se výstupní tranzistory. Na obr. 10 je zapojení ochranného obvodu pro zesilovač s diskrétními tranzistory.

Reprodukторový ochranný obvod připíná při zapnutí reproduktory se zpožděním, které je dáno kondenzátorem C_2 a při vypnutí je okamžitě vypíná. Tak odstraníme rušivé jevy, které vznikají při zapínání a vypínání. Stejnosměrné napětí nebo proud, které se objeví na výstupu zesilovače Z_1 , Z_2 , připojí bázi T_3 přes T_1 nebo T_2 na zem a tím odpadne relé Re , které odpojí reproduktor od zesilovače.

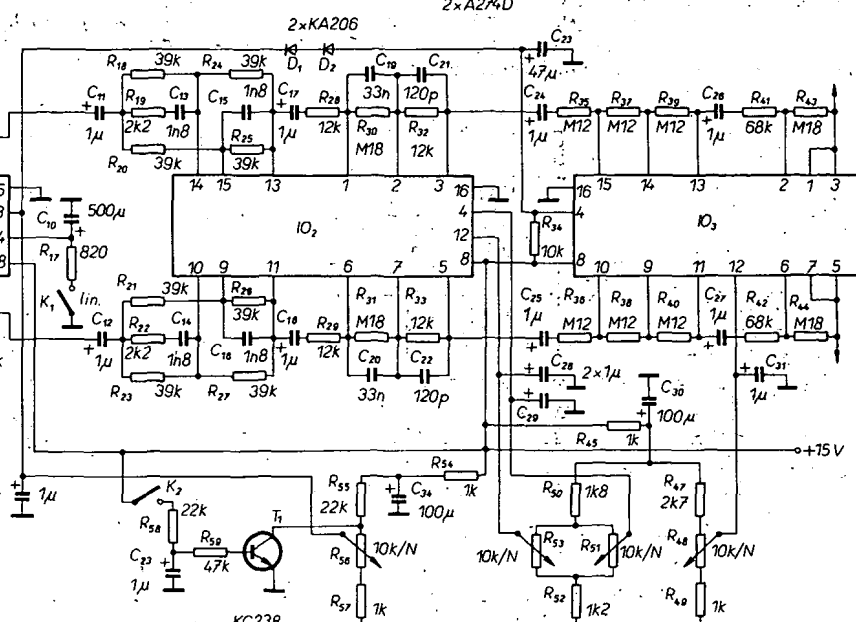
Na obr. 11 je zapojení ochranného obvodu vhodného pro zesilovač s MDA2020. Po zapnutí zesilovače jsou reproduktory od výstupu zesilovače odděleny kontakty relé Re , cílem reproduktory chránění před rázy, které vznikají při ustalování pracovního bodu zesilovače. Relé Re přitáhne přes dvouvstupový



Obr. 11. Ochranný obvod pro zesilovače se symetrickým napájením typu II.

zpoždovací obvod až po 2 s po zapnutí zesilovače a přes spinaci kontakty re_1 a re_2 se připojí reproduktory. Zpoždovací obvod T_3 , T_4 má zavedenu účinnou zpětnou vazbu s R_3 , R_5 , čímž je dosaženo toho, že relé po uplynutí doby zpoždění velmi rychle přitáhne. Při vypnutí zesilovače se před odpojením síťového kontaktu síťového spínače spojí mžikový kontakt K_1 , který je mechanicky spojen se síťovým spínačem a vybije se C_2 . Tím je umožněno, aby relé ihned odpadlo. Vybitím C_2 je zpoždovací obvod ihned po vypnutí provozuschopný pro další funkci, tzn. že i při opakováním zapínání jsou reproduktory chráněny před rázy, které vznikají při zapínání. Při případném výskytu stejnosměrného napětí na výstupu zesilovače, např. při zničení IO , je toto napětí přivedeno přes R_1 , R_2 na T_1 , T_2 , které jsou ovládány polaritou stejnosměrného napětí a přes přechod kolektor-emitor uzemňují bázi T_3 , takže relé ihned odpadne. Tím jsou reproduktory chráněny před zničením nadměrným proudem.

Další stupeň, kterému věnujeme pozornost, je nízkofrekvenční předzesilovač. Na obr. 12 je zapojení nf předzesilovače s IO A273D a A274D, který umožňuje dvoustupňovou regulaci hlasitosti, regulaci vyvážení, regulaci hloubek a výšek a vypnutí fyziologického průběhu regulátoru. Vstupní signál je přes C_1 , R_1 přiveden na první zesilovač v IO A273D. Rezistorem R_3 je nastaven pracovní bod tohotého zesilovače. Z jeho výstupu je signál přes C_4 veden na druhý zesilovač v IO A273D. Jeho základní zisk je dáno poměrem $R_4 : R_6$ a fyziologický průběh je nastaven obvodem $R_5 R_6 R_1 R_3 C_6 C_7$. Při malé hlasitosti jsou zdůrazněny hloubky a výšky a potlačeny střední kmitočty. Dolní kmitočty 2x A274D



Obr. 12. Zapojení předzesilovače s IO A273D, A274D

čet fyziologického regulátoru je, dán $f_0 = 1 : 6,28 R_{15} C_7$. Pro potlačení středního kmitočtu se uplatní R_9 , $R_{11} C_6$ a R_5 a $f_s = 1 : 6,28 (R_9 + R_{11}) C_6$. Na nejvyšších kmitočtech se uplatní R_{11} , C_6 a $f_h = 1 : 6,28 R_{11} C_6$. Regulace hlasitosti je dvoustupňová – první stupeň regulace závisí na napětí na vývodu 13 IO₁ a druhý stupeň na „posunutém“ napětí na vývodu 4 IO₃. Fyziologický regulátor hlasitosti lze vyřadit rozpojením tlačítka (LIN). Obvod balance, který je v IO A273D vestavěn, není v daném zapojení použit, neboť při plné hlasitosti již není účinný. Jinak reče – čím více zvětšujeme hlasitost, tím méně je možné využít kanály zesilovače. Z výstupu IO₁ je přes C₁₁ signál veden na korektor výšek. Zdúraznění výšek je dáno poměrem R₂₄ k R₁₈, R₁₉, C₁₃. Rezistorem R₁₉ je omezeno zdúraznění výšek směrem k nejvyšším kmitočtům. Pokud R₂₄ = R₁₈, pak pro kmitočet výšek platí:

$$f_v = \frac{1}{6,28 C_{13} \sqrt{R_{19}(R_{18} + R_{19})}}$$

$$A_{uv} = \frac{1}{\sqrt{2R_{19}^2 + R_{18}R_{19}}} - 1$$

Potlačení výšek je dáno poměrem impedance R₂₅C₁₅ ku R₂₀. Pro kmitočet platí $f_v = 1 / 6,28 R_{25} C_{15}$ a pro zesílení $A_{uv} = R_{25} / 1,41 R_{20}$. Z výstupu korektoru výšek je signál přes C₁₇ přiveden na korektor hloubek R₂₈R₃₀R₃₂C₂₁C₂₂. Ke zmenšení šumu korektoru je do obvodu hloubek zapojen C₂₁, který potlačuje vyšší kmitočty a tak je zlepšen odstup rušivých signálů. Rezistorem R₃₀ jsou propojeny báze zdrojů proudu v IO₂. Zdúraznění hloubek je dáno poměrem impedance C₁₉R₃₂ ku R₂₈ a platí, že $f_b = 1 : 6,28 C_{19} R_{32}$ a pro zisk $A_{ub} = 1,41 R_{32} / R_{28}$. Potlačení hloubek je dáno poměrem R₃₂ ku R₂₈C₁₉ a $f_b = 1 : 6,28 R_{28} C_{19}$ a zisk $A_{ub} = R_{32} : 1,41 R_{28}$. Při lineárním průběhu je zesílení dáno poměrem R₃₂/R₂₈. Výšky se regulují řídicím napětím z potenciometru R₅₃ a hloubky napětím z potenciometru R₅₁.

Z výstupu IO₂ je signál přes C₂₄ veden na obvod vyvážení. Zisk $A_{uv} = (R_{37} + R_{39}) / R_{35}$ a je v daném případě ± 6 dB. Vyvážení se reguluje napětím z potenciometru R₄₈. Z výstupu obvodu regulace je přes C₂₆ přiveden signál na druhý stupeň regulace hlasitosti, jehož zesílení $A_{uv} = R_{43} / R_{41}$. Napětí pro regulaci je přivedeno z potenciometru R₅₆ přes D₁D₂, které toto napětí posouvají, takže druhý regulátor bude funkční až po regulátoru v IO₁. Počátek regulace druhého regulátoru hlasitosti lze ovlivnit i rezistorem R₃₄. Při dlouhých přívodech od potenciometrů R₄₈R₅₁R₅₃R₅₆ mohou se do tétoho přívodu indukovat

rušivá napětí, která zhoršují odstup rušivých napětí od užitečného signálu. Proto je nutné co nejbliže k vývodům IO pro regulaci připojit C₂₈C₂₉C₃₁C₃₂, které filtrují rušivá napětí. Optimální kapacita je 1 μ F. Při zvětšení této kapacity se zpomaluje regulace, což se projeví zpomalenou reakcí systému. Při použití dálkového ovládání doporučuje výrobce zvětšit tuto kapacitu až na 15 μ F. V daném zapojení je rozsah regulace hlasitosti 90 dB, maximální efektivní vstupní napětí může být až 1 V, jmenovité efektivní napětí je 200 mV a při zisku 0 dB je poměr signál + šum ku šumu asi 80 dB. Předností tohoto zapojení je tedy lepší odstup signál + šum, podstatně lepší regulace vyvážení kanálů zesilovače, menší zkreslení. Jediným jeho nedostatkem je větší počet součástek. Pro přizpůsobení k výkonovému zesilovači je výhodné na výstup zapojit odporový dělič napětí.

Zde bych chtěl upozornit na jednu důležitou skutečnost: Nelze nikdy spojit dva kondenzátory do série bez toho, aniž bychom dali v místě spojení rezistor na zem. Pokud to neuděláme, vznikají napěťové rázy, které se přenesou do reproduktoru.

V zapojení na obr. 12 uzavírá tranzistor T₁, který během jakéhokoli přepínání v zapojení zkratuje řídící napětí pro hlasitost na zem, signál procházející předzesilovačem (squelch). Tranzistor je ovládán mžikovým kontaktem k₂, „svázaným“ s přepínačem. Přes k₂ se nabije C₃₃, který se vybije přes R₅₉ a T₁. Vlastnosti předzesilovače lze ovlivnit návrhem rezistorů R₄₇ až R₅₇, kterými můžeme volit rozsah regulacích napětí. Proud děliče by měl být alespoň 10x větší než proud odebírány z běžecké R₄₈, R₅₁, R₅₃, R₅₆. V daném zapojení je proud tekoucí přes R₄₅ 2,4 mA, takže regulací napětí pro vyvážení je 0,91 až 10 V, pro basy 1,88 až 9,7 V, pro výšky a pro hlasitost 0,44 až 10,14 V. Maximální regulací proud do vývodu 13 IO₁, 4 a 12 IO₂ a 4 a 12 IO₃ je 50 μ A. Vstupní odpor předzesilovače je 470 k Ω a výstupní odpor asi 10 Ω . Doporučený vstupní odpor následujícího zesilovače by měl být min. 5,6 k Ω .

Zlepšenou variantou IO A274D je IO TDA1074A, kterého lze využít jak k regulaci hlasitosti a vyvážení, tak i k regulaci basů a výšek. Zapojení regulátoru basů a výšek s TDA1074A je na obr. 13. Vstupní signál je přes C₁ přiveden na obvod k regulaci výšek, R₁R₅C₂R₂C₃, při zdúraznění se uplatní R₂C₃R₆ a při potlačení

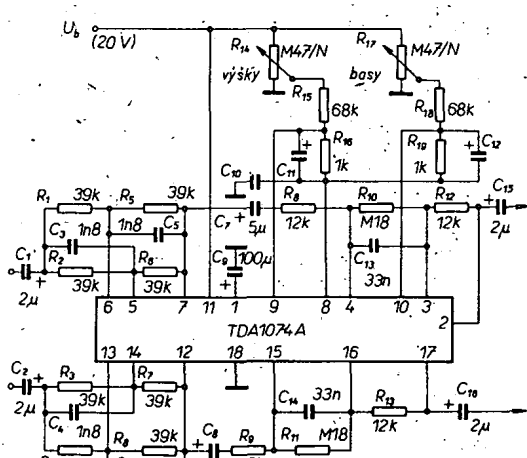
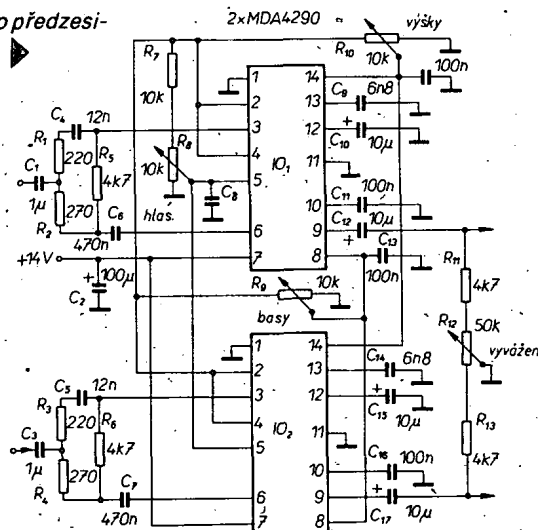
R₁R₅C₅. Dále je signál veden přes C₇ na korektor hloubek, R₈R₁₀R₁₂C₁₃. Potlačení je dáno poměrem impedance R₁₂ ku R₈C₁₃ a zdúraznění hloubek poměrem impedance R₁₂C₁₃ ku R₈. Zafázime-li mezi vstupy 5, 6 (13, 14) a výstup 7 (12) vhodné obvodové členy, lze s tímto obvodem regulovat i hlasitost, nebo využít vstup 3, 4 (15, 16) a výstup 2 (17) k regulaci vyvážení. Integrované obvody A273D, A274D i TDA1074A jsou vhodné pro stereofonní předzesilovače.

Pro monofonní zesilovače je vhodný IO MDA4290. Zapojení se dvěma MDA4290 pro stereofonní zesilovač je na obr. 14. Jedná se o nový typ elektronického potenciometru, který vyžaduje minimální počet vnějších součástek. Do této skupiny IO patří i obvody na obr. 15 až 18.

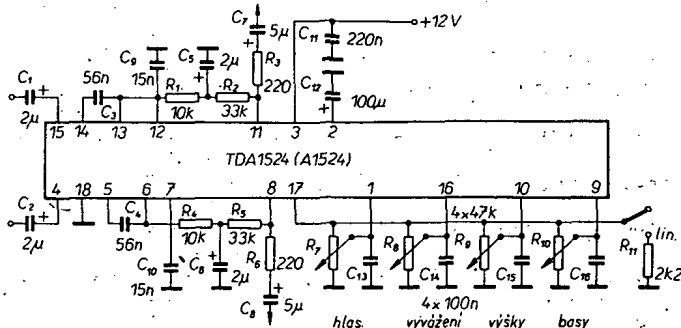
V zapojení na obr. 14 je signál přes C₁ přiveden na obvod fyziologické regulace hlasitosti, R₁R₂C₄R₅C₆. K regulaci hlasitosti je použit potenciometr R₆. Pokud bychom chtěli fyziologický regulátor odpojit, pak je nutno do vývodu 4 IO₁ a IO₂ zapojit spínač. Rozsah regulace hlasitosti je asi 80 dB. Na vývodu 2 IO MDA4290 je zdroj referenčního napětí 4,85 V, který může dodávat proud až 10 mA. Kmitočet regulátoru hloubek lze měnit kondenzátorem C₁₁ na vývodu 10 IO a regulátoru hloubek kondenzátorem C₉ na vývodu 13 IO. Regulační napětí na vývodu regulátoru hlasitosti (vývod 5 IO) je doporučeno 0,51 U₂, na vývodu regulátoru hloubek (vývod 8 IO) je to 0,5 U₂ a na vývodu pro regulátor výšek (vývod 14 IO) je 0,49 U₂. Maximální napětí na vývodech 5, 8, 14 IO smí být shodné s napájecím napětím. Z výstupu je signál veden na regulátor vyvážení do výkonového zesilovače.

Na obr. 15 je zapojení stereofonního předzesilovače s TDA1524 (který má být v NDR vyráběn pod označením A1524D). Vstupní signál je přes C₁ přiveden do zesilovače pro řízení hlasitosti a dále do korektoru výšek a hloubek. Průběh hloubek lze ovlivnit kondenzátorem C₃ a průběh výšek kondenzátorem C₆. Ke zlepšení stability je z výstupu 11 IO na vstup 13 IO zavedena stejnosměrná zpětná vazba R₁R₂C₅. Fyziologický průběh regulátoru hlasitosti lze vypnout spínačem na vývodu 17 IO. Na vývod 17 IO je také vyveden vnitřní stabilizátor, z kterého jsou napájeny potenciometry pro regulaci hlasitosti, vyvážení, výšek a hloubek. Proud do vývodů 1, 9, 10 a 16 IO je maximálně 5 μ A a maximální napětí na těchto vývodech je 1/2 U_B (napájecího napětí). Vstupní odpor

Obr. 14: Zapojení stereofonního předzesilovače s MDA4290



Obr. 13: Zapojení korekčního zesilovače s TDA1074A



Obr. 15. Zapojení předzesilovače s TDA1524 (A1524D)

následujícího zesilovače by měl být min. $4,7 \text{ k}\Omega$. Při plné hlasitosti je zisk obvodu 20 dB, rozsah regulace vyvážení -40 dB, rozsah regulace hlasitosti 100 dB, rozsah regulace hloubek a výšek $\pm 15 \text{ dB}$. Oddělení kanálů je 60 dB a potlačení brumu napájecího zdroje 50 dB. Pro vstupní odpor platí: $R_{\text{vst}} = 160:(1+A_v)$, kde $A_{\text{vmax}} = 12$. Harmonické zkreslení pro vstupní signál do 1,4 V nepřesáhne 0,25 %. Rušivé napětí pro $A_{\text{vmax}} = 0 \text{ dB}$ je 100 μV na výstupu.

Na obr. 16 je zapojení korekčního předzesilovače s IO LM1035, LM1036 fy National Semiconductor. Od předchozího obvodu se tento obvod liší tím, že má dvoustupňovou regulaci hlasitosti, čímž je možné dosáhnout rozsahu regulace až 80 dB. Rozsah napájecích napětí je 8 až 18 V. Oddělení kanálů je 75 dB, potlačení nežádoucích signálů je 80 dB pro vstupní efektivní napětí do 1 V, zkreslení 0,05 % při vstupním efektivním signálu do 1 V a rozsah regulace hloubek a výšek je ± 15 dB. Vstupní signál je přes C₁ přiveden do prvního stupně regulace hlasitosti a rozsahem regulace 15 dB. Fyziologická regulace je zajištěna přivedením napětí na vývod 7 IO. Pokud vývod 7 spojíme s vývodem 17, pak se fyziologická regulace odpojí. Referenční napětí na vývodu 17 je 5,4 V. Spojením vývodu 7 s vývodem 12 se fyziologická regulace hlasitosti zapojí. Na průběh mají vliv kondenzátory C₄ (C₅) a C₉ (C₁₀) nebo lze měnit fyziologickou regulaci obvodem, zapojeným mezi vývod 7 a 12. Pro maximální zdůraznění hloubek platí: $A_{\text{výška}} = 1 + \frac{R_2}{R_1} \cdot \frac{R_4}{R_3} \cdot \frac{R_6}{R_5} \cdot \frac{R_8}{R_7}$. Pro zdůraznění výšky platí: $A_{\text{hloubka}} = 1 + \frac{R_2}{R_1} \cdot \frac{R_4}{R_3} \cdot \frac{R_6}{R_5} \cdot \frac{R_8}{R_7} \cdot \frac{R_9}{R_{10}}$.

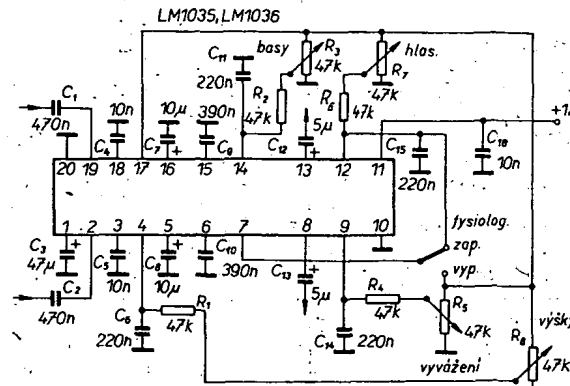
$$\text{platí: } A_{ub} = 1 + \frac{0,00065}{i_{\alpha} C_{\alpha}}. \quad \text{Pro zdůraz-}$$

nění výšek platí $A_{uv} = 1 + j\omega_h 5500 C_4$. Pro maximální potlačení hloubek platí:
 $A_{uh} = 1 - \frac{0,00065}{j\omega_h}$ a pro potlačení výšek

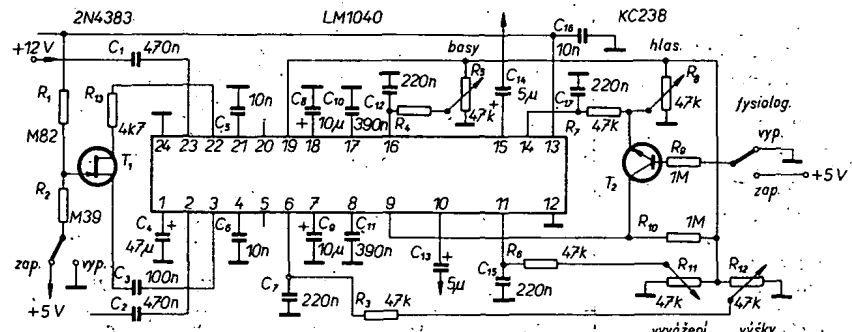
$$A_{ub} = 1 - \frac{1}{j\omega_d C_9} \quad \text{a pro potlačení výsek}$$

$A_{uv} = 1 \cdot (1 + j\omega_n 5500 C_4)$. Pro $C_4 = 10 \text{ nF}$ bude $A_{uv} = 15 \text{ dB}$ při 16 kHz a pro $C_6 = 390 \text{ nF}$ bude $A_{ub} = 15 \text{ dB}$ při 40 Hz . Maximální napětí na vývodech 4, 7, 9, 12, 14 je rovnou napájecímu napětí. Maximální napájecí napětí je 20 V .

Na obr. 17 je zdokonalená verze předchozích dvou obvodů s IO LM1040. Obvod je doplněn obvodem pro rozšíření stereofonního jehu. Ve vstupním regulátoru jsou vyuvedeny emitory vstupních tranzistorů. Při monofonním signálu jsou na emitorech vstupních tranzistorů stejně signály a obvod $R_{13} C_3$, zapojený mezi vývody 3 a 22 IO, se neuplatní. Při stereofonním signálu každý tranzistorový obvod generuje signál, který je fázově shodný se signálem druhého kanálu. Pokud je hlavní signál invertovaný, uplatní se fázový posuv na obvodu $R_{13} C_3$ a zvětší se šířka báze stereofonního signálu. Připojením napětí +5 V na R_2 lze tento obvod sepnout.

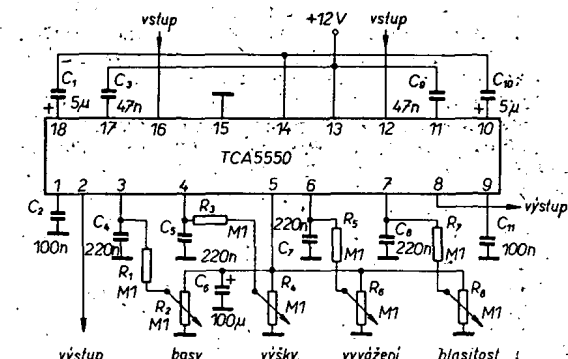


Obr. 16. Zapojení předzesilovače s LM1035, LM1036



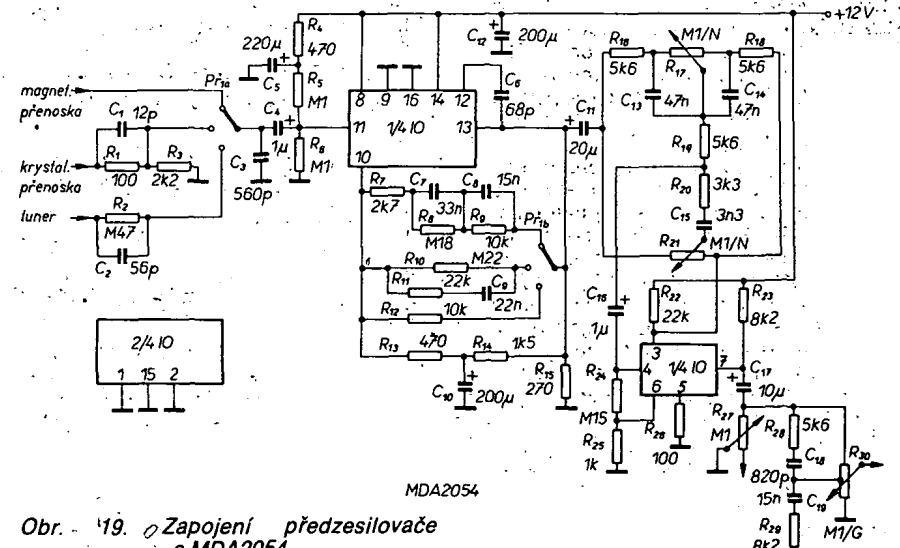
Obr. 17. Zapojení předzesilovače s LM1040

Obr. 18. Zapojení
předzesilovače s
TCA5550



dálkově. T_1 je možné nahradit spínačem při místním ovládání. Fyziologická regulační hlasitosti a regulace hloubek jsou stejně jako u předchozích obvodů LM1035 a LM1036 realizovány kondenzátory C_5 (C_6) a C_{10} (C_{11}). Zapínat a vypínat fyziologii lze tranzistorem T_2 , který lze při místním ovládání nahradit přepínačem.

Na obr. 18 je zapojení korekčního zesi-lovače s IO TCA.5500 fy Motorola. Signá-



Obr. 19. Zapojení předzesilovače s MDA2054

Tab. 4. Parametry A273D, A274D, A1524D, LM1035, LM1036, LM1040, MDA4290, TCA5550

Parametr	TDA1074	A273D	A274D	A1524D	LM1035, 1036	LM1040	MDA4290	TCA5550
Napájecí napětí [V]	7,5 až 23	13,5 až 16,5	13,5 až 16,5	7,5 až 16,5	8 až 18	9 až 16	9 až 16	10,4 až 18
Napájecí proud [mA]	22	26,5	26,5	43	35	35	35	30
Regulační napětí [V]	1 max.	1,8 až 9	1,5 až 9	1 až 4,25	0 až 6	0 až 5,5	0 až 5,5	0 až U_B
Vstupní napětí [mV]	6000 max.	2000 max.	100 až 1700	2000 max.	2500 max.	1600 max.	1600 max.	3000 max.
Vstupní impedance [$\text{k}\Omega$]		250	1000	160 až 10	30	30	30	100
Max. výst. signál [V] při $k = 1\%$	6	2	2	3	2,5	1	1	
Výstupní odpor [Ω]		10	10	300	20	20	200	300
Výstupní proud [μA] řidicího vstupu		15	6	5	2,5	2,5	2,5	4
Rozsah regulace [dB] hlasitosti vyvážení hloubek výšek	$\pm 17,5$ ± 16	0 až -80 +5 až -7	± 16 ± 16	+21,5-80 -40 ±15 ±16	80 +1 ±15 ±15	75 -26 ±15 ±15	75 1 až -26 ±15 ±15	0 až 80 +10 až -70 +3 až -40 ±17 ±14 ±14
Oddělení kanálů [dB]	80	55	70	60	75	75	75	45 min.
Výstupní šumové nap. [μV]	50	35	40	310	25	10	10	30
Signál/šum [dB]	46	67	70	50	40	50	50	70
Potlačení brumu [dB]								
Zkreslení [%], $U_{\text{vyst}} = 300 \text{ mV}$	0,002	0,07	0,07	0,2	0,05	0,06	0,05	0,5
								0,1

proud $I_S = 3 \text{ mA}$. Všechny obvody na obr. 12 až 18 jsou vhodné pro dálkové ovládání, protože je možné je řídit stejnosměrným napětím. Hlavní parametry těchto obvodů jsou uvedeny v tab. 4.

Na obr. 19 je zapojení jednoduchého korekčního předzesilovače s IO MDA2054. Vstupní signál z magnetické přenosky je přiveden přes P_{1a} na vstup první části IO MDA2054. Mezi druhý vstup MDA2054 a jeho výstup je zapojen korekční obvod $R_7R_8C_7C_8$. Pracovní bod druhého vstupu určuje záporná zpětná vazba $R_{14}C_{10}R_{13}$. Pracovní bod prvního vstupu je nastaven obvodem $R_4C_4R_6R_5$. Pro krystalovou přenosku je určen druhý vstup. Vstupní signál je veden přes dělič R_1R_3 na prepinač P_{1a} . V obvodu zpětné vazby je korekční obvod $R_{10} R_{11}C_9$. Z tuneru je signál na P_{1a} , přiveden přes R_2 a zpětná vazba je zavedena přes R_{12} . Kondenzátory C_1, C_2, C_3 slouží k potlačení vysokých kmitočtů a tím zlepšení stability obvodu na vysokých kmitočtech. R_{15} je pracovní odpor výstupu části MDA2054. Z výstupu první části MDA2054 je signál přes C_{11} a korektor výšek, zapojený ve zpětné vazbě, veden na druhý zosilovač MDA2054. Ke korekci výšek slouží obvod $R_{20}C_{15}R_{21}$ a ke korekci hloubek obvod $R_{16}, R_{17}R_{18}C_{13}C_{14}R_{19}$. Na výstupu druhého zosilovače v MDA2054 je připojen regulátor vyvážení R_{27} a fyziologický regulátor hlasnosti $R_{28}R_{29}R_{30}C_{18}C_{19}$.

Na obr. 20 je zapojení korekčního zosilovače s tranzistory. Vstupní signál je přes C_1 přiveden na fyziologický regulátor hlasnosti $C_2 R_1C_3R_2$ a z něho, přes C_4 na emitorový sledovač T_1 , jehož pracovní bod je nastaven rezistorem R_3 . Z T_1 je signál veden na třípásmový korektor, přes $R_5 C_6$. Kondenzátor C_5 potlačuje vysoké kmitočty a zlepšuje stabilitu na výšších kmitočtech. Třípásmový korektor je zpětnovazebního typu, takže je možné použít lineární potenciometry. Obvodem $R_6R_7R_8R_9C_7$ se zdůrazňují nebo potlačují výšky, obvodem $R_{10}R_{11}C_8R_{12}R_{13}C_9$ se korigují střední kmitočty a obvodem $R_{15}, R_{16}C_{10}R_{17}R_{14}$ se korigují hloubky. Pro dobrou funkci musí být korektor napájen

z malé impedance a musí pracovat do velké impedance. R_{18} je zatěžovací odpor korektoru. Dále je signál přes C_{11} veden do zosilovače T_2 , jehož pracovní bod je nastaven $R_{19}R_{20}R_{21}$. Signál je z T_2 veden do emitorového sledovače T_3 , na jehož výstupu je zapojen obvod vyvážení $R_{27}R_{25}R_{26}$.

Pro zajímce je dále uveden návrh třípásmového korektoru. Kmitočet f_B je kmitočet maximálního zdůraznění nebo potlačení hloubek, f_{LB} je kmitočet, od kterého začíná potlačení nebo zdůraznění hloubek, f_S je kmitočet zdůraznění nebo potlačení středního kmitočtu, f_V je kmitočet, od kterého jsou korigovány výšky a f_V je kmitočet maximálního zdůraznění nebo potlačení výšek. A_{UB}, A_{US}, A_{UV} jsou zisky na kmitočtech f_B, f_S, f_V .
 $R_{14}=R_{15}=R_{17}=R_{16}: (A_{UB}-1)$,
 $C_{10}=1:(6,28f_{LB}R_{15})$,
 $f_B=1:(6,28R_{16}C_{10})$,
 $R_6=R_8=(R_{15}+2R_{14}): (A_{UV}-1)$,
 $C_7=1:6,28f_{VB}(R_{15}+2R_{14}+R_6)$,
 $f_V=1:(6,28R_6C_7)$.

Platí tehdy, je-li R_7 větší než $R_6+2R_{14}+R_{15}$.

Střední kmitočet:

$$f_S = \sqrt{\frac{2R_{10} + R_{11}}{(R_{10}R_{11}C_8C_9(R_{15} + R_{14} + 0,5R_{16}))}} : 6,28$$

$$\text{Zesílení } A_{US} = \frac{2R_{10}R_{11}C_8 + (R_{15} + R_{14} + 0,5R_{16})(R_{10} + R_{11})C_9}{2R_{10}R_{11}C_8 + R_{10}C_9(R_{11} + R_{15} + R_{14} + 0,5R_{16})}$$

Jakost Q obvodu bude:

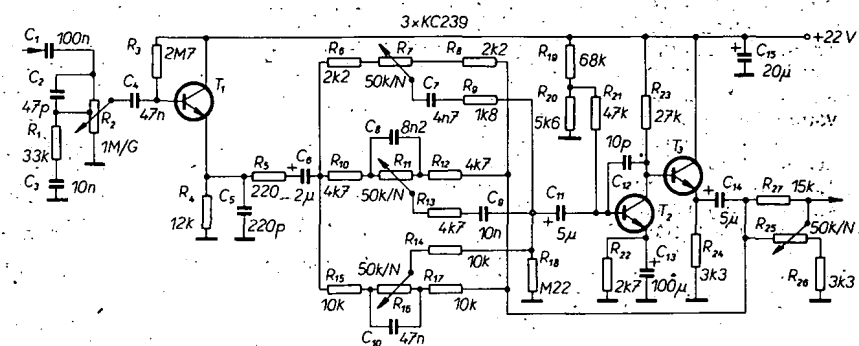
$$Q = \sqrt{\frac{2R_{10} + R_{11}}{R_{10}R_{11}C_8C_9R_{14} + R_{15} + R_{16}/2}} \\ \cdot \left(\frac{R_{11}C_8C_9(R_{14} + R_{15} + 0,5R_{16})}{(R_{10} + R_{11})C_9 + 2R_{11}C_8 + (R_{14} + R_{15} + 0,5R_{16})C_9} \right)$$

Z rovnic můžeme vypočítat zbývající rezistory a kondenzátory.

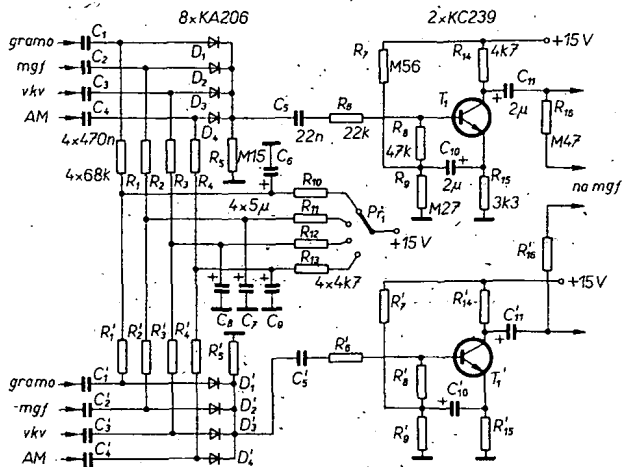
Elektronický přepínač signálů

Dalším funkčním celkem, kterému věnujeme při návrhu pozornost, je elektronický přepínač vstupních signálů. Vstupní signály je možno přepínat buď mechanickým nebo elektronickým přepínačem. Použití elektronického přepínače má oproti mechanickému přepínači tyto výhody:

- Ovládací prvky elektronického přepínače je možné libovolně rozmištít na ovládacím panelu.
- Pro přívod signálu není zapotřebí střílených vodičů, neboť spínací prvky je možné zapojit do signálové cesty.
- Při přepínání nevznikají rušivé signály. Elektronický přepínač je možné ovládat dálkově a je funkčně spolehlivější.



Obr. 20. Zapojení předzesilovače s tranzistory

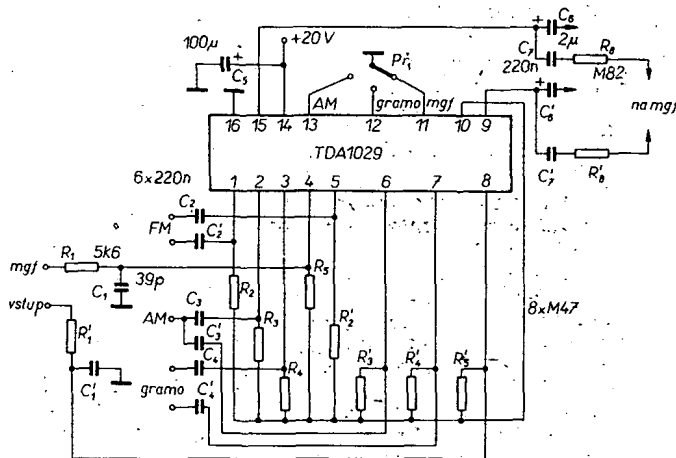


Obr. 21. Zapojení elektronického přepínače vstupů s diodami

4. Pro spinání je možné použít diody, tranzistory, běžné i speciální IO.

Na obr. 21 je zapojení elektronického přepínače pro čtyři vstupní signály, a to: z gramofonu, magnetofonu, přijímače FM, přijímače AM. Vstupní signál z předzesilovače magnetického přenosky je přes C₁, D₁, C₅, R₆ přiveden do báze T₁, z jehož kolektoru je přes C₁₁ veden na vstup korekčního zesilovače a přes R₁₆ na výstup pro nahrávání na magnetofon. Úbytek signálu na diodě je závislý na dynamickém odporu diody. Dynamický odpór diody je určen proudem v propustném směru a tento proud by měl být co největší. Rovněž tak, co největší by měl být zatěžovací odpór R₅, aby zbytečně nebyl zatížen zdroj signálu. Průvod rezistorem R₅ vytvoří na katodách diod D₁ až D₄ úbytek napětí, kterým se uzavřou D₂ až D₄, takže ani náhodný signál z ostatních zdrojů je neotevře. Průvod ze zdroje je veden přes přepínač P_{r1} na oddělovací rezistory R₁₀ a R₁ (R'₁) a přes D₁ prochází vstupní signál k T₁. Rezistor R₁ slouží jako oddělovací a na jeho odporu jsou závislé přeslechy mezi kanály. Kondenzátor C₆ filtryuje spínací napětí a současně spolu s R₁₀ zmenšuje rázy vznikající přepínáním přepínače P_{r1}. Kapacita blokovacích kondenzátorů C₆ až C₉ je kompromisem mezi dobou sepnutí a časovou konstantou náběhu spínacího napětí. Napětí na kátodách diod je v obr. 21 asi 9,8 V, takže proud diodami je asi 0,07 mA. Proud diodou by měl být minimálně tákový, aby dioda pracovala v lineární části charakteristiky diody, neboť jinak se vlivem nonlinearity přechodu zvětšuje zkreslení.

Na obr. 22 je zapojení elektronického přepínače se speciálním IO TDA1029 (K174UN12 - SSSR, TDA1029 - RSR). Vstupní signál ze stereofonního dekódéra je přes C₂ přiveden na vstup 1 IO. IO je sestaven ze šesti operačních zesilovačů se ziskem 1, dvou elektronických přepínačů (propojují vstupní zesilovače se dvěma výstupními operačními zesilovači), řídícího obvodu pro ovládání elektronických spinačů, zdroje předpřístupu a vnitřního napájecího zdroje. IO může pracovat v rozsahu napájecích napětí 6 až 23 V. Vývody 1 (5) jsou spínány přednostně. Výstupní napětí z tuneru AM je přivedeno přes C₃ na vývod 2 IO. Vstup s výstupem se propojí, zmenší se napětí na vývod 13 IO pod 2,1 V. Při přehrávání z magnetofonu je vstupní signál přes R₁, C₁ přiveden na vstup 4 IO. Vstup s výstupem bude propojen, bude-li



Obr. 22. Zapojení přepínače vstupů s TDA1029

napětí na vývodu 11 menší než 2,1 V. Kondenzátorem C₁ se vstupní výběr signál zkratuje na zem, čímž se zlepšuje stabilita na vysokých kmitočtech. Přes C₆ je signál z gramofonu přiveden na vstup 3, který se propojuje s výstupem 15 IO, zmenší-li se napětí na vývodu 12 IO pod 2,1 V.

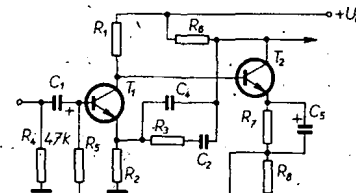
Signál z výstupu 15 IO nebo výstupu 9 IO je veden přes C₆ do korekčního zesilovače a přes C₇, R₆ na výstup pro nahrávání na magnetofon. Z vnitřního zdroje předpříslušenství (vývod 10 IO) je přes R₂ až R₅ přiveden na napětí na jednotlivé vstupy.

Na obr. 23 je zapojení elektronického přepínače vstupů s IO MH2009. Vstupní signál nf je přiveden na vstupy 1 až 4 a přes C₁ až C₄ na kolektory tranzistorů MOSFET v IO. Po připojení záporného řídícího napětí přes P_{r1} na odpovídající řídící elektrodu daného MOSFET je signál přiveden do společného emitoru. Kladným napětím na substrátu (vývod 11) se zvětší útlum nepropustného kanálu asi na 90 dB. Ze společného emitoru (vývod 7) je signál přiveden přes C₆ na emitorový sledovač. Tím je zajištěno navázání s malou impedancí na korekční zesilovač.

Pokud budeme používat magnetickou přenosku, je nutné před elektronickým přepínačem zařadit korekční zesilovač. Zapojení takového předzesilovače s tranzistory je na obr. 24. Vzhledem k tomu, že je to stejnosměrně vázaný zesilovač, je nutné splnit tyto podmínky:

1. Vstupním tranzistorem musí procházet minimální proud, aby šum byl co nejmenší a nezhoršoval odstup signálu od rušivých napětí.

2. Napětí U_{E2} musí být větší než U_{E1} + U_{BE1}, aby nebyl saturován T₁ a také proto, že napětí U_{BE1} je získáno z děliče R₇, R₈.



Obr. 24. Zapojení korekčního zesilovače s tranzistory

Napětí U_{E2} omezuje rozkmit výstupního napětí. Při malém U_{E2} a z něho odvozeném napětí U_{E1} se zhorší stabilita zapojení, neboť se uplatní vliv okolní teploty. Vzhledem k záporné stejnosměrné vazbě přes R₅ volíme U_{E1} = 0,4 V. Pro zesilovač použijeme tranzistory KC239F, jejichž kolektorový proud I_{C1} = 0,1 mA a I_{C2} = 3,5 mA. Odpor R₂ = U_{E1} / I_{C1} a napětí na bázi T₁ bude: U_{B1} = U_{E1} + U_{BE1}. Napětí na kolektoru T₁ by mělo být alespoň 4 V, takže R₁ = (U_R - U_{C1}) / I_{C1}. Pro dobrou stabilitu zesilovače musí I_{B1}, R₅ < U_{B1}, abychom vyloučili "vliv stejnosměrného" zesilovacího činitele B₁ tranzistoru T₁. Pro I_{B1}, R₅ = 0,2 V bude:

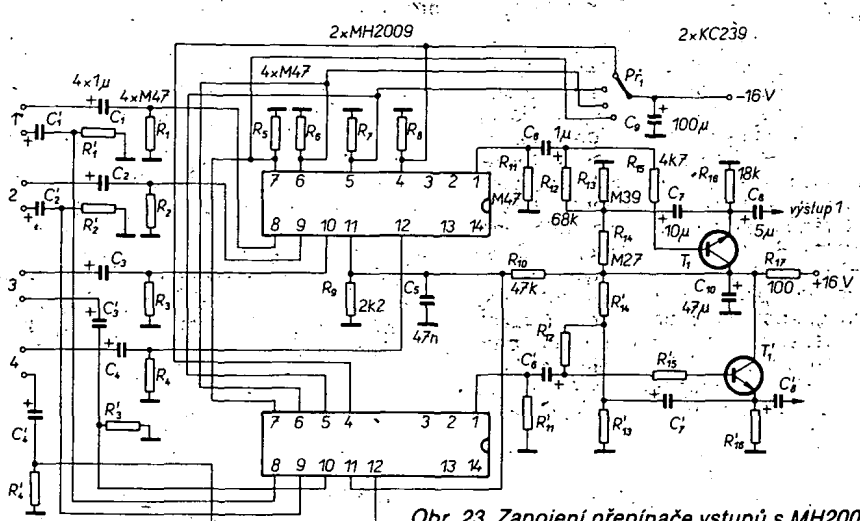
$$I_{C2} R_8 = U_{B1} + I_{B1} R_5, R_8 = (U_{B1} + I_{B1} R_5) : I_{C2},$$

$$R_7 = (U_{C1} - U_{BE2}) : I_{C2} - R_8,$$

$$R_5 = \frac{I_{C2} R_8 - U_{B1}}{I_{C1}} B_{1\min}.$$

Pokud je splněna párka:

$$B_2 B_1 (R_8 + R_2) \frac{R_7 + R_8}{R_1} \gg R_5 (1 + B_2 \frac{R_7 + R_8}{R_1}) + B_1 R_2$$



Obr. 23. Zapojení přepínače vstupů s MH2009

pak kolektorový proud

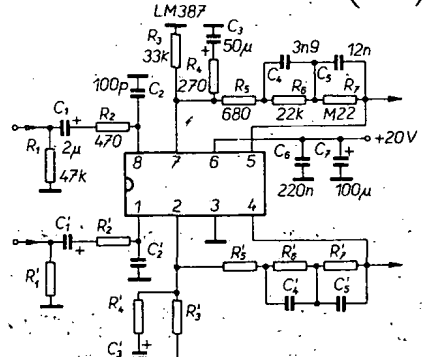
$$I_{C2} = \frac{1}{R_8 + R_2 \frac{R_7 + R_8}{R_1}} \cdot \left[\frac{R_5 + R_2 B_1}{B_1 R_1} (U_B - U_{BE2}) + U_{BE1} \right]$$

Pokud je velký rozdíl mezi vypočítaným a zvoleným I_{C2} , je nutno znova vypočítat odpory rezistorů R_7 , R_8 .

$R_6 = (U_B - U_{CE2} - U_{BE2}) / I_{C2}$, $C_2 = 1 : 6,28 f_d R_3$,
 $R_3 = (U_B R_2 - I_{C2} R_2 R_6 - U_{E1} R_2) : 2 U_{E1}$, $C_4 = 1 : 6,28 f_d R_3$,
 $C_5 = 1 : 6,28 f_d R_7$, $C_1 = 1 : 6,28 f_d R_4$, kde f_d je dolní mezí kmitočet zesilovače,
 $f_2 = 500 \text{ Hz}$ a $f_3 = 2122 \text{ Hz}$ (vyplývají z charakteristiky RIAA).

Na obr. 25 je zapojení korekčního zesilovače RIAA s IO LM387 (BM387, RSR). Rezistory $R_3 R_5 R_6 R_7$ je nastaveno předpětí invertujících vstupů.

$$R_3 \geq 2U_{BE} / 10V_{\text{st}}, \quad R_5 + R_6 + R_7 = R_3 \left(\frac{U_B}{2,6} - 1 \right)$$



Obr. 25. Zapojení korekčního zesilovače s LM387

$$C_4 = 1 : 6,28 f_d (R_5 + R_6 + R_7) \text{ prot } t_1 = 3180 \mu\text{s při } f_1 = 50 \text{ Hz},$$

$$R_7 = 1 : 6,28 f_d C_4 \text{ prot } t_2 = 318 \mu\text{s při } f_2 = 500 \text{ Hz}.$$

Protože minimální vstupní napětí magnetické přenosky je, při citlivosti $1 \text{ mV cm}^{-1} \text{ s}^{-1}$ a při rychlosti 25 cm s^{-1} 25 mV , je pro maximální výstupní efektivní napětí 5 V nutné zesílení na kmitočtu 1 kHz 46 dB . Zesílení je dáné poměrem $(R_4 + R_5 + R_6 + R_7) : R_4$, kde

$$R_4 = (R_5 + R_6 + R_7) / (4f_1 - 1),$$

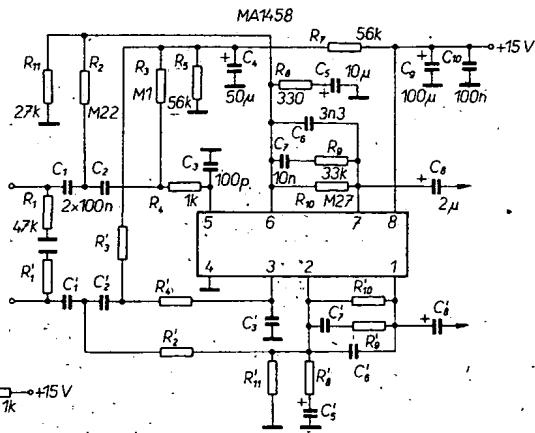
$$R_5 = 10R_4, \quad C_5 = 1 : 6,28 f_d (R_5 + R_6 + R_7),$$

$$\text{kde } f_3 = 2122 \text{ Hz.}$$

Výstup z přenosky je zatižen normovanou impedancí $R_1 = 47 \text{ k}\Omega$. Signál je přiveden přes $C_1 R_2$ na neinvertující vstup IO. Kondenzátor C_2 zkratuje vysoké kmitočty a zlepšuje stabilitu zesilovače. Z výstupu na vstup je zapojena kmitočtově závislá zpětná vazba přes $C_4 R_6$ pro korekci na vysokých kmitočtech a $C_5 R_7$ pro korekci na nízkých kmitočtech. $R_4 C_3$ nastavuje střídavou zpětnou vazbu. Signál z výstupu je veden do elektronického přepínače signálů.

Na obr. 26 je zapojení korekčního zesilovače RIAA s IO MA1458. Výstup z přenosky je zatižen impedancí R_1 . Signál na vstup zesilovače je veden přes článek $C_1, C_2 R_3$, který potlačuje signály kmitočtů pod 20 Hz . Vzhledem k nesymetrickému napájení je nutné nastavit na neinvertujícím vstupu poloviční napětí, které je odebráno z děliče $R_5 R_7$ přes oddělovací rezistory R_3, R_4 . Kondenzátorem C_3 se zlepšuje stabilita na vysokých kmitočtech. Vstupním filtrem jsou potlačeny hluky gramofonu. Záporná zpětná vazba je zavedena z výstupu na vstup přes korekční obvod $C_6 C_7 R_9$. Zesílení na kmitočtu 1 kHz je dáné poměrem R_{10}/R_{11} . Na elektronický přepínač je signál veden

Obr. 26. Zapojení korekčního zesilovače s MA1458



Obr. 27. Zapojení oddělovacího stupně pro vstup magnetofonu

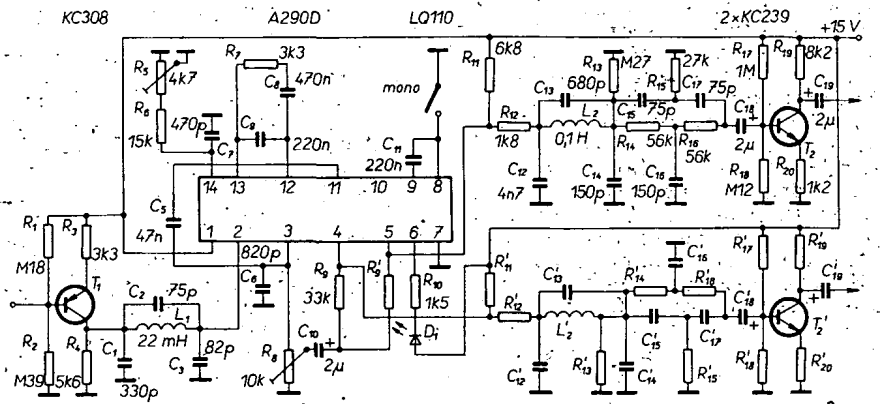
přes C_8, R_5, R_7 musí být shodné s přesností 1 %.

Pro připojení magnetofonu při přehrávání slouží emitorový sledovač na obr. 27. Vstupní signál je přes $C_1 R_1$ veden do báze T_1 , C_3 potlačuje vysoké kmitočty a zlepšuje stabilitu zapojení. Děličem $R_4 R_5$ je nastaveno předpětí báze T_1 . Signál je odebrán z děliče $R_6 R_7$ přes C_5 :

Stereofonní dekodér

Ve standardním rozhlasovém stereofonním signálu MPX, který dostaneme po detekci detektorem FM, je obsažena jak součtová složka pravého a levého kanálu (monofonní signál), tak i složka rozdílová (stereofonní informace) ve tvaru signálu DSB-AM s potlačenou pomocnou nosnou 38 kHz a také signál pilotního kmitočtu 19 kHz , který je ve fázi s pomocnou nosnou. Při dekódování signálu MPX musí stereofonní dekodér oddělit signál pilotního kmitočtu ze signálu MPX, regenerovat pomocnou nosnou 38 kHz , demodulovat rozdílovou složku pomocné nosné, oddělit kanály pomocí součtu a rozdílu (maticový princip). Maticový princip oddělování kanálů dovoluje použít princip fázové smyčky (dále PLL).

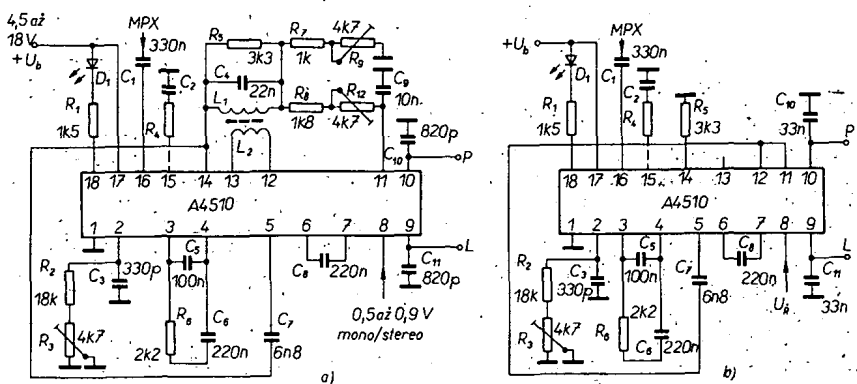
Poznámka: Sovětské rozhlasové přijímače používají dekodéry pro polaritní systém, které nejsou schopny zpracovat informaci vysílanou v multiplexním provozu.



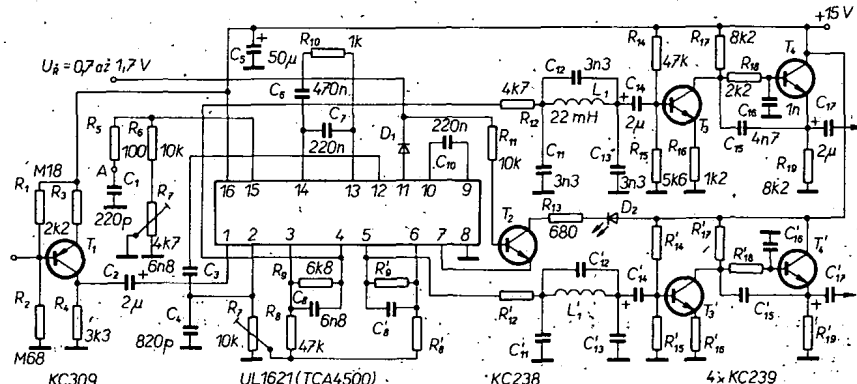
nastavujeme potenciometrem R_5 a dalšího zvětšení přeslechu lze dosáhnout potenciometrem R_8 . Pracovním odporem pro výstup IO je rezistor R_{11} . Signál je veden dále přes R_{12} na filtr $L_2C_12C_{13}C_{14}$, kterým jsou potlačeny zbytky signálu pilotního kmitočtu 19 kHz. Tento filtr lze vypočítat podobně jako filtr $L_1C_1C_2C_3$, ale $f_0 = 15$ kHz. Filtr je proti prvnímu filtru nesymetrický, takže při výpočtu C_{12} uvažujeme $R = R_{11} + R_{12}$ a při výpočtu C_{14} bude $R = R_{13}$; R_{13} je zakončovací rezistor filtru. Za filtrem 19 kHz následuje filtr typu dvojité T pro potlačení 38 kHz $R_{14}C_{16}R_{16}C_{15}C_{17}$. Z výstupu filtru 38 kHz je signál veden do oddělovacího zesilovače s T_2 přes C_{18} a z něho přes C_{19} na elektronický přepínač vstupů.

Velmi podobnou strukturu jako IO A290D má i stereofonní dekodér A4510D z NDR. Tento obvod je určen především pro přenosné přijímače. Od obvodu A290D se liší hlavně možností v deemfázě a plynule říditelným přechodem mezi „mono“ a „stereo“. Deemfáze L-P probíhá ještě před demodulací. Vstupní signál MPX může být fázově kompenzován obvodem RC na vývodu 15 IO. Při kmitočtovém multiplexním provozu se oddělují signály (L-P a L+P) obvodem RC a zatímněným laděným obvodem, zapojeným mezi vývody 11 a 14, při časovém multiplexním provozu se signály nerozdělují. Signál L-P může být zeslabován řídicím napětím 0,5 až 0,9 V, přiváděném na vývod 8. Při malém napájecím napěti (méně než 5 V) je signál L-P automaticky potlačen. Při kmitočtovém multiplexním provozu se z rozdílového a součtového signálů získávají signály 2P nebo 2L. Při časovém multiplexním provozu je na výstupu při nutné připojit kondenzátory pro deemfázi. Vnitřní oscilátor je synchronizován signálem pilotního kmitočtu přivedeným na vývod 5 přes detektor fáze. Pilotním signálem je přes detektor pilotního signálu řízen spínač „stereo“. Na jeho výstup je připojena dioda D_1 k indikaci přítomnosti pilotního signálu, která se rozsvítí při úrovni pilotního signálu 10 mV. Odpojíme-li indikátor „stereo“ od napájecího napětí, oscilátor VCO přestane kmitat a obvodem řízení „mono-stereo“ se potlačí signál L-P, čímž se zmenší odběr proudu ze zdroje. Není-li na vývod 8 připojeno řídící napětí, můžeme na tomto vývodu řídit kmitočet oscilátoru VCO (228 kHz). Zapojení pro kmitočtový multiplexní provoz je na obr. 29a a pro časový multiplexní provoz na obr. 29b.

Intermodulační signály, které vznikají smísením lichých harmonických pomocně nosné 38 kHz, vedle výrobce IO k tomu, že zvýšil kmitočet vnitřního oscilátoru na 228 kHz. První představitel této nové generace stereofonních dekodérů je IO TCA4500A, vyrobený firmou Motorola, který pod označením UL1621N vyrábí i PLR. Kmitočet 228 kHz je pro získání kmitočtů 38 a 19 kHz dělen dělicem 1 : 6 a dále 1 : 2. Na obr. 30 je zapojení dekodéru stereofonního signálu s IO UL1621N a pomocnými obvody. Vstupní signál je nejdříve zesílen v T_1 a z jeho kolektoru přichází přes C_2 na vstup IO. Z výstupu předzesilovače (vývod 2 IO) je signál veden přes C_3 na vstup detektora fáze, detektoru pilotního signálu a dekodéru MPX. Na výstup předzesilovače je zavedena přes $R_4R'_4$ a R_7 část výstupního napětí, kterou lze kompenzovat dodatečné přeslechy. Kondenzátorem C_4 jsou odfiltrovány vysokofrekvenční signály a tak zlepšena stabilita zapojení. Mezi výstupy zesilovačů za dekodérem (vývody



Obr. 29. Stereofonní dekodér s A4510D: a) kmitočtový multiplexní provoz, b) časový multiplexní provoz



Obr. 30. Zapojení stereofonního dekodéru s UL1621N (TCA4500)

3, 4, 5, 6 IO) jsou zapojeny pracovní rezistory $R_9R'_9$, které spolu s C_8, C_9 tvoří obvod deemfáze. Z výstupu (vývody 4, 5 IO) je dekompenzovaný signál veden přes R_{12} na filtr $L_1C_1C_{12}C_{13}$, který potlačuje signál 19 kHz, a dále přes C_{14} na aktivní filtr $T_3T_4C_{15}C_{16}R_{18}$. Z emitoru T_4 jde signál přes C_{17} na přepínač vstupů. Na detektor pilotního signálu je připojena dolní propust s C_{10} a Schmittův klopný obvod se stereofonním spínačem, na jehož výstup (vývod 7 IO) je připojen T_2 , kterým je spinána svitivá dioda D_2 , indukující pilotní signál. Napětím přivedeným na vývod 11 IO je možné v závislosti na síle signálu řídit přeslechy mezi kanály. Na výstupu detektoru fáze je připojena dolní propust $C_6C_7R_{10}$ a za ní ss. zesilovač, který řídí oscilátor VCO, jehož kmitočet 228 kHz je nastaven obvodem $R_5R_6R_7C_1$. Trimrem R_7 se nastavují základní přeslechy mezi kanály.

Zisk dekodéru můžeme měnit v rozmezí 0 až 6 dB a to změnou $R_9R'_9$. Zároveň musíme měnit i C_8C_9 . Požadujeme-li zisk -0 dB, pak $R_9 = R'_9 = 5,1 \text{ k}\Omega$ a $C_8 = C_9 = 10 \text{ nF}$. Rezistory $R_8R'_8$ jsou použity ke korekci výstupního klidového napětí. Pro zisk 3 dB bude $R_9 = R'_9 = 6,8 \text{ k}\Omega$, $R_8 = R'_8 = 47 \text{ k}\Omega$ a $C_8 = C_9 = 6,8 \text{ nF}$, pro zisk 6 dB je $R_9 = R'_9 = 10 \text{ k}\Omega$, $R_8 = R'_8 = 27 \text{ k}\Omega$ a $C_8 = C_9 = 4,7 \text{ nF}$.

V bodu A je možné kontrolovat signál o kmitočtu 228 kHz čítačem, připojeným přes kondenzátor s kapacitou menší než 300 pF. Ze „stereo“ na „mono“ se dekodér přepne po uzemnění vývodu 9 IO, čímž se vyřadí z činnosti VCO. Pro použití v autopřijímačích (malá úroveň pilotního signálu) je nutno dekodér upravit: $R_6 = 12 \text{ k}\Omega$, $R_{10} = 1,5 \text{ k}\Omega$, $R_5 = 330 \Omega$, $R_7 = 10 \text{ k}\Omega$, $C_1 = 150 \text{ pF}$, $C_6 = 330 \text{ nF}$ a $C_7 = 150 \text{ nF}$.

Mezipřekvěnní zesilovač pro FM

V současných přijímačích třídy hifi jsou mf zesilovače pro FM osazovány integro-

ványmi obvody. Tyto IO je možné rozdělit do tří skupin podle počtu doplňkových funkcí:

- zesilovače bez doplňkových funkcí - TBA120 (=A220D), A223D, A224D;
- zesilovače se šumovou bránou, S-metrem, indikátorem rozladění a obvodem ADK-CA3089, UL1200N (PLR), UL3089 (MLR), TDA4100, A4100 (NDR);
- mf zesilovače se šumovou bránou, S-metrem, indikátorem rozladění a vypínačem ADK-CA3189, BA3189 (RSR), TDA1576, TDA1047, A225D (NDR).

U mf zesilovačů pro FM jsou v současné době požadovány doplňkové funkce, jako je vývod pro měření citlivosti (S-metr), výstup ADK, vypínání ADK, šumová brána apod. Proto jsou v moderních kvalitních přijímačích používány obvody jako je CA3189, TDA1047, TDA1576, TDA4100 apod.

Před omezovačem a detektorem FM s IO bývá zařazen obvykle jedno- nebo dvoutranzistorový předzesilovač s keramickým filtrem soustředěně selektivity. Při návrhu filtru soustředěné selektivity je nutné znát šířku propouštěného pásmá. Rozborém, který je uveden dále, lze dokázat, že mezi potřebnou šířkou pásmá pro monofonní a stereofonní provoz není podstatného rozdílu a že je pro zkreslení 1 % nf výstupního signálu rovna 210 kHz.

Základní vlastnosti kmitočtové modulovaného signálu

Při kmitočtové modulaci se tvar signálu přenáší okamžitou změnu kmitočtu přenášených kmití, kdežto amplituda kmití zůstává konstantní. Při modulaci sinusovým signálem má kmitočtově modulovaný signál tvar:

$$u(t) = U_0 \sin(\omega_0 t + m \sin \omega_1 t) \quad (1)$$

kde U_0 je amplituda nosné vlny,

ω_0 kmitočet nosné vlny,

ω_1 kmitočet modulační vlny,

m modulační index ($m = \Delta f/f_1$),

Δf kmitočtový zdvih.

Signál určený výrazem (1) může být vyjádřen ve tvaru:

$$u(t) = U_0 [J_0(m) \sin \omega_0 t + J_1(m) [\sin(\omega_0 + \omega_1)t - \sin(\omega_0 - \omega_1)t] + J_2(m) [\sin(\omega_0 - 2\omega_1)t + \sin(\omega_0 - 2\omega_1)t] + \dots + J_n(m) [\sin(\omega_0 + n\omega_1)t + (-1)^n \sin(\omega_0 - n\omega_1)t]] \quad (2)$$

kde $J_n(m)$ je Besselova funkce prvního druhu n ého rádu s argumentem m . Kmitočty obsažené ve výrazu (2) jsou:

$$\omega_0, \omega_0 \pm \omega_1, \omega_0 \pm 2\omega_1, \dots$$

První složka ve výrazu (2) je obdobná nosnému kmitočtu amplitudově modulovaných kmitů s tím rozdílem, že amplituda závisí na velikosti modulačního indexu. Druhá dvojice kmitů odpovídá postranním signálům, získaným při amplitudové modulaci, avšak liší se od nich tím, že:

1. Amplitudy těchto složek se mění přímo úměrně s modulačním napětím jen tehdy, je-li modulační index malý. Ostatními složkami jsou postranní pásmá vyšších rádů, která nejsou přítomna v amplitudově modulovaných signálech. Tyto složky způsobují při dostatečné velikosti amplitudy rozšíření potřebného kmitočtového pásma pro přenos signálů ve srovnání s amplitudovou modulací.

Amplitudy jednotlivých kmitočtových složek závisí na velikosti modulačního indexu m a mohou být určeny z tabulek Besselových funkcí. Je-li modulační index menší než 0,5, jsou postranní kmitočty druhého a vyššího rádu poměrně malé a kmitočtové pásmo potřebné k přenosu kmitočtově modulovaného signálu bude stejně jako u amplitudové modulace. Je-li modulační index větší než 1, budou amplitudy kmitočtových složek značně a kmitočtové pásmo se jejich vlivem rozšířuje. Vzdálenosti mezi kmitočty postranních složek se rovnají modulačnímu kmitočtu.

Nemění-li se modulační kmitočet sinusově, ale podle nějaké složitější křivky, dostáváme složité kmitočtové spektrum. Při dvou modulačních kmitočtech se sinusovým průběhem a modulačními indexy m_1 a m_2 budou v modulovaných kmitočtových složkách uvedené v tab. 5. Obecně můžeme vzniklé složky napsat ve tvaru:

$$\omega_0 \pm p\omega_1 \pm r\omega_2 \quad (3)$$

a příslušné amplitudy těchto složek, vzhledem k nemodulované nosné vlně, budou:

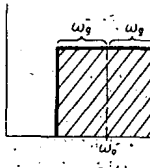
$$U_{p,r} = J_p(m_1) J_r(m_2),$$

kde $p, r = 0, 1, 2, 3, \dots$. Jak je zřejmé z tab. 5, vzniknou kromě signálů základních kmitočtů vlivem každého jednotlivého modulačního napětí i všechny možné signály kombinačních kmitočtů s amplitudami úměrnými součinu Besselových funkcí, jejichž rád je roven rádu kombinačních kmitočtů. Ačkoliv modulace složitým akustickým signálem zvětšuje počet kmitočtových složek v kmitočtově modulované vlně, nerozšíru-

je přesto kmitočtové pásmo, zaujímané základní energií vlny. Při rozložení modulace mezi několik modulačních kmitočtů a za předpokladu, že maximální kmitočtový zdvih je konstantní, má energie vlny snáhu se soustředit v užším pásmu než při prosté modulaci se stejným kmitočtovým zdvihem. Potřebné kmitočtové pásmo se pak přibližně rovná dvojnásobku maximálního kmitočtového zdvihu nebo dvojnásobku modulačního kmitočtu, podle toho, který je z nich větší.

Určení potřebné šířky pásmá při monofonním a stereofonním provozu

S ohledem na selektivitu a citlivost přijímače je nutno omezit přenos kmitočtového modulovaného spektra v mf zesilovači na nejdůležitější postranní pásmá kolem středního kmitočtu f_0 . Tímto omezením ovšem vzniká nelineární zkreslení. Pokud útlumová kmitočtová charakteristika mf zesilovače bude symetrická kolem středního kmitočtu f_0 , potom nelineární zkreslení bude převážně kubického charakteru. Předpokládejme, že při modulaci sinusovým signálem projdou bez útlumu všechny složky kmitočtového spektra až do těchto rádu a vyšší složky budou potlačeny. To znamená, že ideální útlumová charakteristika mf zesilovače bude mít pravouhlý tvar se středním kmitočtem ω_0 a mezními kmitočty $\omega_0 \pm \omega_g$, kde $\omega_g = n\omega_1$ (obr. 31).

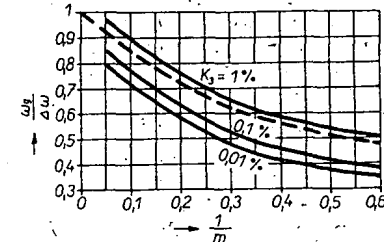


Obr. 31. Kmitočtová útlumová charakteristika ideálního mf zesilovače.

Pro činitel zkreslení lze početně odvodit vztah:

$$k_3 = \frac{6}{m} J_{n-2} J_{n+1} + J_{n-1} J_{n+2} + J_m J_{n+3}. \quad (4)$$

Řešením této rovnice pro $f_1 = 15$ kHz, $f_2 = 75$ kHz, $m = 5$ obdržíme pro zkreslení menší než 1 % požadavek, aby útlumová charakteristika mf zesilovače zaručila průchod kmitočtových složek až do sedmého rádu bez útlumu. To znamená, že celková šířka pásmá B musí být $2.7.15 = 210$ kHz. V tab. 6 jsou poměrné amplitudy, vzhledem k nemodulované nosné vlně, $\text{prom} = 5$. Z tabulky je patrné, že pro zkreslení menší než 1 % můžeme zanedbat ty složky, jejichž amplituda je menší než 2 %, tj. složky počínají osmým párem. Na obr. 32 je uvedeno řešení rovnice (4) v závislosti na modulačním



Obr. 32. Závislost zkreslení na modulačním indexu a poměru ω_0/ω_g

Tab. 6. Poměrné amplitudy spektrálních složek

Spektrální složky	Amplituda
Nosná	0,1776
První	0,3276
Druhý	0,0466
Třetí	0,3648
Ctvrtý	0,3912
Pátý	0,2611
Šestý	0,1310
Sedmý	0,0534
Osmý	0,0184

indexu m a poměru $\Delta\omega/\omega_g$. Čárkovaná křivka odpovídá známému vztahu pro nutnou šířku pásmá

$$\omega_g = \Delta\omega + 2f_{\max} \quad (5)$$

nebo v běžnějším tvaru

$$B = 2(\Delta\omega + 2f_{\max}) \quad (6)$$

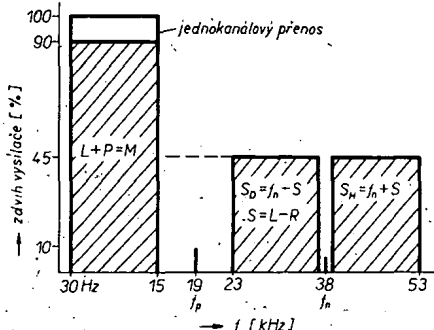
Pro $f_{\max} = 15$ kHz a $\Delta\omega = 75$ kHz bude $B = 210$ kHz. Z rovnice (6) tedy vyplývá, že pro kvalitní přenos ($k_3 < 1\%$) je potřebná šířka pásmá mf zesilovače při monofonním provozu 210 kHz.

Před stanovením potřebné šířky pásmá při stereofonním provozu si všimneme základních vlastností vysokofrekvenčního stereofonního přenosu:

1. Hlavní modulační kmitočet tvoří součet levého a pravého kanálu stereofonního signálu (tzv. kanál M).
2. Pilotní signál 19 kHz se stabilitou ± 2 Hz moduluje nosnou vlnu na 8 až 10 % plného kmitočtového zdvihu.
3. Pomocná nosná vlna má kmitočet druhé harmonické kmitočtu pilotního signálu a je s ním ve fázi.
4. Pomocná nosná vlna je modulována amplitudově a její kmitočet 38 kHz musí být za modulátorem potlačen tak, aby nemoduloval hlavní nosnou vlnu více než na 1 % celkového kmitočtového zdvihu.
5. Modulační kmitočtem pro pomocnou nosnou vlnu je rozdílový signál pravého a levého akustického kanálu (tzv. kanál S) se šířkou přenášeného kmitočtového pásmá 30 Hz až 15 kHz. Použité obvody preemfáze mají časovou konstantu 50 μ s. Součtový signál má stejný kmitočtový rozsah a stejnou časovou konstantu preemfáze jako signál rozdílový.
6. Obě postranní pásmá pomocně nosné vlny mohou modulovat hlavní nosnou vlnu na 45 % celkového kmitočtového zdvihu, je-li nf modulace jen v jednom kanálu. Celkový kmitočtový zdvih vysílače od součtové a rozdílové složky může být maximálně 90 %.
7. Amplitudová charakteristika hlavního kanálu musí souhlasit s pomocným kanálem (kanálem S) včetně preemfáze

Tab. 5. Kmitočtové složky kmitočtově modulovaného signálu

Druh složky	Kmitočet	Poměrná amplituda
Nosná vlna	ω_0	$J_0(m_1) \cdot J_0(m_2)$
Jednoduché postranní signály, jejichž kmitočet je tvořen násobky modulačního kmitočtu ω_1	$\omega_0 \pm \omega_1$ $\omega_0 \pm 2\omega_1$	$J_1(m_1) \cdot J_0(m_2)$ $J_2(m_1) \cdot J_0(m_2)$
Jednoduché postranní signály, jejichž kmitočet $\omega_0 - \omega_2$ je tvořen násobky modulačního kmitočtu ω_2	$\omega_0 \pm \omega_2$ $\omega_0 \pm 2\omega_2$	$J_0(m_1) \cdot J_1(m_2)$ $J_0(m_1) \cdot J_2(m_2)$
Kombinační kmitočty	$\omega_0 \omega_1 \pm \omega_2$ $\omega_0 - \omega_1 \pm \omega_2$ $\omega_0 + \omega_1 \pm \omega_2$ $\omega_0 - \omega_1 \pm \omega_2$ $\omega_0 + \omega_1 \pm \omega_2$ $\omega_0 - 2\omega_1 \pm \omega_2$	$J_1(m_1) \cdot J_1(m_2)$ $J_1(m_1) \cdot J_2(m_2)$ $J_1(m_1) \cdot J_2(m_2)$ $J_2(m_1) \cdot J_1(m_2)$ $J_2(m_1) \cdot J_1(m_2)$ $J_2(m_1) \cdot J_2(m_2)$



Obr. 33. Kmitočtové spektrum multiplexního signálu

na $\pm 0,3$ dB. Fázová odchylka smí být maximálně $\pm 3^\circ$. Při dodržení těchto parametrů se povídaje 29,7 dB za minimální úroveň přeslechů v celém přenášeném pásmu od 30 Hz do 15 kHz.

8. Požadavky na zkreslení jsou stejné jak pro kanál M, tak i S. Zkreslení celého řetězce od studia po vysílač nesmí přesáhnout 3,5 % v pásmu 50 až 100 Hz, 2,5 % mezi 100 Hz až 7,5 kHz a 3 % v rozsahu 7,5 až 15 kHz.

Kmitočtové spektrum multiplexního signálu je na obr. 33, na vodorovné ose je modulační kmitočet a na svislé kmitočtový zdvih vysílače. Zdvihy signálů M, S₀ a S_H na tomto obrázku je třeba chápát tak, že jsou to maximální zdvihy, kterých může být dosaženo, nikdy však současně, aby nebyl přebuzen vysílač. Zdvihy se doplňují vždy tak, že jejich součet spolu s pilotním signálem může být maximálně 100 %. Pro vysvětlení zdvihových poměrů si uvedeme charakteristické případy:

a) Maximální signál je přenášen jen v kanálu L, tedy P = 0. Je to extrémní případ v stereofonii, kdy se akustický zdroj nachází v nejkrájnější poloze, takže maximální modulace bude pouze v jednom kanálu, např. levém. Nf modulační kmitočet budeme uvažovat maximální, f₁ = 15 kHz. V kanálu M bude tedy obsažen signál o kmitočtu f₁ = 15 kHz a v kanále S signál o kmitočtech f₂ = 23 kHz a f₃ = 53 kHz. Příslušné modulační kmitočty a zdvihy (pro $\Delta f = 75$ kHz) jsou v tab. 7.

b) Ve druhém případě budeme uvažovat, že přenášíme signál odpovídající středu akustické scény, kdy L = P, pak signál M bude způsobovat zdvih až 90 %, kdežto obě postranní pásmá zmizí, neboť S = 0.

c) Nakonec si všimněme extrémního případu, kdy v obou kanálech bude signál shodný, ale bude mít opačnou polaritu, tedy L = -P. Pak signál M = 0 a obě postranní pásmá S₀ a S_H budou modulovat vysílač až na 90 % zdvihu. Vzhledem k tomu, že je příjem jen signál S a přenos se uskuteční jen dvěma postranními pásmeny, je tento případ důležitý při měření kanálu S a při zjištění rušení z kanálu S do kanálu M. Při skutečném stereofonním provozu nemůže tento případ nastat, vzhledem k tomu, že nepřítomnost kanálu M je v rozporu se sluchátkostí, neboť na monofonním přijímači by nebyl zajistěn příjem.

Z předchozího můžeme tedy odvodit potřebnou šířku v frekvenci pro stereofonní provoz. V literatuře se setkáváme s požadavkem od 150 do 350 kHz. Pro dobrý stereofonní přenos s přeslechem 30 dB je potřebná šířka pásmá $B = 200$ kHz. Dosažitelné přeslechy nejsou ovšem jediným parametrem, který by určoval potřebnou šířku pásmá, neboť přeslech je možné

Tab. 7. Poměrná amplituda pro modulační index a zdvih

f	Zdvih [%]	Zdvih [kHz]	Modulační index	J ₀ (m)	J ₁ (m)	J ₂ (m)	J ₃ (m)
f ₁	45	34	m ₁ = 2,27	0,172	0,545	0,400	0,170
f ₂	22,5	17	m ₂ = 0,74	0,868	0,345	0,070	0,009
f ₃	22,5	17	m ₃ = 0,32	0,975	0,158	0,012	0,001

kompenzovat v obvodu stereofonního dekodéru. Naopak zkreslení vzniklé v mf zesilovači již nelze vykompenzovat. Proto stejně jako při monofonním přenosu je i při stereofonním přenosu šířka pásmá závislá na požadovaném zkreslení.

Při dalších výpočtech budeme uvažovat extrémní případ, kdy se akustický zdroj nachází v nejkrájnější poloze, takže maximální modulace bude pouze v jednom kanálu, např. levém. Nf modulační kmitočet budeme uvažovat maximální, f₁ = 15 kHz. V kanálu M bude tedy obsažen signál o kmitočtu f₁ = 15 kHz a v kanále S signál o kmitočtech f₂ = 23 kHz a f₃ = 53 kHz. Příslušné modulační kmitočty a zdvihy (pro $\Delta f = 75$ kHz) jsou v tab. 7.

Na rozdíl od monofonního přenosu, kde je pouze jeden modulační kmitočet, je při stereofonním přenosu nutno vzít do úvahy tři modulační kmitočty, f₁, f₂, f₃ (pro zjednodušení zanedbáme přítomnost signálu pilotního kmitočtu). Při kmitočtové modulaci třemi kmitočty vzniká složité kmitočtové spektrum a vzniklé složky můžeme psát ve tvaru:

$$6,28 (f_0 \pm pf_1 \pm rf_2 \pm sf_3) \quad (7),$$

kde p, r, s = 0, 1, 2, 3, ..., a f₀ je nosná vlna. Příslušné amplitudy složek ve vztahu k nemodulované nosné vlně budou:

$$U_{p,r,s} = J_0(m_1) \cdot J_1(m_2) \cdot J_s(m_3) \quad (8)$$

Stejně jako při monofonním provozu budeme uvažovat, že pro kvalitní přenos postačí složky, jejichž amplituda je větší než 2 %. Rozborem vztahů (7) a (8) zjistíme, že rozhodující složka, kterou ještě musíme brát do úvahy, je ve tvaru:

$$2f_1 + f_2 + f_3 = 2 \cdot 15 + 23 + 53 = 106 \text{ kHz}$$

která má aplikační:

$$J_2(2,27) \cdot J_1(0,74) \cdot J_1(0,32) =$$

$$= 0,4 \cdot 0,35 \cdot 0,16 = 0,0224 = 2,24 \%$$

Mezní kmitočty určující potřebnou šířku pásmá jsou: f₀ = f₀ ± 106 kHz a celková potřebná šířka pásmá B bude tedy $B = 2 \cdot 106 \text{ kHz} = 212 \text{ kHz}$.

Při porovnání obdrženého výsledku s požadovanou šířkou pásmá pro monofonní provoz můžeme být na první pohled překvapeni. V obou případech, a to jak při monofonním, tak i stereofonním přenosu, je potřebná šířka pásmá stejná (210 kHz a 212 kHz). Tento výsledek je však logický důsledek tomu, že při monofonním provozu jsme uvažovali pouze jeden modulační kmitočet, kdežto při stereofonním provozu musíme uvažovat tři modulační kmitočty. Jak již bylo uvedeno, při modulaci několika kmitočty má energie snahu se soustředit v užším pásmu, než při modulaci jedním kmitočtem při daném konstantním zdvihu, proto se pouze zvětší počet kmitočtových složek ve spektru; avšak potřebná šířka pásmá zůstává přibližně stejná.

Zatím jsme neuvažovali pro zjednodušení přítomnost pilotního signálu. Podrobným rozborom bychom došli však k tomu, že potřebná šířka pásmá i tak je 212 kHz. Dalším zjednodušením byl předpoklad ideální pásmové propusti s pravouhlou útlumovou charakteristikou. Dá se snadno dokázat, že i zesilovač s klasickými pásmovými propustmi má potřeb-

nou šířku pásmá $B_3 \text{ dB} = 210 \text{ kHz}$. Z toho vyplývá, že bez újmy na přesnosti můžeme uvažovat šířku reálné pásmové propusti $B_3 \text{ dB}$ rovnou šířce pásmá ideální pásmové propusti, tzn., že $B_3 \text{ dB} = 2\omega_0$.

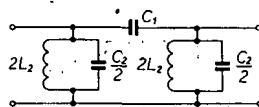
Na závěr tohoto rozboru je nutno podotknout, že jsme brali v úvahu pouze zkreslení, které vzniká odříznutím postranních složek vlivem šířky pásmá mf zesilovače. Zkreslení může ovšem vzniknout i nevhodným skupinovým zpožděním mf zesilovače. K omezení tohoto zkreslení na přijatelnou míru smí být maximální změna skupinového zpoždění 2 μs. Proto při návrhu mf zesilovače je nutné dodržet nejen potřebnou šířku pásmá, ale i konstantní průběh skupinového zpoždění.

Dříve než se budeme zabývat konkrétními zapojeními, všimneme si ještě obvodu detektoru. V praxi, aby se vyloučil vliv obvodu detektoru, který by mohl zhoršovat stabilitu celého mf zesilovače, je nutné, aby tento obvod měl co nejvíce přenášené pásmo. Šířku pásmá detekčního obvodu volíme od 0,5 MHz do 1 MHz. Použijeme-li cívku, která má velkou jakost Q₀, je nutné k rezonančnímu obvodu připojit paralelní rezistor. Šířka pásmá detekčního obvodu je $B = f_m : Q_z$, kde Q_z je provozní činitel jakosti daného obvodu. Jeho impedance $Z_1 = Q_z \cdot 6,28 f_m L$. Při velkém Q_z by se zužovala šířka pásmá a proto je nutné připojit paralelní odpory. Jakost nezatíženého obvodu je Q₀ a impedance při nezatížení $Z_2 = 6,28 f_m L Q_0$ a paralelní odpór bude: $R_p = Z_1 Z_2 : (Z_2 - Z_1)$. Z toho vyplývá, že před osazením detekčního obvodu je výhodné změřit Q₀ detekční cívky a pak pro zadanou šířku pásmá vypočítat odpor paralelního rezistoru R_p. Podobně postupujeme i při návrhu ostatních laděných obvodů. Vždy je nutné uvažovat i výstupní a vstupní impedance aktivního prvku, která je k danému obvodu vždy paralelně a tak zmenšuje jakost obvodu.

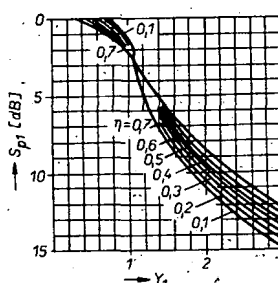
Jak již bylo řečeno, v mf zesilovači se snažíme dosáhnout pravoúhlé přenosové charakteristiky. V praxi lze toho dosáhnout použitím filtru soustředěné selektivity. Filtr soustředěné selektivity je možné realizovat s cívkami, s keramickými nebo krystalovými filtry. Použijeme-li keramické filtry nebo filtry krystalové, které tvoří jeden celek, pak je nutné je správně přizpůsobit nejen k výstupnímu obvodu, z něhož je filtr buzen, ale i ke vstupnímu obvodu následujícího stupně. Jinak bude přenosová charakteristika zvlněna, což vede ke zhoršení skupinového zpoždění a ke zkreslení signálu. Zvlnění filtru může mít vliv i na stabilitu zesilovače. Tak např. keramický filtr SFE10,7MA má výstupní a vstupní impedance 330 Ω, takže je nutné, aby výstupní impedance předchozího stupně byla 330 Ω a vstupní impedance následujícího stupně také 330 Ω.

Nebudeme-li mít k dispozici keramické nebo krystalové filtry, můžeme použít cívkový filtr soustředěné selektivity. Filtry soustředěné selektivity zapojujeme co nejbližše vstupnímu signálu. Někdy je výhodné filtr rozdělit na dvě části, neboť jeho útlum může zhoršovat poměr signál:šum a to tehdy, má-li filtr velký útlum v propustném pásmu.

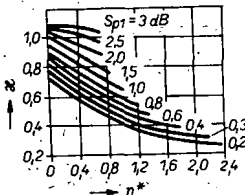
Pro návrh filtru soustředěné selektivity musíme znát:



Obr. 34. Základní obvod filtru typu III₄



Obr. 35. Zobecněné charakteristiky filtru soustředěné selektivity



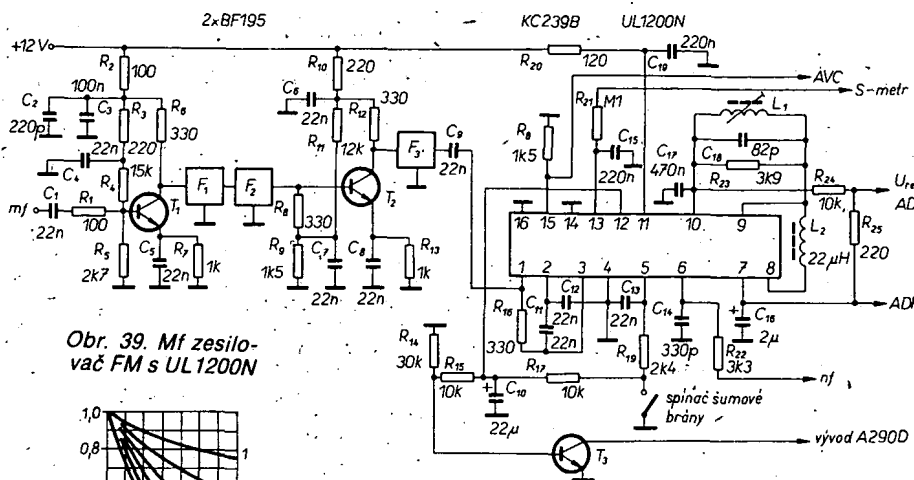
Obr. 36. Graf pro určení koeficientu x

- mezinfrekvenční kmitočet f_{mt} ,
- šířku propouštěného pásma B ,
- rozladění Δf_s odpovídající sousednímu kanálu,
- zeslabení S_s signálu sousedního kanálu,
- zeslabení S_p signálu na krajích propustného pásma,
- parametry budiče filtru - výstupní vodivost g_{22} , výstupní kapacitu C_{22} a strmost Y_{21} ,
- parametry následujícího zesilovače - výstupní vodivost g_{11} , výstupní kapacitu C_{11} .

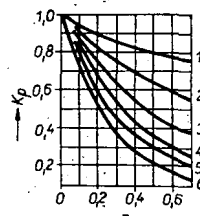
Nejčastěji se používají v přijímačích filtr typu III₄, sestavené z paralelních rezonančních obvodů podle obr. 34. Z teorie filtrů jsou převzaty kmitočty f_1, f_2 , na nichž nastává pokles. Pro filtr III₄ je horní kmitočet f_2 roven rezonančnímu kmitočtu obvodu $2L_2, 0,5C_2$. Když k tomuto obvodu připojíme paralelní kapacitu $2C_1$, pak obvod bude kmitat na dolním kmitočtu f_1 . Při dané impedanci filtru Z_0 jsou všechny průky filtru dány kmitočty f_1, f_2 :

$$L_2/Z_0 = \frac{f_2 - f_1}{4\pi f_2 f_1}, \quad C_2 Z_0 = \frac{f_1}{\pi f_2 (f_2 - f_1)}, \\ C_2 Z_0 = \frac{f_1 + f_2}{4\pi f_1 f_2}.$$

Z toho vyplývá, že výpočet filtru soustředěné selektivity spočívá v určení kmitočtů f_1, f_2 a počtu základních obvodů a tak, aby filtr splňoval zadané požadavky. Pro výpočet filtru je možné použít zobecněné charakteristiky na obr. 35. Na vodorovné ose y je vynesenou, poměrně rozladění $y_1 = 2\Delta f : (f_2 - f_1)$, odpovídající absolutnímu rozladění Δf a na svislé ose je zeslabení S_{p1} , způsobené jedním obvodem. Křivky jsou sestrojeny pro různé $\eta = 2\pi f_{mt} d : (f_2 - f_1)$, kde d je celkový útlum obvodu filtru soustředěné selektivity.



Obr. 39. Mf zesilovač FM s UL1200N



Obr. 38. Graf pro stanovení činitele přenosu filtru soustředěné selektivity

Postup při výpočtu je následující:
a. Určíme veličinu $\eta^* = 2f_{mt}d/B$, zvolíme $d = 0,0025$ až $0,005$.

b. Určíme počet n obvodů. Na počátku stanovíme, že $n = 4$.

c. Určíme útlum na krajích pásmá B , daný jedním obvodem $S_{p1} = S_p/n$, a najdeme na obr. 36 parametr x , z něho určíme rozdíl $\Delta f = f_2 - f_1 = B/x$. Vypočítáme y_1 a parametr $\eta = x\eta^*$. Ze zobecněných rezonančních křivek najdeme útlum S_{s1} sousedního kanálu, který je způsoben jedním obvodem. Dále vypočítáme útlum filtru na kmitočtu sousedního kanálu $S_s = nS_{s1} - \Delta S$, kde ΔS je zmenšený útlum, vznikající vlivem nepřizpůsobení filtru ke zdroji signálu a záteži (je v mezech 3 až 6 dB). Porovnáme vypočítanou S_s se zadanou S_{sz} . Pokud $S_s = S_{sz}$, má filtr požadovanou selektivitu a $n, \Delta f$ jsou konečné hodnoty pro výpočet součástek filtru a činitele přenosu. Pokud $S_{sz} > S_s$, filtr má nedostatečující selektivitu pro sousední kanál. Je zapotřebí výpočet opakovat pro větší n do té doby, dokud $S_s > S_{sz}$. Podobně pokud $S_{sz} < S_s$, zopakujeme výpočet pro menší n a to až do té doby, dokud se S_{sz} nebudé blížit S_s .

Volíme charakteristickou impedanci filtru $Z_0 = 1$ až 50 k Ω . Z hlediska zvětšení zisku stupně s filtrem soustředěné selektivity je vhodné volit Z_0 z podmínky $Z_0 g_{22} \leq 1$. Při velké impedanci Z_0 vznikají těžkosti s realizací kondenzátoru C_1 , zejména na vyšších kmitočtech. Proto Z_0 v k Ω násobené f_{mt} v MHz by nemělo být větší než 100.

Dále vypočítáme činitele transformace m_1, m_2 pro vstupní a výstupní obvod. Pro $Z_0 g_{22} < 1$ je $m_1 = 1$ a pro $Z_0 g_{22} \geq 1$ je $m_1 = 1 : \sqrt{Z_0 g_{22}}$, podobně pro $Z_0 g_{11} < 1$ je $m_2 = 1 : \sqrt{Z_0 g_{11}}$ a pro $Z_0 g_{11} \geq 1$ je $m_2 = 1 : \sqrt{Z_0 g_{11}}$. Pokud $Z_0 g_{22} < 1$, je možné pro přizpůsobení filtru ke kolektrovému obvodu paralelně k vstupu filtru zapojit zatlumovací rezistor s vodivostí $g_{IR} = (1 - Z_0 g_{22})/Z_0$. K tomuto účelu je možné použít kolektorový odpor budicího stupně. Podobně pokud $Z_0 g_{11} < 1$, je možné na výstup filtru připojit tlumící odpor

$R_{tl výst} = Z_0/(1 - Z_0 g_{11})$. Pak je již možné vypočítat součástky filtru na obr. 37:

$$C_1 = 1/6,28 Z f_{ml}, \quad C_2 = \frac{1}{\pi Z_0 \Delta f} - 2C_1,$$

$$C_3 = 0,5C_2 - m_1^2 C_{22}, \quad C_4 = 0,5C_2 - m_2^2 C_{11},$$

$$L_2 = \frac{Z_0 \Delta f}{4\pi f_{ml}},$$

$$L_1 = 2L_2.$$

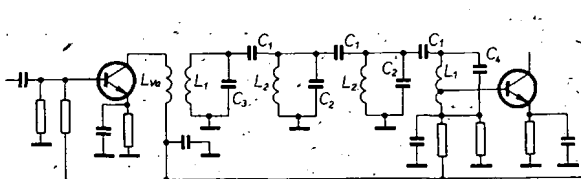
Při indukční vazbě na kolektorový obvod je zapotřebí vypočítat vazební cívky $L_{vaz} = L_1 \frac{m_1}{K_{vaz}}^2$, kde K_{vaz} je 0,7 až 0,9. Dále si z obr. 38 určíme činitele přenosu K_p a vypočítáme činitel zesílení stupně s filtrem soustředěné selektivity:

$$K = 0,5 m_2 |Y_{21}| Z K_p.$$

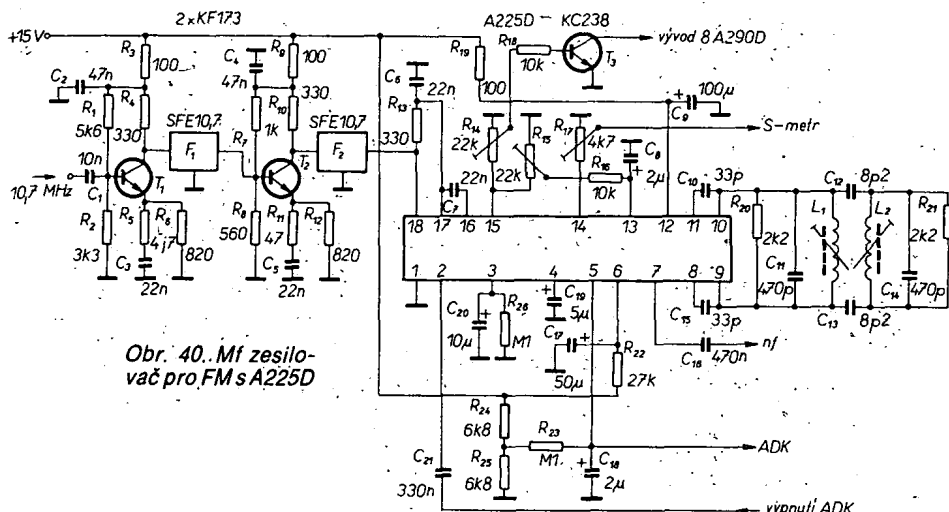
Dále si popíšeme několik praktických zapojení mf zesilovačů FM. Na obr. 39 je zapojení mf zesilovače FM s IO UL1200N (CA3089). Vstupní signál o kmitočtu 10,7 MHz je přiveden přes $C_1 R_1$ na první předzesilovač T_1 . Pracovní bod tohoto tranzistoru je nastaven $R_3 R_4 R_5$. Zisk T_1 je dán jeho strmostí a pracovním rezistorém R_6 . $C_2 C_3 C_4$ filtrují napájecí napětí. Z kolektoru T_1 jede signál přes dva filtry typu SFE10,7MA do druhého předzesilovače T_2 , jehož pracovní bod je nastaven $R_9 R_{10} R_{11}$. Zisk je opět dán strmostí tranzistoru a R_{12} . Výstupní signál z kolektoru T_2 je přes filtr F_3 (SFE10,7MA) a C_9 veden na vstup omezovacího zesilovače v IO UL1200N. Koincidenční detektor je naložen obvodem $L_1 C_{18} R_{23}$ na 10,7 MHz. Demodulované napětí je z vývodu 6 vedené přes R_{22} do stereofonního dekódéru. Konzentrátory C_{14} jsou filtrovány zbytky signálu mf kmitočtů. Bude-li přijímač provozován jen „mono“, je nutné za R_{22} proti zemi připojit kondenzátor asi 15 nF. Fázový posuv v koincidenčním obvodu je realizován tlumivkou L_2 . Z vývodu 7 je odeberáno napětí ADK pro doložování jednotky VKV. Referenční napětí ADK je možné odebrávat z vývodu 10. Z vývodu 13 je odeberáno napětí pro indikátor síly pole (S-metr) a z vývodu 15 napětí AVC pro řízení zisku vstupního tranzistoru jednotky VKV.

Spinačem připojeným přes R_{19} na vývod 5 IO je možné vypnout vnitřní šumovou bránu. Napětím z vývodu 12 IO je ovládán T_3 , který automaticky přepíná stereofonní dekódér z „mono“ na „stereo“.

Na obr. 40 je zapojení mf zesilovače FM s IO A225D (TDA1047). Vstupní signál je přes C_1 přiveden do prvního předzesilova-



Obr. 37. Základní zapojení zesilovače s filtrem soustředěné selektivity



Obr. 40. Mf zesilovač pro FM s A225D

če T₁. Jeho pracovní bod je nastaven R₁R₂. Zesílení je dáno poměrem R₄:R₅. Z výstupu T₁ je signál veden přes F₁ do druhého předesílovače T₂, jehož pracovní bod je nastaven R₇R₈ a zisk je dán poměrem R₁₀:R₁₁. Záporná zpětná vazba R₅C₃ a R₁₁C₅ umožňuje nastavit optimální zisk předesílovačů pro konkrétní podmínky (při velkém zisku se může zhoršit poměr signál:šum). Rezistory R₉R₁₀R₁₂ oddělují jednotlivé stupně zesílovače a tak zmenší vzájemné ovlivňování stupňů.

Z výstupu T₂ je signál přes F₂ veden do omezovače v IO, na jehož výstupu je koincidenční detektor s laděnou pásmovou propustí L₁C₁₁, L₂C₁₄. Použitím pásmové propusti v detektoru je možné zmenšit zkreslení mf zesílovače. Cívky filtru detektoru jsou v samostatných krytech a jsou mezi sebou vázány kapacitně C₁₂C₁₃. Správnou šířku pásmu propusti lze nastavit R₂₀R₂₁. Potřebný fázový posuv je realizován C₁₀C₁₅. Výstupní nf napětí je přes C₁₆ vedené do detektoru. Pomocí R₁₅ se nastaví práh šumové brány v IO. Protože úplné umílení FM signálu je někdy nepřijemné, je na vývod 6 IO přivedeno napětí přes R₂₂, tímto napětím se šumová brána „přivírá“; minimální odporník rezistoru R₂₂ je 10 kΩ. Z vývodu 5 IO je odebíráno napětí ADK, jehož referenční velikost lze nastavit dělicem R₂₄R₂₅. Tento obvod je vybaven spínačem ADK, který je ovládán změnou ladícího napěti přes C₂₁ na vývod 2 IO. Doba odpojení ADK je dána časovou konstantou R₂₆C₂₀ na vývodu 3 IO. Z vývodu 14 je odebíráno napětí pro S-metr a z invertovaného výstupu (vývod 15) napětí pro T₃, který pracuje

jako automatický spínač mono-stereo ve stereofonním dekodéru.

(Dokončení této teoreticko-praktické části bude v příštím čísle AR řady B.)

KONSTRUKČNÍ ČÁST

Rozhlasový přijímač MINIKIT 86

Rozhlasový přijímač MINIKIT 86 je určen pro příjem obou pásem VKV-FM, středních, dlouhých a krátkých vln. Ize k němu připojit gramofon s krystalovou i magnetickou přenoskou a má vstup pro přehrávání z magnetofonu a výstup pro nahrazení na magnetofon. Dále je vybaven nf zesílovačem s výstupním výkonem 2x 15 W, připojkou na sluchátka, korektorem výšek a hloubek a mechanickou předvolbou vysílačů v pásmech VKV, DV a SV. Přijímač MINIKIT 86 je napájen ze sítě. Kmitočet přijímaného signálu lze číst na stupnicích, sestavených ze 24 svítivých diod. Síla pole a naladění rovněž jsou indikovány svítivými diodami, stejně jako stereofonní signál.

MINIKIT 86 je sestaven z modulu A, určeného pro příjem KV, SV, DV, modulu F pro příjem jak monofonních, tak i stereofonních signálů v pásmech VKV, modulu O, na němž jsou otočně ovládaci prvky (potenciometry hlasitosti, vývážení, hloubek a výšek a ladící převod) spolu se stupnicí LED a indikátory, modulu P s předesílovačem pro magnetickou přenosku, oddělovacím stupněm pro magnetofon, elektronickým přepínačem zdrojů signálů a oddělovacím stupněm, modulu S s elektronickými korekcemi, koncovým stupněm a zdrojem. Dalšími celky

v přijímači MINIKIT 86 jsou síťový transformátor, soubor 7 tlačítek pro ovládání jednotlivých zdrojů signálů se síťovým spínačem. Pro předvolbu je určen ladící a přepínací agregát. Blokové zapojení celého přijímače je na obr. 62.

Modul A přijímač pro KV, DV a SV

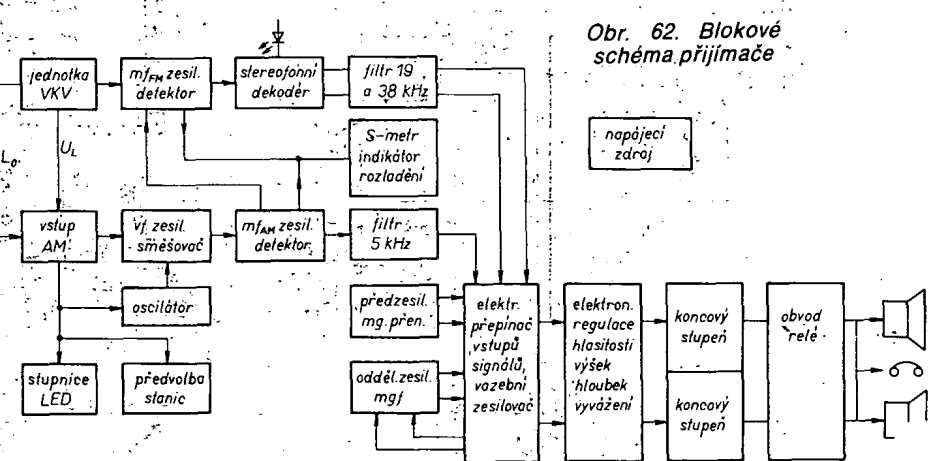
Signál ze souosého konektoru (společný pro modul F) je přiveden na vývod 1 a přes oddělovací tlumivku L₁, mezikre-venční odlaďovač L₁C₅₀, vazební cívku L₂ na vstupní obvod KV (D₁, L₅, C₃, C₇, D₄, D₅, D₁₀, D₁₁). Obvody KV se připojují napětím 15 V na vývod 4. Tímto napětím se přes D₁₇ připojí i oscilátorový obvod KV (L₈, C₁₆, C₁₇, D₁₂, D₁₆, D₂₂, D₂₃). Přes diodu D₁₃ se přivádí napájecí napětí pro IO₁ a tranzistory T₁ až T₄. Podobně je tomu i při sepnutí na SV (přes D₁₄) a při DV (přes diodu D₁₅). Všimněme si podrobněji systému spínání vstupních obvodů. Jak již bylo uvedeno, napětím 15 V na vývod 4 se připoji vstupní obvod KV. Proud, který proteče D₅D₁, vytvoří na rezistoru R₁ úbytek napětí, kterým se uzavřou diody D₂D₃; proud přes D₅D₄ vytvoří úbytek napětí na R₃, kterým se uzavřou D₆ a D₈. Tím jsou od varikapů D₁₀D₁₁ odpojeny vstupní otvory SV (L₆C₄C₈) a DV (L₇C₅C₆C₉). Od antény jsou tyto vstupní obvody odpojeny diodami D₂D₃.

Při připojení napětí 15 V na vývod 3 se (přes D₂D₂) vytvoří na R₁ úbytek napětí, který uzavře D₁D₃, čímž se odpojí vstupní obvody KV a DV od antény. Obvod L₆ je kanténe připojen přes prodlužovací cívku L₃L₂. Proud diodami D₇D₆ vytvoří úbytek napětí na R₃ a uzavře diody D₄D₆; takže studené konce L₅L₇ jsou odpojeny od zemního kondenzátoru C₁₃.

Při připojení napětí 15 V na vývod 2 se připojí přes D₃L₁ vstupní obvod DV (L₇C₆C₉) k anténě. Proudem přes D₉D₃R₁ se uzavřou D₂a a odpojí vstupní obvody KV a SV. Proudem přes D₉D₈R₃ se uzavřou D₄D₈, které odpojí studené konce L₅L₆ od C₁₃ a přes D₈ se uzemní přes C₁₃ studený konec L₇. Kondenzátory C₁₀C₁₁C₁₂ blokují spínaci napětí 15 V a zlepšují uzemní příslušné vstupní i oscilátorové cívky. Ladící napětí pro dvojici varikapů ve vstupních obvodech je přivedeno na vývod 5 a filtrováno kondenzátorem C₁₄. Použití dvou varikapů je nutné, aby bylo možno přeladit v jednom rozsahu celé pásmo SV. Na „živý“ konec D₁₀D₁₁ je připojen R₂, kterým protéká příčný proud varikapů a zároveň se na něm vytváří předpětí pro bázi T₁.

Ještě si podrobne popíšeme způsob spínání oscilátorových obvodů. Napětím 15 V na vývod 4 se přes D₁₇D₁₈ vytvoří na společném rezistoru oscilátorových

Obr. 62. Blokové schéma přijímače



KONKURS AR - ČSVTS

Do uzávěrky letošního konkursu AR - ČSVTS na nejlepší elektronické konstrukce došlo celkem 55 přihlášek. V současné době se konstrukce třídí a posuzují. Autoři vybraných konstrukcí budou písemně vyzváni, aby přihlášené konstrukce zaslali do redakce k podrobnému hodnocení. Výsledky konkursu budou uveřejněny v AR řady A č. 1/1987 a v AR řady B č. 1 nebo 2/1987.

a vstupních obvodů R_3 napětí, které úzavře $D_{18}D_{20}$. Přes diody D_{16} se uzemní studený vývod oscilátorového obvodu KV ($L_6C_{17}C_{16}D_{12}$). Napájecí napětí pro vývod 6 IO₁ je přivedeno z odbočky L_8 přes D_{23} . Zpětnovazební vinutí oscilátoru je na vývod 5 IO₁ přivedeno přes $D_{19}D_{25}$ a zpětnovazební vinutí se připojí přes D_{24} . Napětím na R_5 se uzavřou D_{22} a D_{26} a odpoji zpětnovazební vinutí L_8 a L_{10} . Při přepnutí na DV se přes D_{20} uzemní oscilátorový laděný obvod $L_{10}C_{20}C_{21}C_{22}D_{12}$. Napětím na R_3 se uzavřou D_{16} a D_{18} a tak se odzemí obvody L_8 a L_9 . Napětí pro vývod 6 IO₁ je přivedeno přes $D_{21}D_{27}L_{10}$. Zpětnovazební vinutí L_{10} se k IO₁ připojí přes $D_{26}C_{28}$. Ubytkem napětí na R_5 se uzavřou D_{22} a D_{24} a odpoji zpětnovazební vinutí L_8 a L_9 .

Kondenzátory C_{16} , C_{18} a C_{20} jsou padinové a na jejich přesné kapacitě závisí souběh se vstupními obvody a tím i kvalita přijimače. Rezistor R_4 uzavírá příčný proud varikapu D_{12} . Jeho odpor může ovlivnit jakost oscilačních obvodů a kvalitu varikapu D_{12} , bude-li příliš malý, může přestat pracovat oscilátor. Jakost oscilačních obvodů ovlivňuje rovněž spínací diody, proto by měl být jimi protékající proud co největší. (proud je určen spínacím napětím a R_1 , R_3R_5). Rezistory R_1 , R_3 je však nutné volit s co největším odporem, aby zbytečně nezhoršovaly jakost laděných obvodů a tím i jakost celého přijímače.

Signál z antény je přes vstupní obvod veden do báze T_1 . Pro T_1 je použit tranzistor FET, proto nejsou použita vazební vinutí na cívkách vstupních obvodů. Z kolektoru a emitoru T_1 je signál veden na symetrický vstup vf předzesilovače v IO₁ (vývody 1 a 2). Zesílení T_1 je asi 1: Z výstupu vf předzesilovače je signál veden do symetrického směšovače, kam je přiveden i signál oscilátoru (vývody 4, 5 a 6). V aplikacním zapojení výrobce se doporučuje připojit zpětnovazební vinutí oscilátoru mezi vývody 4 a 5 IO₁. Při zkouškách se však ukázalo, že vývod 4 lze uzemnit přes kondenzátor C_{27} . Studený konec vazebního vinutí je k vývodu 4 IO₁ připojen přes $C_{13}C_{27}$. Kapacitu kondenzátorů C_{27} a C_{13} je nutno volit dostatečně velkou (jejich sériové řazení), aby oscilátor „nevysazoval“.

Z výstupu směšovače (vývody 15 a 16 IO₁) je signál veden na mf obvod $L_{12}C_{36}$ a přes keramický filtr F_1F_2 na vstup mf zesilovače (vývod 12 IO₁). Vývod 16 směšovače je připojen na napájecí napětí, aby se ušetril jeden laděný obvod, který se v aplikacním zapojení od výrobce využívá k regulaci AVC pro vf předzesilovače. V našem zapojení je z obvodu $L_{12}C_{36}$ odebráno mf napětí přes C_{35} , které je usměrněno na přechodu emitor-báze T_3 a přes R_{12} přivedeno jako napětí AVC pro vf předzesilovače na vývod 3 IO₁. Časová konstanta regulačního signálu je dána součinem $R_{11}C_{26}$.

Z výstupu F_2 je mf signál veden na vstup mf zesilovače IO₁ (vývod 12). Kondenzátory $C_{37}C_{38}$ blokují napájení mf zesilovače. Z výstupu mf zesilovače (vývod 7 IO₁) je signál jednak veden na zesilovač T_2 přes R_{29} a jednak přes vazební vinutí L_{11} na tranzistorový detektor T_4 .

Tranzistor T_2 zesiluje mf napětí, které je z kolektoru vedenno na IO₁ v modulu F. Toto napětí je po detekci a omezení v IO₁ modulu F využito jako dodávací napětí pro varikapy D_{10} , D_{11} a D_{12} . Pokud nebude me tyto varikapy doložovat, můžeme T_2 s příslušnými součástkami vypustit, anž bychom ovlivnili funkci modulu A.

Po detekci mf signálu tranzistorem T_4 je ss složka detekovaného signálu přes R_{22} po filtraci kondenzátoru $C_{40}C_{41}$ přivedena na vstup zesilovače AVC (vývod 9 IO₁), který řídí tři první stupně mf zesilovače. Nízka část detekovaného signálu je přes C_{44} a filtr typu dvojité T (R_{27} , R_{29} , R_{28} , R_{34} , C_{46} , C_{47} , C_{48}) vedená do zesilovače T_5 a z jeho kolektoru stíněným vodičem do modulu P. Filtrarem jsou potlačovány signály kmitočtů vyšších než 5 kHz a tím interferenční hvizdy. Vzhledem k tomu, že filtr má charakter selektivního filtru a na kmitočtu 10 kHz by byla úroveň výstupního signálu stejná jako signálu vstupního, je na výstupu nutno připojit kondenzátor C_{49} . Filtr dvojitého T je zapojen ve zpětné vazbě, aby bylo dosaženo požadovaného průběhu charakteristiky. Části mf signálu z jednotlivých stupňů jsou sečteny odporově v IO₁ a přes vnitřní detektor je výsledné napětí vyvedeno na vývod 10 IO₁, slouží jako indikace síly pole signálu (S-metr) a je veden do modulu 0.

Postup nastavení

Před měřením je nutné zvolit některý z rozsahů AM. Tónový generátor nastavíme na kmitočet 1 kHz a připojíme ho na C_{44} . Milivoltmetr připojíme na vývod 8 modulu A přes kondenzátor 100 nF a přečteme výstupní napětí. Pak generátor přeladíme na kmitočet 5 kHz a trimrem R_{28} nastavíme výstupní napětí o 3 dB menší než při kmitočtu 1 kHz. Pak signální generátor připojíme na vývod 12 IO₁ přes kondenzátor 100 pF. Činíte modulace $m = 0,5$. Měřicí kmitočet 455 kHz. Otáčíme jádrom L_{11} , až dostaneme maximální napětí na výstupu 8 modulu A. Pak generátor přeponíme na vývod 15 IO₁ a podle skutečného kmitočtu filtrů F_1F_2 doladíme obvod $L_{12}C_{36}$ a $L_{11}C_{38}$ na maximální napětí, měřené milivoltmetrem. Napětí ze signálního generátoru zmenšujeme tak, aby nepracovalo AVC pro mf zesilovač. Pokud máme možnost pracovat s rozmitáčem, kontrolejme průběh křivky mf zesilovače, který můžeme vyrovnat kondenzátem C_{42} .

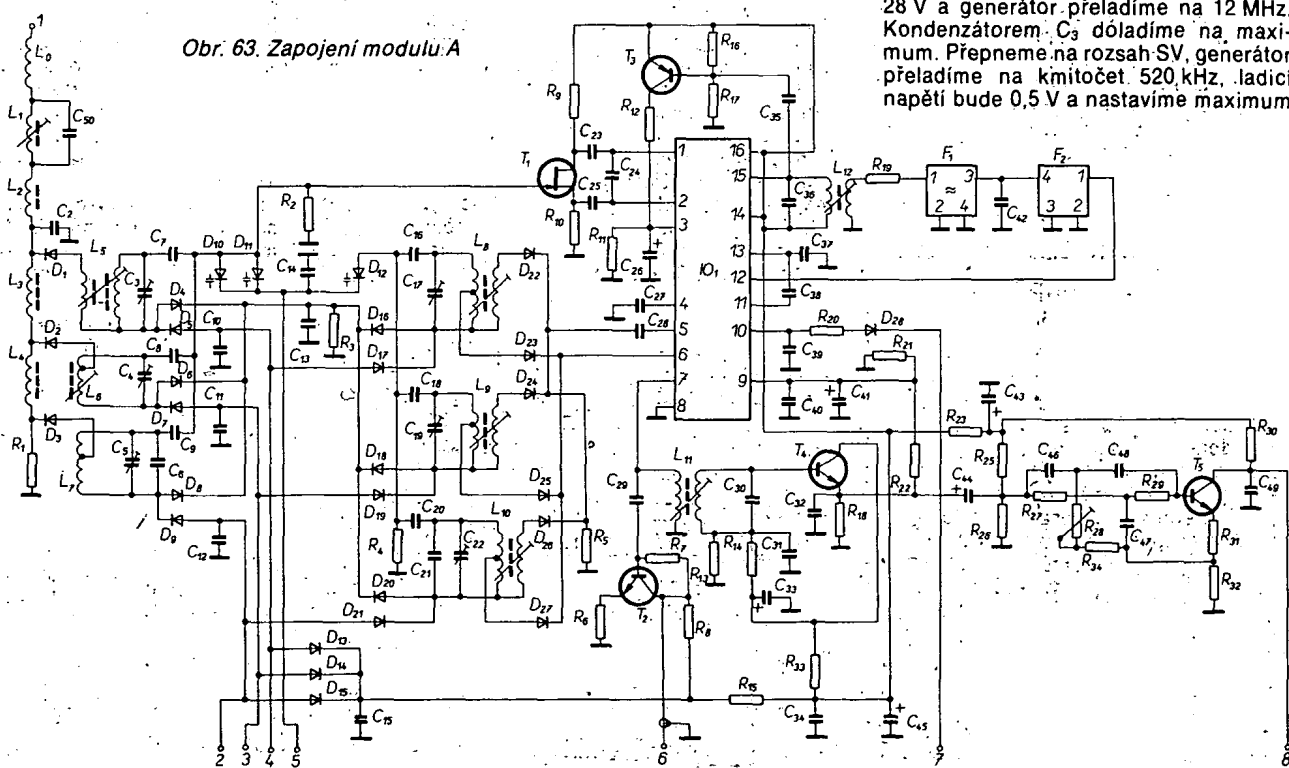
K nastavení oscilátoru v jednotlivých rozsazích použijeme buď vlnoměr nebo selektivní voltměr. Efektivní napětí na vývodu 5 IO₁ bude asi 150 mV. Při ladění napětí asi 0,5 V cívku L_9 naladíme kmitočet 6,3 MHz a při napětí asi 28 V kmitočet 12,45 MHz kondenzátorem C_{17} (sepnut rozsah KV).

Přepneme na rozsah SV, ladící napětí nastavíme na 0,5 V a cívku L_9 doladíme kmitočet 975 kHz. Ladící napětí zvětšíme na 28 V a kondenzátorem C_{19} doladíme na kmitočet 2075 kHz.

Přepneme na rozsah DV, ladící napětí nastavíme na 0,5 V a cívku L_{10} doladíme na kmitočet 605 kHz. Ladící napětí nastavíme na 28 V a kondenzátorem C_{22} nastavíme kmitočet 805 kHz.

Dále připojíme signální generátor na vývod 7 modulu A, nastavíme kmitočet 455 kHz a zapneme SV. Cívku L_1 ladíme na minimální napětí milivoltmetru. Přepneme na rozsah KV, naladíme kmitočet 5,85 MHz na generátoru, ladící napětí nastavíme na 0,5 V a cívku L_5 nastavíme maximální napětí milivoltmetru. Napětí generátoru neustále zmenšujeme, nesmí pracovat AVC! Ladící napětí zvětšíme na 28 V a generátor přeladíme na 12 MHz. Kondenzátorem C_3 doložíme na maximum. Přepneme na rozsah SV, generátor přeladíme na kmitočet 520 kHz, ladící napětí bude 0,5 V a nastavíme maximum

Obr. 63. Zapojení modulu A



cívkou L_6 . Ladící napětí nastavíme na 28 V, generátor přeladíme na 1620 kHz a kondenzátorem C_4 nastavíme maximální výstupní napětí.

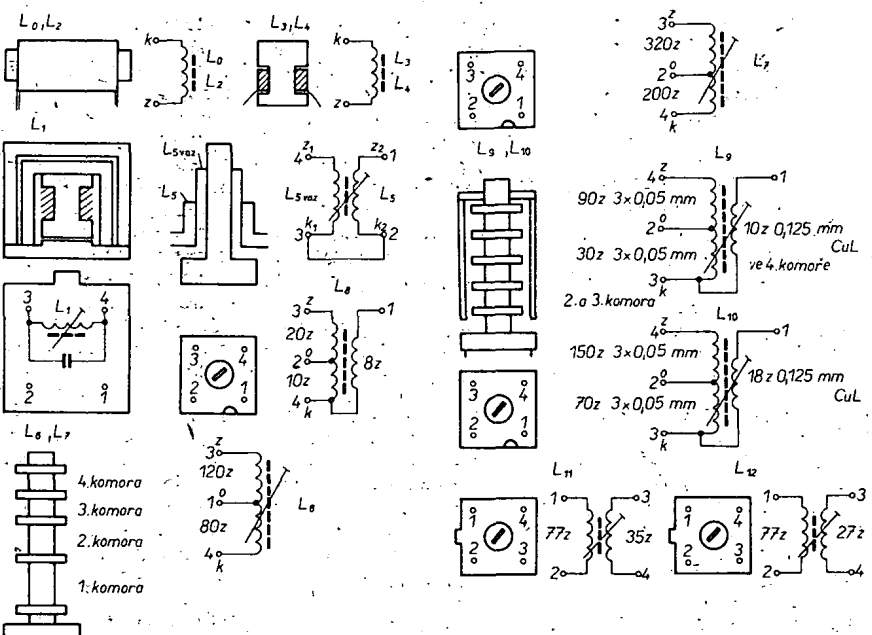
Přepneme na DV, generátor přeladíme na 150 kHz a ladící napětí nastavíme na 0,5 V. Cívku L_7 ladíme na maximum výstupního napětí. Ladící napětí zvětšíme na 28 V, generátor přeladíme na 350 kHz a kondenzátorem C_5 naladíme maximum. Tento postup několikrát opakujeme, až dosáhнемe nejlepšího naladění.

Použité součástky

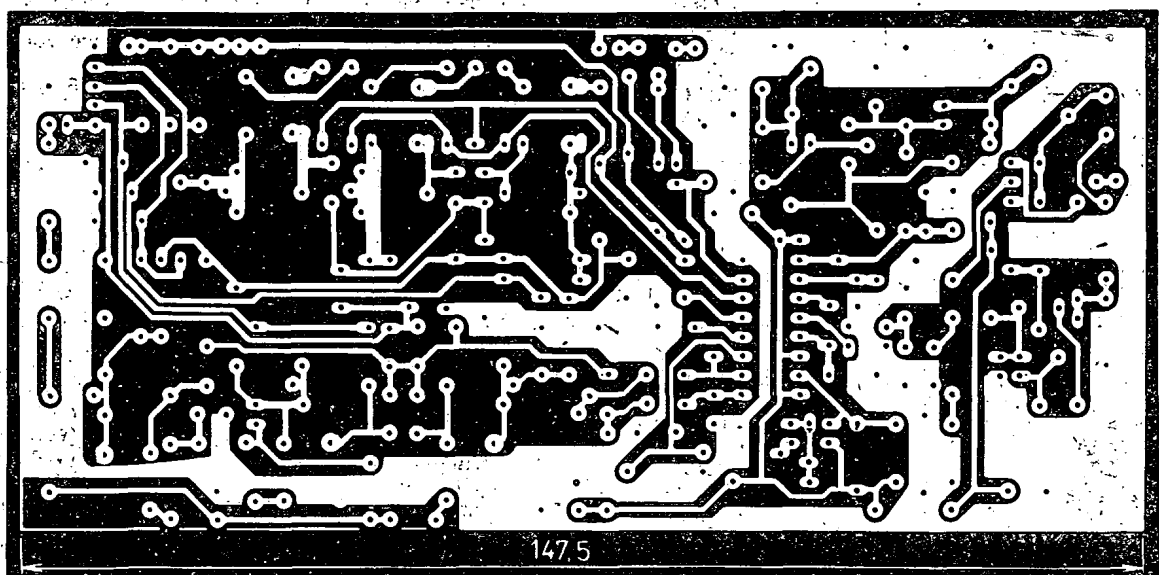
Všechny pevné rezistory jsou typu TR 212. Rezistory odporu větších než $100\text{ k}\Omega$ je lépe volit (z hlediska stability) typu TR 151.

R_1	6,8 k Ω	R_{14}, R_{26}	18 k Ω
R_2, R_7	1 M Ω	R_{17}	1,5 M Ω
R_3, R_{33}	560 Ω	R_{19}	2,7 k Ω
R_4, R_{16}	100 k Ω	R_{21}, R_{29}	56 k Ω
R_5	22 k Ω	R_{22}	39 k Ω
R_6	1,8 k Ω	R_{25}	220 k Ω
R_8	2,2 k Ω		
R_9, R_{10}	330 Ω	R_{27}	27 k Ω
R_{11}, R_{18}	12 k Ω	R_{28}	TP 011, 10 k Ω
R_{12}, R_{15}	100 Ω	R_{30}	4,7 k Ω
R_{13}, R_{20}		R_{31}	270 Ω
R_{23}, R_{32}	1-k Ω	R_{34}	15 k Ω

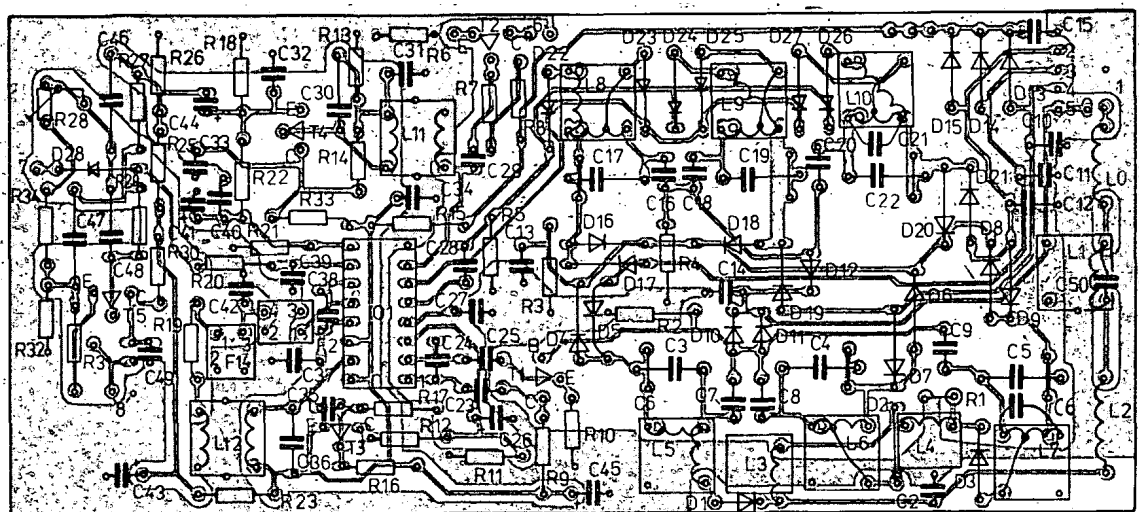
Většina použitých kondenzátorů jsou keramické, ploché typy. Jako kapacitní trimry jsou použity keramické typy o $\varnothing 10\text{ mm}$, zakoupené v NDR. Do desky s plošnými spoji je možné použít i trimry WN704 04, WN 704 24 nebo WN 704 25.



Obr. 65. Cívky modulu A



Obr. 64. Deska s plošnými spoji U229 a rozpisem součástek na modulu A



C ₂ , C ₆	39 pF, TK 754
C ₃ , C ₄ , C ₅ , C ₁₇	dodařovací trimry (viz text)
C ₁₉	180 pF, TK 754
C ₇ , C ₂₀	1,5 nF, TK 724
C ₈	1 nF, TK 724
C ₁₀ , C ₁₁ , C ₁₂ , C ₁₃	
C ₁₄ , C ₁₅ , C ₂₇ , C ₂₈	
C ₃₄ , C ₃₇ , C ₃₈	100 nF, TK 783
C ₁₆ , C ₂₄	120 pF, TK 754
C ₁₈	330 pF, TK 754
C ₂₁	56 pF, TK 754
C ₂₃ , C ₂₅	
C ₃₁ , C ₄₀	22 nF, TK 744
C ₂₆	10 μ F, TE 003
C ₂₉	10 pF, TK 754
C ₃₀ , C ₃₈	1 nF, TC 281 nebo TGL 5155
C ₃₂ , C ₃₉	10 nF, TK 744
C ₃₃ , C ₄₁ , C ₄₅	5 μ F, TE 004
C ₃₅	33 pF, TK 754
C ₄₂	220 pF, TK 754
C ₄₃	50 μ F, TE 004
C ₄₄	2 μ F, TE 005
C ₄₆	1,2 nF, TC 281
C ₄₇	1,8 nF, TC 281
C ₄₈	560 pF, TC 281
C ₄₉	3,3 nF, TK 744
C ₅₀	470 pF, TC 281

Místo kondenzátorů řady TC 281 je možné použít kondenzátory TGL 5155 na nejmenší napětí.

Na pozicích D₁ až D₉ a D₁₆ až D₂₇ je nejlépe použít diody KA136. Je však možné použít i diody KA261 až KA267; nebo KA206, KA207, nebo 1N4148. Na ostatní pozice postačí diody KA261. Jako varikapy je použita trojice varikapů 3KB113. Pro T₁ je použit BF245B, který je dodáván do TESLA ELTOS z MLR. Jako T₂, T₄, T₅ je použit KC238B, je však možné použít i tranzistory KC508, KC509, SC238, SC239, KC239, KC148, KC149. Jako T₂ je použit tranzistor KC308, který je možné nahradit KC309, SC309, BC158, BC159, BC178 nebo BC179.

Na pozici IO₁ je použit A244D, který je možné nahradit obvody R244D nebo UL1203N, nebo K174ChA02 nebo TCA440.

Jako mf filtry jsou použity keramické filtry z NDR, F₁ je SPF455-B6 (modrý), F₂ je SPF455-A9 (červený). Pro cívky L₁, L₁₁, L₁₂ byly použity malé mf filtry z autotypíjímačů TESLA. Ostatní cívky jsou z přijímače TESLA 816A, které byly převinuty podle obr. 65. Zapojení modulu A je na obr. 63 a deska s plošnými spoji na obr. 64.

Modul F – stereofonní přijímač VKV

Na modulu F je umístěna vstupní jednotka VKV, mezifrekvenční zesilovač, stereofonní dekodér a stabilizátor napětí pro ladění varikapů.

Vstupní signál je přiveden na vývod 1. Stínění souosého kabelu je zapojeno na vývod 2, který uzemníme. Z vazebního vinutí cívky L₁ se signál indukuje do primární části laděného obvodu (L₁, D₁, C₁) z ní do sekundární části L₂, D₂, C₅ a dále se vede přes R₅, C₁ na T₁. Použitá pásmová propust na vstupu zlepšuje odolnost proti křížové modulaci. Pracovní bod T₁ je nastaven R₅, R₉, R₁₁, R₁₀, R₁₄, R₁₅ a R₂₀, D₃. Na G₂, T₁ je přiváděno přes R₄ ss napětí AVC. Toto napětí je k dispozici na bodech 3 nebo 9, které spojíme s bodem 4. Pro menší rozsah AVC volíme spoj 4–3 a pro větší rozsah AVC spoj 9–4. Z kolektoru T₁ je signál veden na primární část mezipásmové propusti L₃, C₁₃, C₁₄, D₄, R₁₆. Na kolektorový vývod T₁ je navléčena feritová perla, která zabraňuje zakmitávání na velmi vysokých kmitočtech v pásmu UHF. Stejnospěrné oddělení varikapu (C₁₃, C₁₄) je nutné, aby se neovlivňovala kapacita varikapu D₄. Vzhledem k tomu oddělení je nutné zapojit R₁₆, kterým teče příčný proud varikapu. Odpor rezistoru R₁₆ by měl být co největší, aby netlumil L₃ a přitom je takový, aby byl příčný proud varikapu dostatečný. Zenerova dioda D₃ chrání T₁ před zničením. Z obvodu L₃ se napětí indikuje do sekundární části mezipásmové propusti L₄, D₅, C₁₇, a přes C₁₉ se vede na

G₁, směšovače T₃. Do G₂ je přes C₂₃, R₃₃ přiváděn signál oscilátoru. V kolektoru T₃ je zapojena mf pásmová kapacitně vázaná propust L₇, L₈, C₂₆, C₃₄, C₃₆, C₃₇. Pracovní bod T₃ je nastaven R₂₅, R₂₆, R₃₂, R₃₀ a R₃₉.

Oscilátor pracuje s tranzistorem T₅, a obvodem L₅, D₆, C₂₄, C₂₅, C₃₁, C₃₂. Pracovní bod T₅ je nastaven R₃₆, R₃₇, R₄₂, R₄₁.

Ze sekundární části mf filtru je přes C₃₅ odebíráno napětí, které po usměrnění ve zdvojovači D₇, D₈ řídí zesilovač AVC T₄, z jehož kolektoru je napětí AVC vedené na vývod 3. Tímto obvodem je možné vstupní signál regulovat v rozsahu 40 dB.

Ladící napětí je vedené do emitorového sledovače T₂, který kompenzuje drift ladícího napětí. Nedostatek keramických dodařovacích kondenzátorů malých kapacit na trhu mne donutil použít odporové trimry a uvedené zapojení; R₂, R₇, R₁₈, R₂₃ dodařujeme vstupní obvody a trimrem R₂₈ oscilátorový obvod. Rezistory R₃, R₈, R₁₉, R₂₄, R₂₉ zmenšují rozsah dodaření trimrů a tak umožňují přesné nastavení obvodů. Rezistory R₁, R₆, R₁₇, R₂₂, R₃₄ slouží jako oddělovací.

R₂₁, R₂₇, R₃₅, R₄₃ oddělují jednotlivé obvody, aby se vzájemně neovlivňovaly po větví napájecího napětí. Kondenzátory C₂, C₃, C₄, C₆, C₈, C₉, C₁₀, C₁₁, C₁₂, C₁₅, C₁₆, C₂₀, C₂₁, C₂₂, C₂₆, C₂₇, C₂₉, C₃₀, C₃₃ pracují jako filtrační pro napájecí a ladící napětí a pro AVC. Kondenzátor C₂₄ je paddingový a určuje souběh oscilátoru a vstupu.

Mf signál je ze sekundární části pásmové propusti L₇, C₃₆, C₃₇ veden na první mf zesilovač T₆, který má v kolektoru filtr F₁. Z něj je signál veden přes druhý mf zesilovač T₇ na druhý filtr F₂ a dále do IO₁, kde je mf signál omezen a detekován kvadraturním detektorem s pásmovým detekčním obvodem L₈, C₅₁, C₅₅, R₇₀, C₅₃, C₉₄, L₉, C₅₈, R₇₁, C₅₉, naladěným na 10,7 MHz (podle použitých keramických filtrů) a obvodem pro detekci omezeného signálu AM mf L₁₀, C₅₇, C₅₈, R₇₂, naladěným na kmitočet 455 kHz. Kromě omezovače a mf zesilovače je v IO₁ ještě vypínač ADK (AFC) (vývod 2 IO₁). Doba vypnutí ADK je určena obvodem R₇₃, C₆₁ (vývod 3 IO₁). Dále je v IO₁ indikátor rozladění (vývod 4), zesilovač ADK (vývod 5), umičovač (vstup na vývod 13, výstup na vývod 6), mf zesilovač (výstup na vývod 7), indikátor síly pole (neinvertovaný výstup na vývod 14, invertovaný výstup na vývod 15) a stabilizátor napětí (vstup na vývod 12). Indikátor rozladění je řízen jednak z demodulátoru a jednak z výstupu indikátoru síly pole. Z demodulátoru je také řízen mf zesilovač a zesilovač ADK, jehož funkce je řízena i z vypínače ADK. Indikátor síly pole je řízen jak z mf zesilovače, tak i z demodulátoru.

Vypínač ADK je řízen přes C₆₀ z agregátu předvolet. Kondenzátor C₆₂ určuje dobu odpojení mf signálu při rozladění. Na vývod 5 IO₁ je výstup proudový ADK ($\pm 100 \mu$ A při rozladění o ± 100 kHz). Proud ADK je do napětí, které je o 1 až 2 V menší než napětí napájecí, nezávislý na napájecím napětí. Rezistory R₆₈, R₆₉ můžeme napětí na vývod 5 IO₁ nastavit podle potřeby. Rezistorem R₇₄, který nesmí být menší než 10 k Ω , ovlněnímaje potlačení šumu při přešládování. Při jeho nezapojení a připojeném umičovači je „mezi stanicemi ticho“, což může působit nezvykle. Výstup mf signálu je na vývodu 7 IO₁, při naladění na stanici je ss napětí na 7 až 2 V. Ize je použit i pro obvod ADK. Při rozladění asi o ± 200 kHz se totiž napětí mění asi o 1 V. Kondenzátorom C₆₃ filtroveme zbytky mf signálu po detekci, jeho kapacitu je nutné volit s ohledem na přenos signálu MPX. Na vývodech 8 a 11 IO₁ je výstup omezovacího zesilovače a na vývodech 9, 10 se připojují fázovací konden-

zátory. Součástkami na vývodech 16, 17 se nastavují pracovní bod a zpětná vazba mf zesilovače. Vstup mf zesilovače je na vývodu 18 IO₁.

Všimněme si podrobněji funkce jednotlivých součástek kolem IO₁. C₆₁ určuje dobu odpojení ADK po odzemnění vývodu 12 modulu F. R₇₃, C₆₁ určuje časovou konstantu ADK, která rovněž podstatně ovlivňuje dobu odpojení ADK. C₆₂ je filtrační kondenzátor indikátoru rozladění. C₆₅ filtruje obvod umičení. Z výstupu 1 IO₁, je nf signál MPX veden do zesilovače T₁₀, jehož pracovní bod je nastaven R₇₅, R₇₆. Poměr R₇₇, R₇₈ určuje zesílení T₁₀. Zvláštností uvedeného zapojení je použit pásmové propusti při detekci signálu FM a jednoduchého laděného obvodu pro detekci signálu AM. Detektor AM je použit jen pro obvod ADK, kterým dodařujeme varikapy v modulu A. Napětí ADK pro řízení stabilizátoru IO₃, se odebírá z vývodu 5 IO₁, přes R₁₁₀. C₆₈ filtruje napětí ADK. Napětí pro modul FM je přivedeno na bod 10 modulu F a napětí z dílu AM na vývod 11. Napájecí napětí z modulu A napájí jen IO₁. C₅₂ filtruje napájecí napětí IO₁. Na vývodu 13 IO₁, je vstup umičovače, který je řízen z invertovaného výstupu 15 IO₁, přes R₆₁, R₆₇; C₄₉ toto napětí filtruje a stabilizuje jeho krátkodobé změny. Na neinvertovaný výstup indikátoru síly pole vývod 14 IO₁ je připojen přes R₆₂, D₉ indikátor síly pole (v modulu O). Přes R₆₃, R₆₄ je připojen zesilovač ADK T₆, který používame jen tehdy, není-li použit zesilovač AVC s T₄. Trimrem R₅₇ nastavujeme základní napětí na G₂, T₁. Z invertovaného výstupu 15 IO₁ je ještě řízen spínač mono-stereo T₉, přes R₆₀, R₆₅. Krátkodobé změny tohoto napětí jsou stabilizovány kondenzátorem C₅₀. Vzhledem k tomu, že keramické kondenzátory se od určitých kmitočtů chovají spíše jak odpory, bylo nutné na vývody 16 a 17 IO₁ připojit vždy dva kondenzátory. Mezi vývody 17 a 18 IO₁ je připojen zakončovací rezistor R₅₉ filtru F₂. Při provozu AM je na vývod 18 IO₁ přiveden přes vývod 6 a R₅₆, C₄₂ mf signál z modulu A. Signál MPX z kolektoru T₁₀ je přiveden na vstup stereofonního dekodéru. Stereofonní dekodér pracuje na principu PLL, tzn. že v IO₂ je napěťově závislý oscilátor (VCO), fázový detektor, detektor pilotního signálu, dolní propust, detektor MPX, stereofonní spínač a nf předzesilovač. Z výstupu předzesilovače (vývod 2 IO₂) je signál přes C₆₅ veden na vstup detektoru fáze, detektora pilotního signálu, dekodéru MPX. Na detektor fáze je připojena dolní propust C₇₁, C₇₂, R₈₄, ss zesilovač a VCO, jehož kmitočet je nastaven na 228 kHz obvodem RC (R₆₁, R₆₂, R₆₃, C₇₀). Trimrem R₆₂ nastavíme přesný kmitočet 228 kHz, který kontrolujeme na R₆₃. Za VCO je zapojen dělič kmitočtu 1:6 a 1:2, z něhož je řízen detektor pilotního signálu, na jehož výstup je připojena dolní propust. Schmittův klopový obvod a stereofonní spínač s výstupem pro indikátor stereofonního signálu-vývod 7 IO₂. Na vývod 12 IO₂ je připojen i dekodér MPX, na jehož výstupech jsou zesilovače a směšovače, v nichž jsou tyto signály smíseny se signálem MPX. Směšovací strmost je závislá na řidicím napětí přiváděném přes D₁₂ na vývod 11 IO₂ a tak je možný plynulý přechod od „mono“ ke „stereo“. Ze směšovače je signál veden do dvou zesilovačů s výstupní impedancí asi 100 Ω – vývody 3–4 a 5–6 IO₂. R₆₉, C₇₅ a R₆₂, C₇₆ určují časovou konstantu 50 μ s deemfaze. Část výstupního napětí je přes R₆₈, R₆₃ přivedena v protifázi přes R₆₇ na výstup předzesilo-

vače. Výstupní dekódované napětí je přes R_{90} a R_{91} vedené na filtr pro potlačení 19 kHz $L_{11}C_{77}C_{78}C_{79}$ a $L_{12}C_{84}C_{85}C_{86}$ na za-končovací rezistory R_{94} a R_{102} . Dále je ní signál veden přes filtr pro potlačení 38 kHz $R_{95}, R_{96}, R_{97}, C_{80}, C_{81}, C_{82}$ a $R_{104}, R_{103}, R_{105}, C_{87}, C_{88}, C_{89}$ a přes C_{83} a C_{90} na oddělovací zesilovače T_{12} a T_{13} . Jejich pracovní bod je nastaven $R_{98}R_{99}$ a $R_{106}R_{107}$ a jejich zesílení je dáno poměrem $R_{100}:R_{101}$ a $R_{108}:R_{109}$. Na výstupech 14 a 15 modulu P jsou nf signály pravého a levého kanálu.

Dalším funkčním obvodem je stabilizátor IO_3 -ladicího napětí. Vstupní napětí je z modulu S přivedeno na vývod 16 modulu F. Výstupní napětí IO_3 29 až 30 V nastavíme R_{115} . Na vstup referenčního zesilovače – vývod 3 IO_3 – je přes $R_{112}R_{110}$ přiváděno napětí ADK z IO_2 . $C_{91}C_{92}$ filtrovají krátkodobé změny napětí ADK.

Postup nastavení modulu F

Tónový generátor připojíme na spoj $C_{82}C_{83}R_{97}$ a nf milivoltmetr na vývod 14 modulu F. Zkontrolujeme funkci T_{12} , který by měl mít mít zesílení asi 7. Generátor přepojíme na R_{94} , nastavíme při kmitočtu 1 kHz výstupní úroveň 0 dB a kontrolujeme kmitočtovou charakteristiku asi do kmitočtu 60 kHz. Signál o kmitočtu 38 kHz by měl být potlačen více než 20 dB. Filtr lze přesně dodlatit změnou součástek filtru. Pak připojíme generátor na C_{77} a kontro-lujeme potlačení signálu o kmitočtu 19 kHz, popř. na vstup připojíme generátor. Doladěním cívky L_{11} se snažíme nastavit minimální výstupní napětí při 19 kHz.

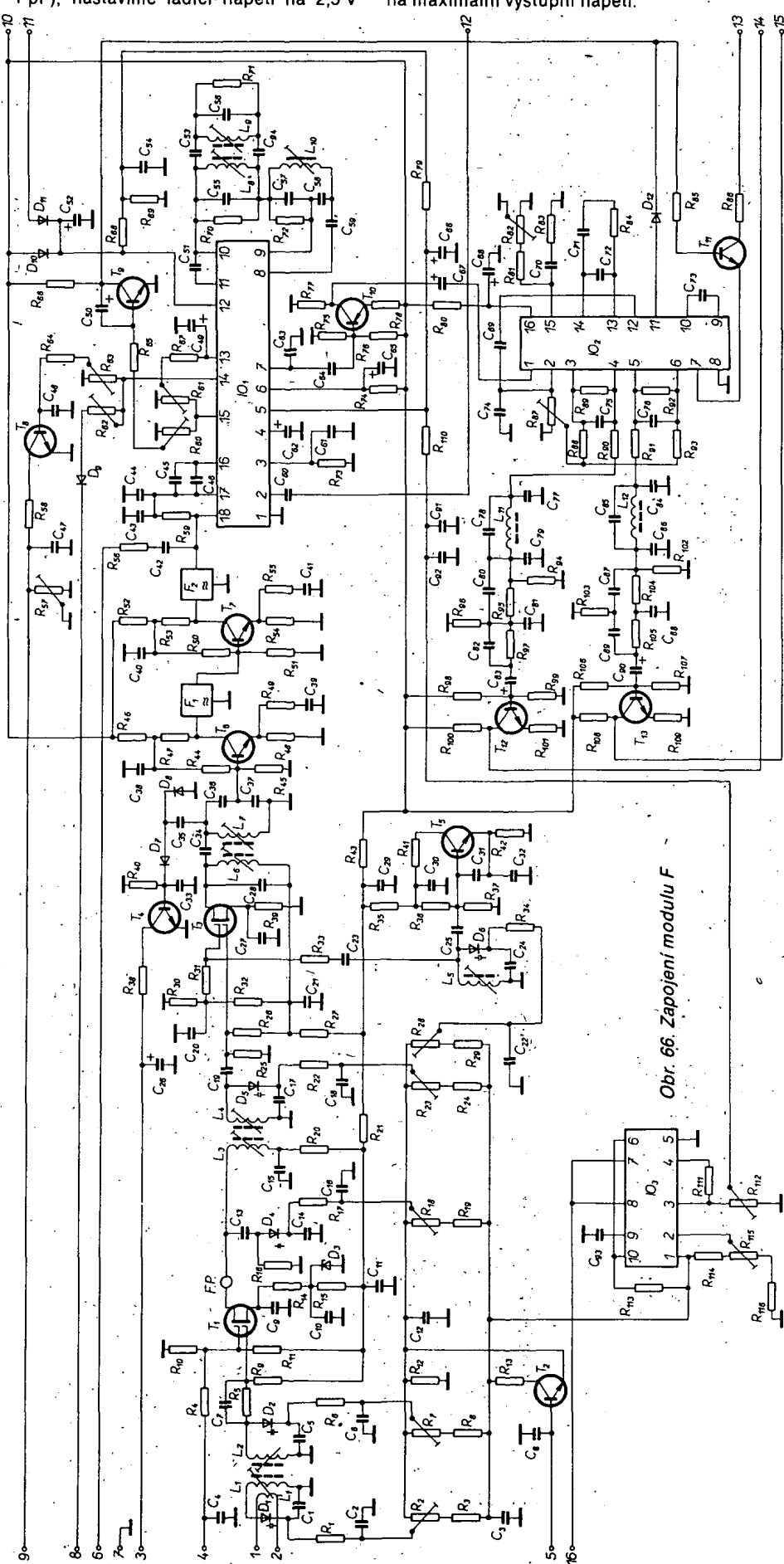
Zapojíme IO_2 na vývod 17 připojíme čitač kmitočtu a nastavíme R_{82} kmitočet 19 kHz (popř. na vstup/připojíme generátor signálu MPX, R_{87} nastavíme do střední polohy a otáčením R_{82} se snažíme dosáhnout minimálních přeslechů mezi kanály na vývodech 15 a 14 modulu F. Když jsme dokončili nastavování trimrem R_{82} , snažíme se, abý se přeslechy mezi kanály ještě více změnily (změnou R_{87}). Pak zkonto-lujeme funkci T_{10} (přenese-li nezkreslené signál MPX). Při všech těchto kontrolních měřeních a nastavování je běžec trimrů $R_{60}R_{61}$ u zemního konca.

Signální generátor připojíme do kolektoru T_6 přes kondenzátor s malou kapacitou, zkratujeme vývody 9 a 10 IO_1 . Avomet připojíme na vývod 14 IO_1 . Napětí z generátoru nastavíme tak, aby na vývodu 14 IO_1 bylo asi 0,5 V. Generátor „prolaďujeme“ v pásmu 10,5 MHz až 11 MHz a jeho výstupní napětí změnujeme tak, aby při dosažení rezonančního kmitočtu F_1F_2 bylo co nejmenší při napěti na vývodu 14 IO_1 rovném 0,5 V. Pak odpojíme zkrat mezi vývody 9 a 10 IO_1 . Odpojíme $C_{53}C_{94}$ a nastavíme L_8 tak, aby $I_{ADK} = 0$. Avomet připojíme na vývod 7 IO_1 , kde změříme napětí asi 2,1 V. Na vývod 6 modulu připojíme generátor AM naladěný na 455 kHz a jádrem cívky L_{10} naladíme $I_{ADK} = 0$. Připojíme $C_{53}C_{94}$ a na vývod 7 IO_1 připojíme měřicí zkreslení jádrem cívky L_9 nastavíme minimální zkreslení nf signálu. Signální generátor přepojíme do kolek-toru T_3 , a doladíme obvod na maximální výstupní napětí na vývodu 7 IO_1 .

Dříve než budeme nastavovat vstupní jednotku VKV, připojíme na vývod 16 modulu F napětí z vývodu 6 konektoru K₄ na modulu S a na vývodu 18 modulu F, nastavíme napětí 29 V. Na vývod 5 připojíme ladící potenciometr, kterým měníme napětí od 2 do 27 V. Nejprve nastavíme ladící napětí na 2,5 V a vlnoměr-

nebo selektivní voltmetr připojíme na emitor T_5 . Potenciometrem R_{28} nastavíme kmitočet 75 MHz, nastavíme ladící napětí na 27 V a cívku L_5 naladíme kmitočet 118 MHz. Signální generátor přepojíme na kolektor T_1 (přes kondenzátor asi 1 pF), nastavíme ladící napětí na 2,5 V

a trimry $R_{23}R_{18}$ nastavíme maximální signál na vývodu 7 IO_1 . Přepojíme generátor na vstup a trimry R_2R_7 nastavíme maxi-mum výstupního napětí. Ladící napětí nastavíme na 27 V, generátor přeladíme na 107,3 MHz a naladíme cívky $L_1L_2L_3$ a L_4 na maximální výstupní napětí.



Poznámky k použitým součástkám

Rezistory jsou typu TR 212. Rezistory s odpory většími než $100\text{ k}\Omega$ je lépe volit typu TR 151 (jsou stabilnější).

R ₁ , R ₅ , R ₆ , R ₁₆ ,	R ₄ , R ₁₃ , R ₃₃ , R ₅₀ ,	R ₂₀ 220 Ω
R ₁₇ , R ₂₂ , R ₂₅ ,	R ₅₈ , R ₈₄ , R ₃₁ - 1 $\text{k}\Omega$	R ₂₁ , R ₄₃ , 100 Ω
R ₃₄ , R ₇₃ , R ₇₉ 100 $\text{k}\Omega$	R ₉ , R ₁₀ , R ₁₁ 220 $\text{k}\Omega$	R ₄₆ , R ₅₂ 18 $\text{k}\Omega$
R ₂ , R ₇ , R ₁₈ ,	R ₁₂ , R ₃₇ , R ₆₄ , R ₆₅ ,	R ₂₆ , R ₃₂ 56 Ω
R ₂₃ , R ₂₈ 100 $\text{k}\Omega$,	R ₆₆ , R ₆₇ , R ₈₁ ,	R ₃₀ , R ₁₀₀ , 8,2 $\text{k}\Omega$
TP 008	TP 008	R ₁₀₈ 560 Ω
R ₃ , R ₈ , R ₁₉ ,	R ₈₅ , R ₁₁₂ 10 $\text{k}\Omega$	R ₃₅ , R ₅₁ 4,7 $\text{k}\Omega$
R ₂₄ , R ₂₉ 330 $\text{k}\Omega$,	R ₁₄ , R ₄₁ 68 Ω	R ₃₆ , R ₉₀ 47 Ω
	R ₄₄ , R ₈₉ , R ₉₂ 5,6 $\text{k}\Omega$	R ₃₇ , R ₇₇ 2,2 $\text{k}\Omega$

R ₄₅ , R ₇₂ , 3,3 $\text{k}\Omega$	R ₈₂ TP 011, 4,7 $\text{k}\Omega$.	R ₁₀₄ , R ₁₀₅ 56 $\text{k}\Omega$
R ₇₈ , R ₁₁₁ 820 Ω	R ₈₃ 150 Ω	R ₉₈ , R ₁₀₆ 1 M Ω
R ₄₈ 4,7 Ω	R ₈₆ , R ₁₀₁ , R ₁₀₉ 1,2 $\text{k}\Omega$	R ₁₀₇ 120 $\text{k}\Omega$
R ₄₉ 47 Ω	R ₈₈ , R ₉₃ 33 $\text{k}\Omega$	R ₁₁₀ 12 $\text{k}\Omega$
R ₅₅ 270 $\text{k}\Omega$	R ₉₄ , R ₁₀₂ 270 $\text{k}\Omega$	R ₁₁₄ 22 $\text{k}\Omega$
R ₅₆ , R ₇₀ , 10 $\text{k}\Omega$	R ₉₅ , R ₉₇ , 1 nF, TK 744	
R ₅₇ , 1 k Ω	C ₁ , C ₂ , C ₄ až C ₇ ,	
R ₆₀ , R ₆₁ , R ₈₇ , 100 $\text{k}\Omega$	C ₉ , C ₁₀ , C ₁₁ , C ₁₃ ,	
R ₆₂ , R ₁₁₅ , 1 k Ω	C ₁₄ , C ₁₆ až C ₁₈ ,	
R ₆₃ , 100 $\text{k}\Omega$	C ₂₀ , C ₂₂ , C ₄₂ 1 nF, TK 744	
R ₆₈ , R ₆₉ , 6,8 $\text{k}\Omega$	C ₃ , C ₆ , C ₁₅ , C ₂₁ ,	
R ₇₄ , R ₉₆ , R ₁₀₃ , 27 $\text{k}\Omega$	C ₂₉ , C ₉₃ 10 nF, TK 744	
R ₇₅ , 680 $\text{k}\Omega$	C ₁₂ 33 nF, TK 744	
R ₇₆ , 180 $\text{k}\Omega$		
R ₈₀ , R ₁₁₃ , 82 Ω		

Převážná většina kondenzátorů je keramických – plochých.

C₁, C₂, C₄ až C₇,

C₉, C₁₀, C₁₁, C₁₃,

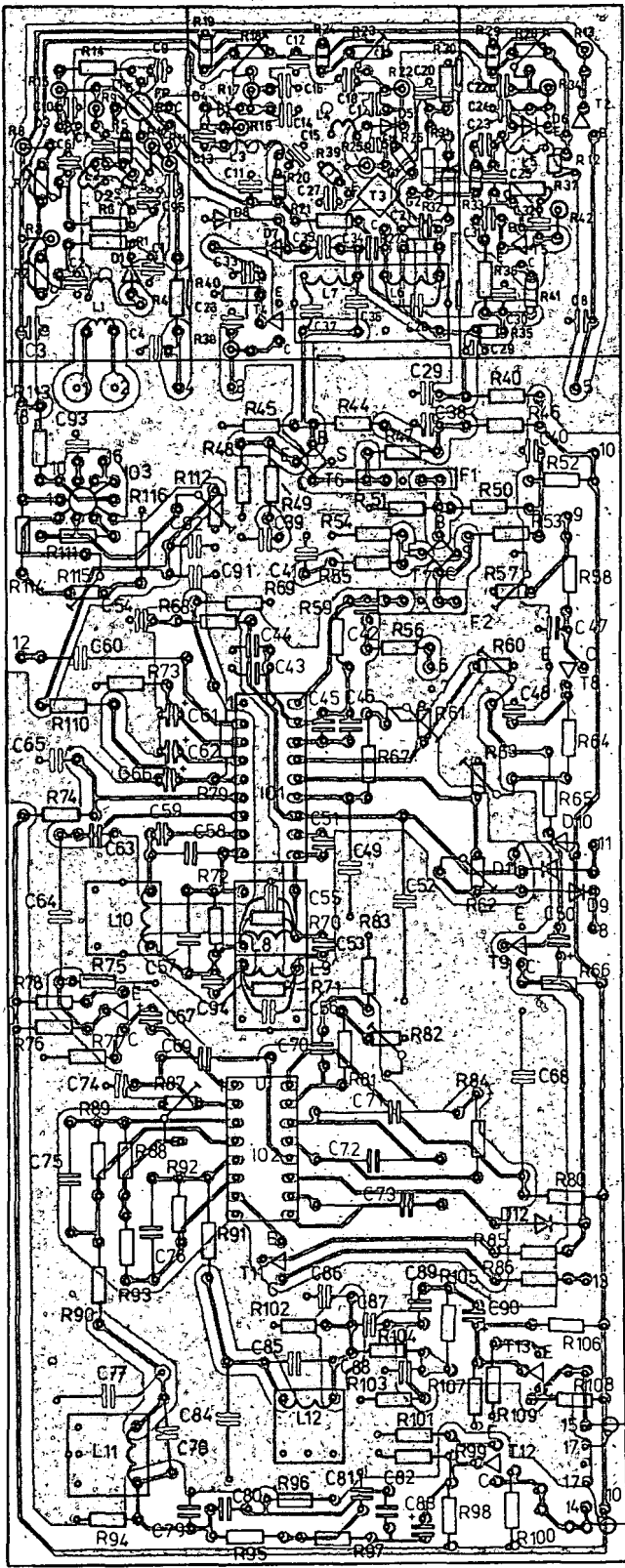
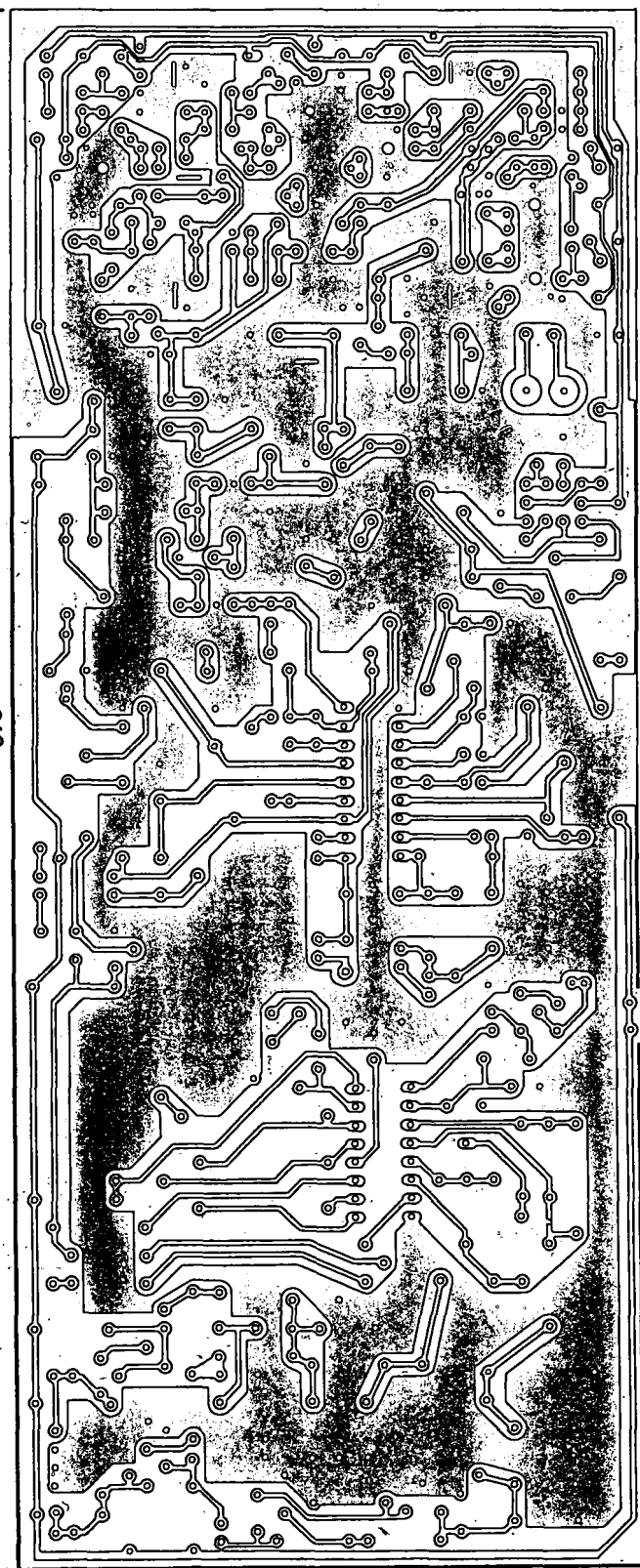
C₁₄, C₁₆ až C₁₈,

C₂₀, C₂₂, C₄₂ 1 nF, TK 744

C₃, C₆, C₁₅, C₂₁,

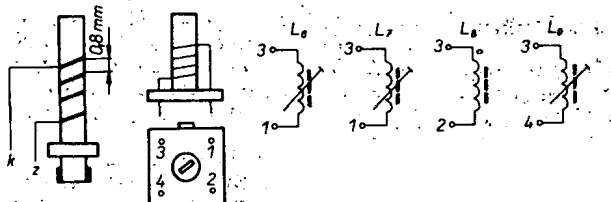
C₂₉, C₉₃ 10 nF, TK 744

C₁₂ 33 nF, TK 744



Obr. 67. Desky s plošnými spoji U230 a rozmištění součástek modulu F

Obr. 68. Cívky modulu F



Kostlička o \varnothing 4 mm, jádro M₃ × 0,5 × 8 mm, hmota N01P, L₁ = 10 z, 0,5 mm CuT, stoupání 0,8 mm, pravotoč., L'1 = 3/4 z, 0,5 mm CuT u dolní konci vinutí; L₂ = L₃ = L₄ = 10 z, 0,5 mm CuT, stoupání 0,8 mm, pravotoč., všechny s jádrem 205 536 304 508, L₆, L₇ – kostra a kryt z mědi transformátoru FM pro autopřijímače, jádro M4 × 0,5 × 12 mm, kryt dvojitý s přepážkou, L₆ = L₇ = 25 z, 0,125 mm CuT; L₈, L₉ – jádro, kostlička, kryt jako L₆, L₇; L₈ = L₉ = 8 z, 0,125 mm CuT; typové označení kostličky 1PA26052, vývodky 1PA49410, krytu 1PF69817 dvojitý (s přepážkou), L₁₀ – kostra, jádro, kryt jako L₁ ná obr. 65, 102 z, 0,1 mm CuL, 215 μ H; L₁₁, L₁₂ – hřídečkové jádro o \varnothing 14 mm, hmota H20, A_L = 160 nH/z, L₁₁ = L₁₂ = 790 z, 0,1 mm CuL, 100 mH.

T₁₂, T₁₃ KC239F

D₁, D₂, D₄

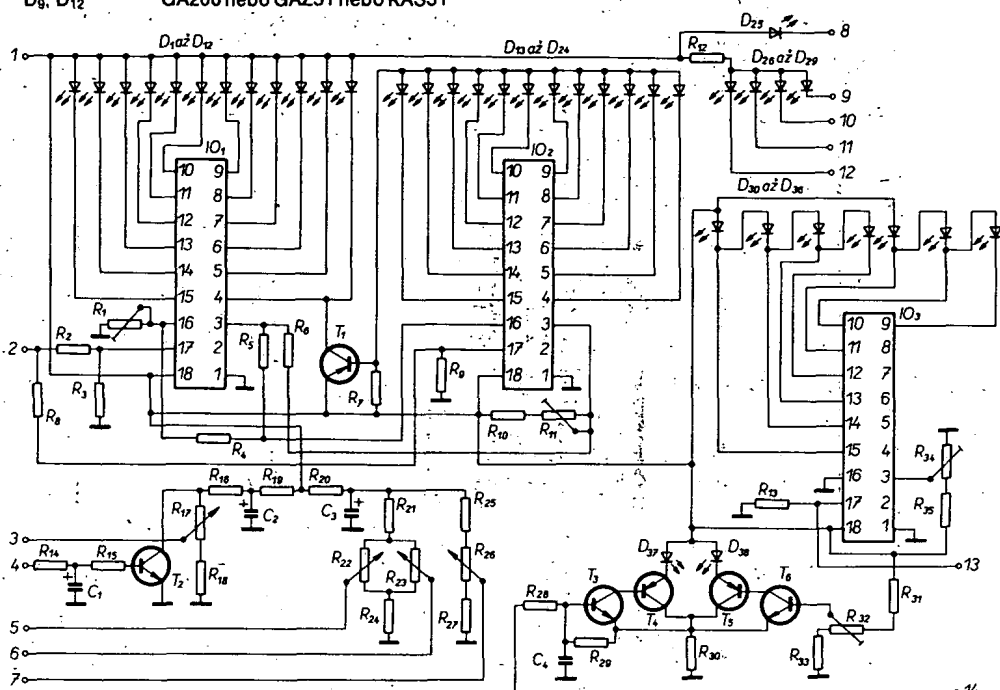
KB109G

D₃ KZ141 nebo KZ2605V1

D₇, D₈, D₁₀, D₁₁ KA206 nebo IN4148

D₉, D₁₂ GA206 nebo GAZ51 nebo KAS31

Jednotka VKV je umístěna v plechovém krytu (obr. 87), zhotoveném z pocínovaného plechu o \varnothing 0,5 mm. Zapojení modulu F je na obr. 66 a deska se spojí na obr. 67.

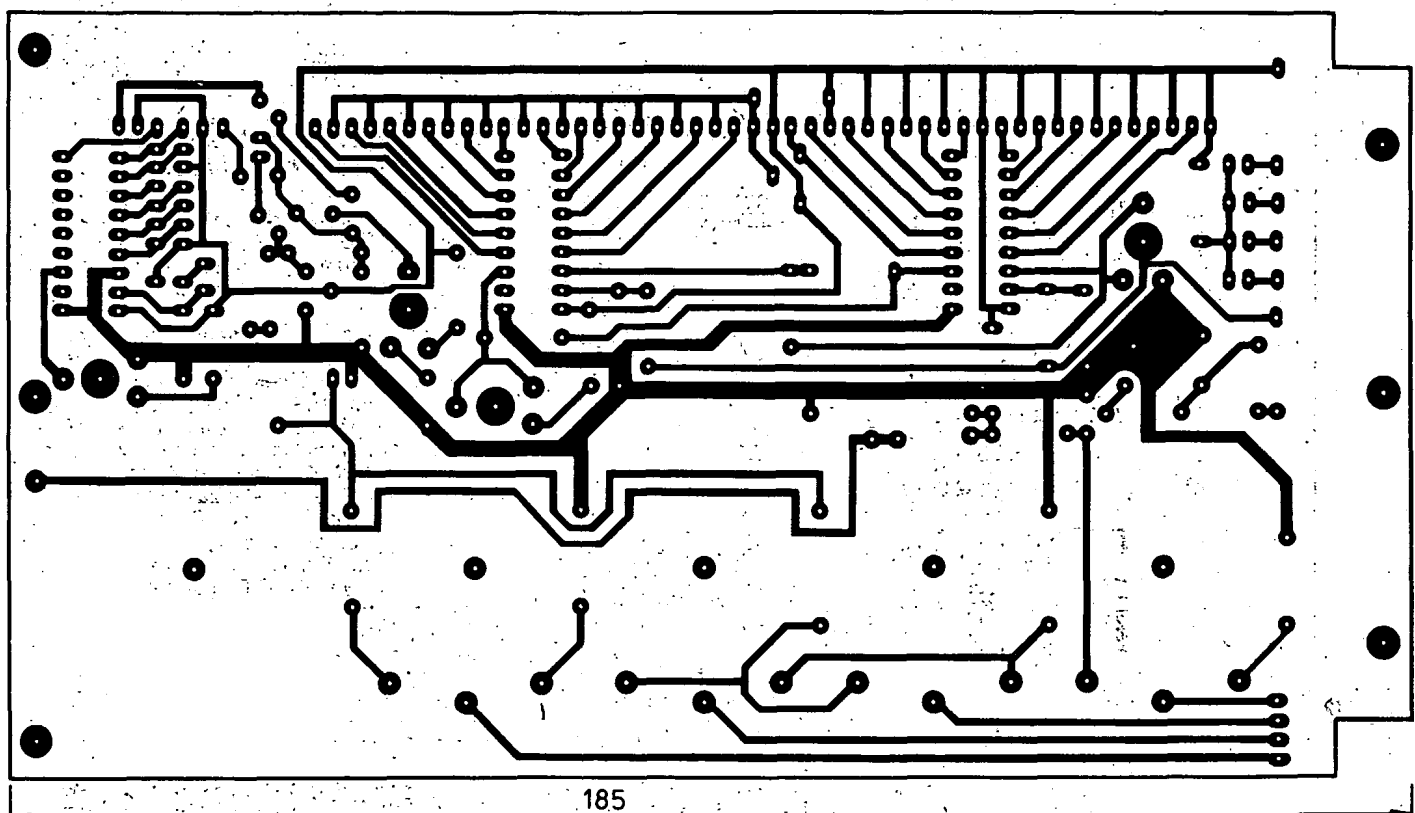


Obr. 69. Zapojení modulu F

C ₁₉	2,7 pF, TK 754
C ₂₃	2,2 pF, TK 755
C ₂₄	82 pF, TK 754
C ₂₅	5,6 pF, TK 754
C ₂₆ , C ₅₀ , C ₆₆	2 μ F, TE 005
C ₅₇ , C ₆₃ , C ₉₀	10 nF, TK 783
C ₂₇	56 pF, TK 754
C ₃₀ , C ₃₈ , C ₃₉ , C ₄₀	22 nF, TK 744
C ₄₁ , C ₄₃ , C ₄₆	4,7 pF, TK 754
C ₃₁	15 pF, TK 754
C ₃₂	100 pF, TK 754
C ₃₃ , C ₃₅ , C ₆₃	3,9 pF, TK 754
C ₃₄	68 pF, TK 754
C ₃₆	1 nF, TC 281
C ₄₄ , C ₄₅	68 nF, TK 783
C ₄₇ , C ₄₈	33 nF, TK 783
C ₄₉	2 μ F, TE 986
C ₅₁ , C ₅₉	33 pF, TK 754
C ₅₂ , C ₆₈	100 μ F, TE 984
C ₅₃ , C ₉₄	8,2 pF, TK 754
C ₅₄	22 nF, TK 744
C ₅₅ , C ₅₆	470 pF, TC 281
C ₅₇	1,8 nF, TC 281
C ₅₈	820 pF, TC 281
C ₆₀	330 nF, TC 215
C ₆₁	10 μ F, TE 003
C ₆₂	5 μ F, TE 004
C ₆₄ , C ₇₁	470 nF, TC 215
C ₆₅	50 μ F, TE 004
C ₆₉	47 nF, TC 217
C ₇₀ , C ₇₄	220 pF, TK 754
C ₇₂ , C ₇₃	220 nF, TC 215
C ₇₅ , C ₇₆	10 nF, TC 217
C ₇₇ , C ₈₄	4,7 nF, TC 281
C ₇₈ , C ₈₅	680 pF, TC 281
C ₇₉ , C ₈₁	150 pF, TK 754
C ₈₆ , C ₈₈	75 pF, TK 754
C ₈₀ , C ₈₂	100 nF, TK 783
C ₈₇ , C ₈₉	Místo elektrolytických kondenzátorů řady TE98, je možné použít kondenzátory z řady TF0.
C ₉₁ , C ₉₂	Provedení cívek a počty závitů jsou na obr. 68.

Položidločové součástky

IO ₁	A225D nebo TDA1047
IO ₂	UL1621N nebo TCA4500A
IO ₃	MAA723
T ₁ , T ₃	KF910
T ₂	KC237B
T ₄ , T ₈ , T ₉ , T ₁₁	KC238B
T ₅	KF125
T ₆ , T ₇	KF173
T ₁₀	KC308B,



Modul O = indikace a ovládání

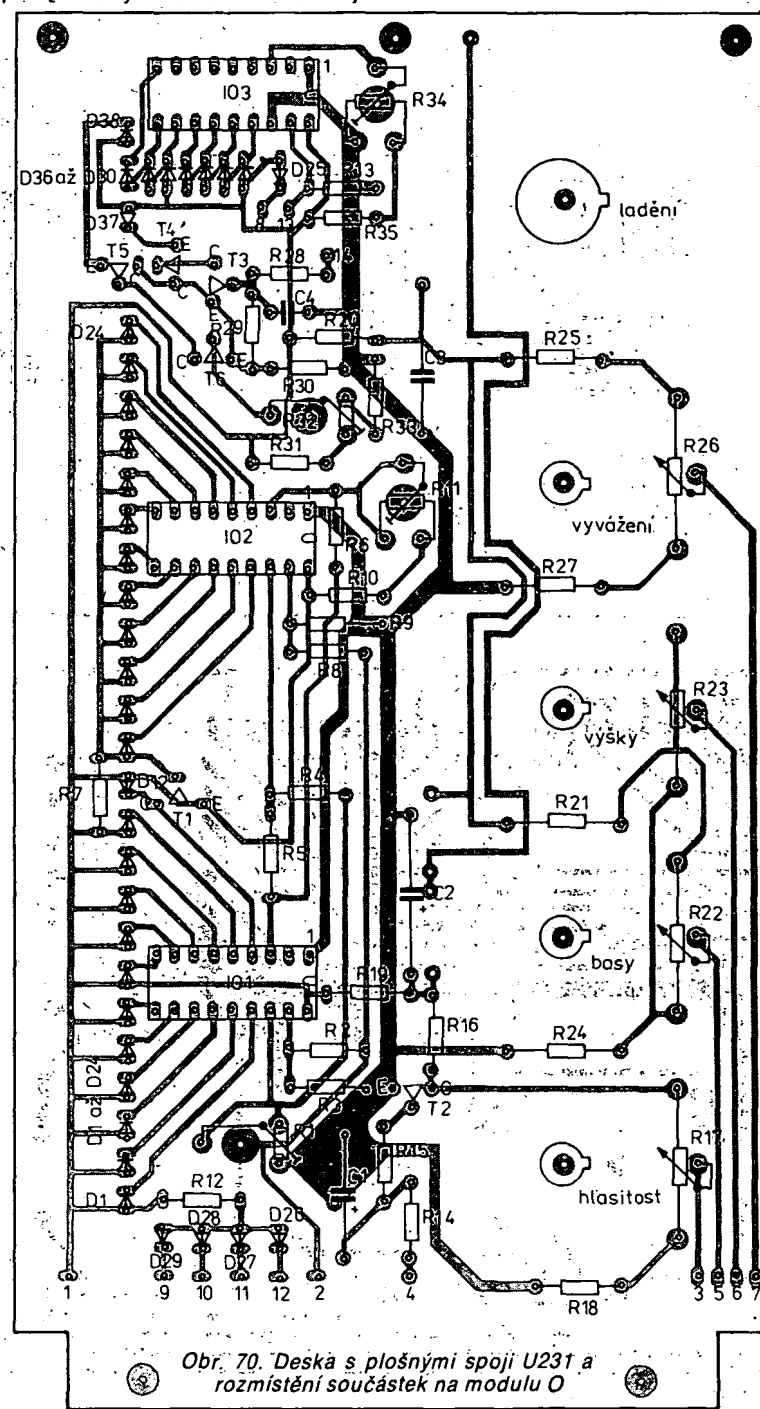
Zapojení modulu O je na obr. 69 a deska s plošnými spoji na obr. 70. Na modulu je umístěna stupnice s LED, indikátor síly pole s LED, indikátor rozladění, indikátor stereo, potenciometry hlasitosti, výšek, hloubek, vyvážení a ladící převod z rozebraného kanálového voliče „Hopt“ (použitý v televizních přijímačích ORAVA 236, ARAMIS, který je občas ke koupì v prodejnách s použitým zbožím). Přes tento převod je ovládán potenciometr ladícího napětí.

Stupnice pro indikaci přijímaných vysílačů je tvořena 24-svítivými diodami D₁ až D₂₄, integrovanými obvody IO₁, IO₂ a tranzistorem T₁, který zháší D₁₂, když svítí D₁₃. Při vypuštění tohoto tranzistoru by jinak svítily obě diody. Referenční napětí je nastaveno rezistory R₁, R₂, R₅, R₆, R₁₀, R₁₁. Napětí z ladícího potenciometru nebo předvolby je přivedeno na vývod 2 modulu O a přes R₂, R₃ na vstup IO₁, přes R₈, R₉ na vstup IO₂. Druhým funkčním celkem je

indikátor síly pole, IO₃, se svítivými diodami D₃₀, D₃₁ (červené), D₃₂, D₃₃ (žluté) a D₃₄, D₃₅, D₃₆ (zelené). Referenční napětí je nastaveno rezistory R₃₄, R₃₆. Signál je přiveden na indikátor přes vývod 13 modulu O.

Diody D₂₆ až D₂₉ indikují zvolený vlnový rozsah (VKV, KV, SV a DV). Třetím funkčním celkem na modulu O je indikátor rozladění. Svítivá dioda D₃₇ indikuje rozladění k nižším kmitočtům a D₃₈ rozladění k vyšším kmitočtům než na jakém vysílá požadovaná naladěná stanice. Svítivé diody jsou řízeny diferenciálním zesilovačem T₃ až T₆. Řídící napětí pro indikátor je přiváděno přes vývod 14 modulu O z vývodu 5 IO₁ na modulu F.

Posledním funkčním celkem jsou ovládací potenciometry R₁₇ (hlasitost), R₂₂ (výšky), R₂₃ (hloubky) a R₂₆ (vyvážení). Tranzistor T₂ zkratuje řídící napětí pro hlasitost při přepínání mžikového kontaktu na bloku předvoleb a tím umlouvá n f zesilovač. Kondenzátor C₁ je určena doba, po níž zesilovač „nabíhá“ na původně nastavenou hlasitost.



Obr. 70. Deska s plošnými spoji U231 a rozmištění součástek na modulu O

Postup nastavení

Na vývod 1 modulu O připojíme napětí 15 V. Na vývod 2 připojíme proměnné napětí 0,5 až 28 V. Při napětí 0,5 V nastavíme trimrem R₁ rozsvícení D₁. Přepneme na 28 V a trimrem R₁ nastavíme rozsvícení D₂₄. Poté měníme ladící napětí od 0,5 V do 28 V a sledujeme, rozsvěcují-li se jednotlivé svítivé diody (závislost by měla být lineární). Na vývod 13 modulu O přivedeme napětí 0 až 3 V a sledujeme rozsvícení svítivých diod D₃₀ až D₃₆. Podle potřeby můžeme měnit citlivost indikátoru trimrem R₁₁. Před nastavením indikátoru rozladění si zjistíme napětí na vývodu 5 IO₁ modulu F při vyladěné stanici ($f_{\text{OK}} = 0$). Toto napětí přivedeme na vnitřního zdroje na vývod 14 modulu O a trimrem R₃₂ zatočíme tak, aby nesvítila ani D₃₇ ani D₃₈.

Před připojením ovládacích potenciometrů k modulu S zkontrolujeme napětí na vývodu 3 modulu 0, které by mělo být v rozsahu 0,5 V až 4,8 V, na vývodech 5 až 6 v rozsahu 1,8 V až 9,5 V a na vývodu 7 v rozsahu 0,9 až 9,8 V. Jako poslední ověříme funkci T₂. Na kolektor T₂ připojíme ss voltmetr a napětí na něm by mělo být 4,8 V. Po připojení napětí 15 V na vývod 4 modulu O se toto napětí změní na 0,2 V. Po odpojení napětí 15 V z vývodu 4 se napětí na kolektoru T₂ pomalu zvětší na původních 4,8 V.

Všechny použité rezistory jsou typu TP 212, odpornové trimry jsou typu TP 012.

R ₁ , R ₃₂	4,7 kΩ	R ₁₃ , R ₃₁ , R ₃₃	10 kΩ
R ₂ , R ₈	39 kΩ	R ₁₅	47 kΩ
R ₃	15 kΩ	R ₁₇ , R ₂₂	
R ₄	6,8 kΩ	R ₂₃ , R ₂₆	10 kN
R ₅ , R ₂₄	1,2 kΩ		TP 280, 32E
R ₆	8,2 kΩ	R ₂₁	1,8 kΩ
R ₇	68 Ω	R ₂₅	2,7 kΩ
R ₉ , R ₁₄ , R ₁₆ , R ₃₅	22 kΩ	R ₂₈	100 kΩ
R ₁₀	56 kΩ	R ₂₉	1 MΩ
R ₁₁	47 kΩ	R ₃₀	270 Ω
R ₁₂ , R ₁₈ , R ₁₉		R ₃₄	10 kΩ
R ₂₀ , R ₂₇	1 kΩ		

Kondenzátory

C ₁	1 μF, TE 988
C ₂ , C ₃	100 μF, TE 984
C ₄	100 nF, TK 783

Položodičové prvky

D ₁ až D ₂₄		D ₃₂ , D ₃₃	LO1512
D ₃₄ až D ₃₆	LQ1812	D ₃₇ , D ₃₈	LQ1102
D ₂₅ , D ₂₆ , D ₂₉	LQ1112		
D ₂₇	LQ1712	T ₁ , T ₄ , T ₅	KC308B
D ₂₈	LQ1412	T ₂ , T ₃ , T ₆	KC238B
D ₃₀ , D ₃₁	LQ1212	IO ₁ až IO ₃	A277D

Modul P-předzesilovač a elektronický přepínač

Modul P je sestaven ze čtyř funkčních celků – předzesilovače pro magnetickou přenosku, oddělovacího zesilovače, elektronického přepínače, a vazebního zesilovače.

Předzesilovač pro magnetickou přenosku zaručuje kmitočtový průběh podle RIAA. Dále si popísemme zpracování signálu v jednom kanálu. Signál z magnetické vložky je připojen na konektor K₂, při krystalové vložce je nutné vložku zapojit do konektoru K₁, který je s K₂ propojen rezistorem R₃. R₁, R₂ jsou zakončovací rezistory krystalové vložky. Podobně R₆, R₈ jsou zakončovací rezistory pro magnetickou vložku. Signál z K₂ je veden přes protihlukový filtr C₁, C₂, R₄ a oddělovací rezistor R₅ na vstup IO₁. Kondenzátor C₂₈ potlačuje vý signály (dlouhovlnné a středovlnné stanice). Mezi výstup IO₁ a jeho druhý výstup je zapojena záporná zpětná vazba R₁₅, R₁₇, R₁₉, C₇, C₉. Pracovní bod IO₁ lze

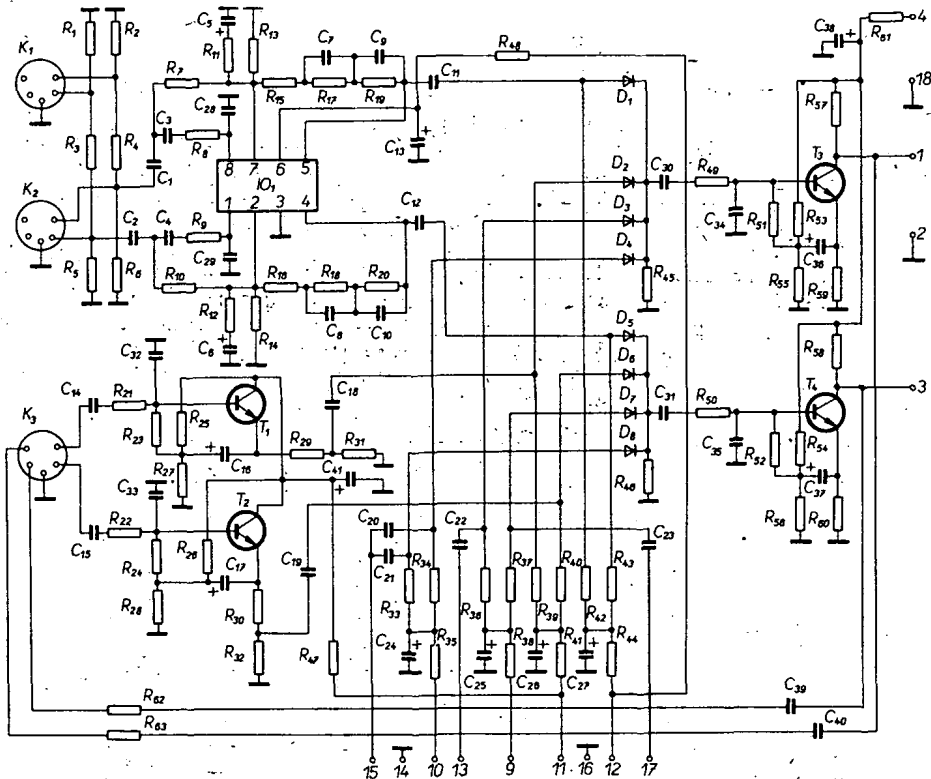
Obr. 71. Zapojení modulu P

ovlivnit rezistorem R_{13} a zesílení rezistorem R_{11} . Z výstupu IO_1 je signál veden přes C_{11} na vstup elektronického přepínače. Oddělovací zesilovač slouží k oddělené vstupu magnetofonu při přehrávání od elektronického přepínače. Signál je přes $C_{14}R_{21}$ veden do báze T_1 . Kondenzátor C_{32} zkratuje výstupní signál podobně jako C_{28} . Pracovní bod T_1 je nastaven rezistory $R_{23}R_{25}R_{27}$. Signál je odebíráno z emitorového děliče $R_{26}R_{31}$ a přes C_{18} přivedeno na elektronický přepínač signálů.

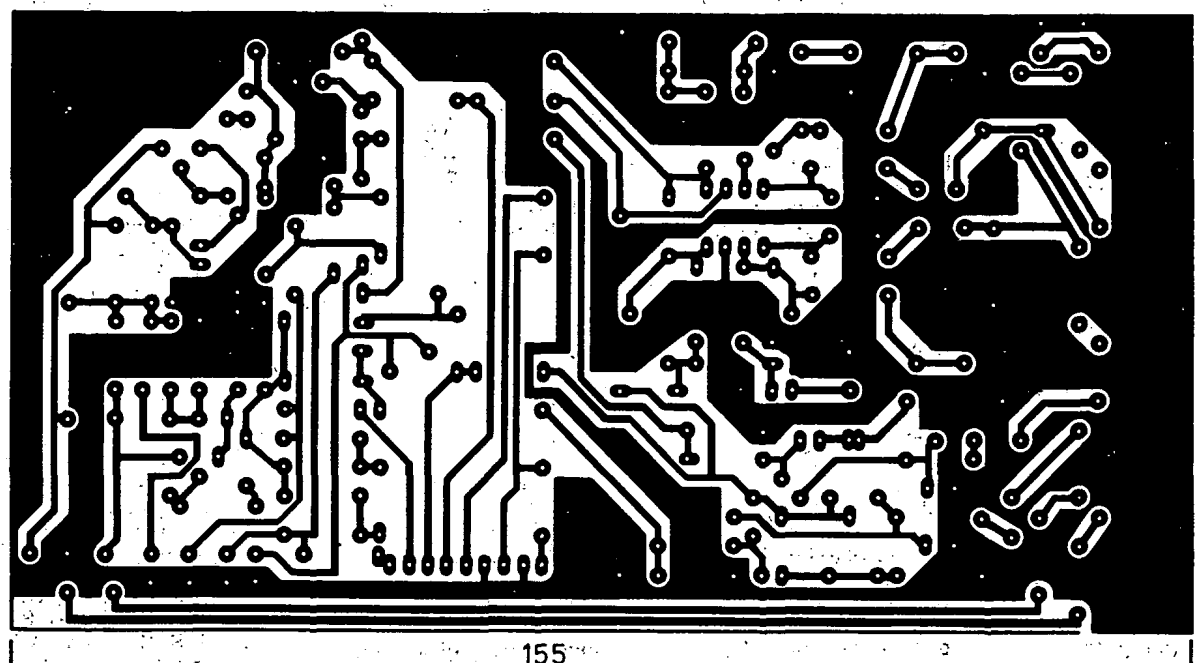
Elektronický přepínač signálů je diodový. D_1D_5 vedou při připojení napětí 15 V na vývod 12 modulu P. Průtokem proudu přes $R_{44}R_{42}$ se na R_{45} vytvoří úbytek napěti, kterým jsou ostatní diody uzavřeny. Současně je přes R_{48} přivedeno napětí na předzesilovač magnetického přenosky.

V celém přijímači platí, že nefunkční obvody nemají napájecí napětí.

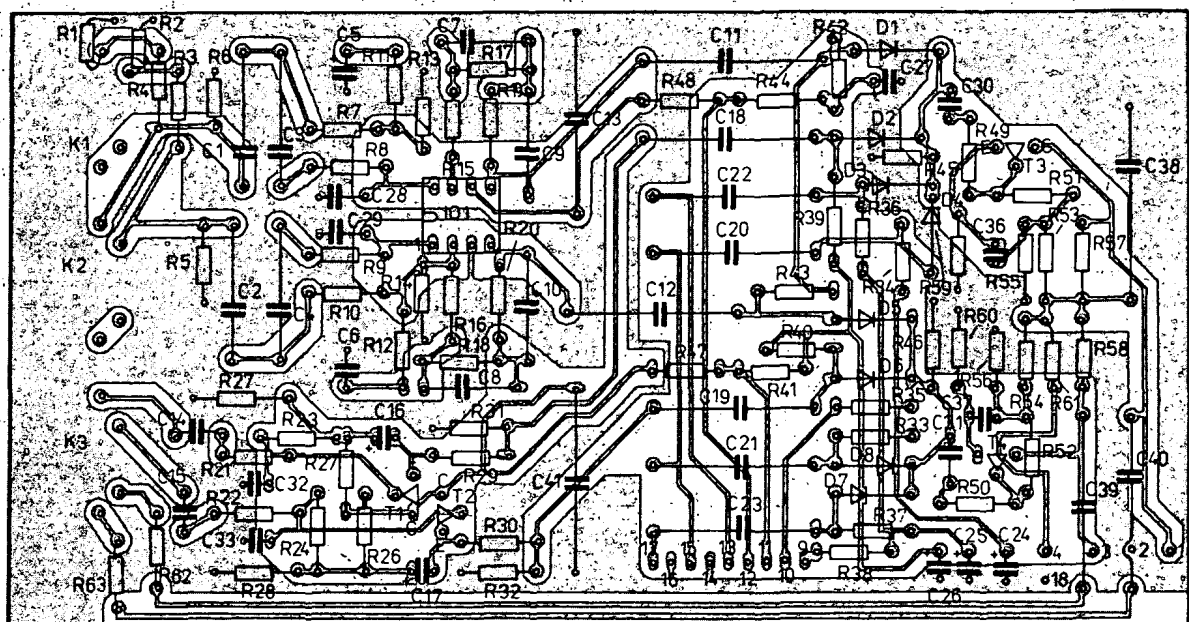
Po připojení napětí na vývod 11 modulu P se sepnou D_2D_6 a oddělovací zesilovač dostane napájecí napětí, takže je připojen magnetofonový vstup K_3 . Vývod 10 je napájen z modulu A, takže diody D_4D_8 vedou při sepnutí tlačítka KV, SV nebo DV. Diody D_3D_7 vedou při VKV. Kondenzátory $C_{20}C_{21}$ jsou oddělovací při KV, SV nebo DV a C_{22}, C_{23} při VKV. $C_{24}C_{25}C_{26}$ a C_{27} filtrují

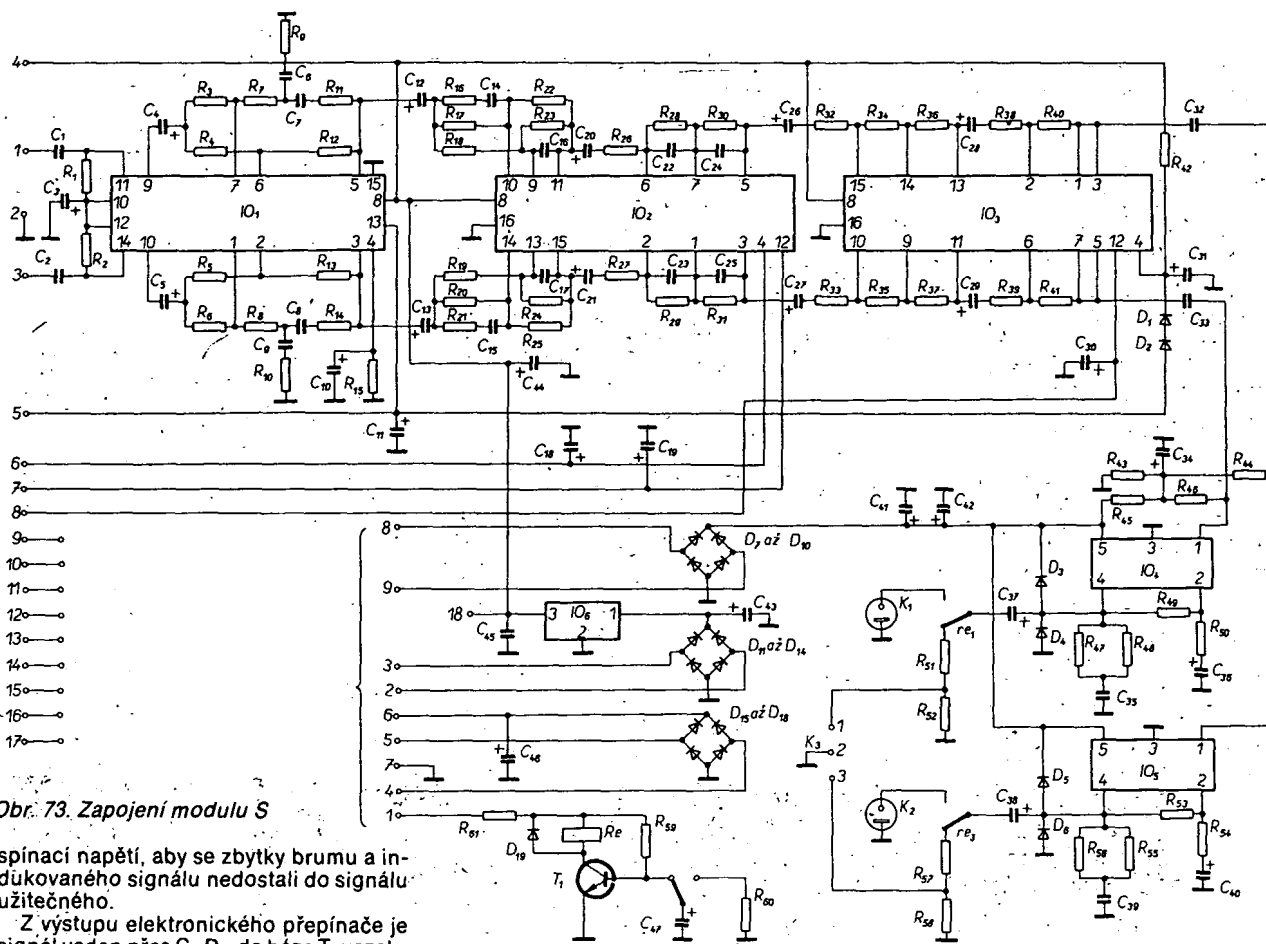


Obr. 72. Deska s plošnými spoji U232 a rozmištění součástek modulu P



155





Obr. 73. Zapojení modulu S

spínací napětí, aby se zbytky brumu a indukovaného signálu nedostali do signálu užitečného.

Z výstupu elektronického přepínače je signál veden přes $C_{30}R_{49}$ do báze T_3 vazebního zesilovače. Aby nepronikl v signál do tohoto zesilovače, je dō báze zapojen C_{34} . Pracovní bod vazebního zesilovače je nastaven $R_{51}R_{53}R_{55}R_{59}$. Zesílení zesilovače lze měnit změnou poměru $R_{57}:R_{59}$. Z výstupu je signál veden do vstupu koncového zesilovače na modulu S a na K_3 přes $C_{40}R_{63}$ (vstup pro nahrávání).

Zapojení modulu P je na obr. 71 a deska s plošnými spoji na obr. 72. Držák konektorů je na obr. 76. Po připojení napětí 15 V do bodů 4 a 12 připojíme na výstup 1 milivoltmetr a na K_2 připojíme tónový generátor. Nastavíme jeho vystupní napětí na 2 mV při 1 kHz a zjistíme výstupní napětí. Při kontrole kmitočtové charakteristiky udržujeme konstantní vstupní napětí a kontrolujeme, odpovídá-li kmitočtová charakteristika charakteristice RIAA. Pokud je tomu tak, přeponíme generátor na K_3 a zkонтrolujeme kmitočtovou charakteristiku oddělovacího zesilovače. Před kontrolou je nutné napětí 15 V z vývodu 12 přepojit na vývod 11. Dále po připojení 15 V z vývodu 11 na vývod 10 a připojení generátoru do bodu 15 kontrolyme vstup AM a při napětí 15 V na vývodu 9 a generátoru na vývodu 17 kontrolujeme vstup VKV.

Všechny rezistory jsou typu TR 212.

R_1, R_2	56 k Ω	R_{31}, R_{32}	6,8 k Ω
R_3, R_4	1,2 M Ω	R_{33}, R_{34}, R_{36}	
R_5, R_6, R_{23}, R_{24}		R_{37}, R_{39}, R_{40}	
R_{51}, R_{52}	47 k Ω	R_{42}, R_{43}	68 k Ω
R_7, R_{10}	180 k Ω	R_{35}, R_{38}	
R_8, R_9	470 Ω	R_{41}, R_{44}	4,7 k Ω
R_{11}, R_{12}	270 Ω	R_{45}, R_{46}	150 k Ω
R_{13}, R_{14}	33 k Ω	R_{47}	1 k Ω
R_{15}, R_{16}	680 Ω	R_{48}	100 Ω
R_{17}, R_{18}		R_{53}, R_{54}	560 k Ω
R_{49}, R_{50}	22 k Ω	R_{55}, R_{56}	270 k Ω
R_{19}, R_{20}, R_{21}		R_{57}, R_{58}	3,9 k Ω
R_{22}, R_{25}, R_{26}	220 k Ω	R_{59}, R_{60}	3,3 k Ω
R_{27}, R_{28}	680 k Ω	R_{61}	1 k Ω
R_{29}, R_{30}	5,6 k Ω	R_{62}, R_{63}	470 k Ω

Kondenzátory

C_1 až C_4	100 nF, TC 215
C_5, C_6	50 μ F, TE 004

C_7, C_8	3,9 nF, TC 281
C_9, C_{10}	12 nF, TC 218
C_{11}, C_{12}, C_{18}	
C_{19}, C_{20}, C_{21}	
C_{22}, C_{23}	470 nF, TC 215
C_{13}, C_{38}, C_{41}	100 μ F, TF 010
C_{14}, C_{15}	
C_{30}, C_{31}	22 nF, TK 744
C_{16}, C_{17}	
C_{36}, C_{37}	2 μ F, TE 005
C_{24}, C_{25}	
C_{26}, C_{27}	5 μ F, TE 004
C_{28}, C_{29}	
C_{32} až C_{35}	100 pF, TK 754
C_{39}, C_{40}	470 nF, TC 215

Položidicové součástky

D_1 až D_8	KA136 nebo KA206
T_1 až T_4	KC239B nebo KC508
IO_1	BM387 (LM387)

Máme-li konektory pro plošné spoje, lze je zapojit přímo do desky s plošnými spoji. Jinak je nutné použít „vaničku“ a do ní umístit konektory 6AF 28221. Deska P je připevněna kolmo k desce S a s ní propojena drátovými spojkami. Všechny spoje (kromě přívodu signálu z modulů A a F) jsou zhotoveny nestíněnými vodiči.

Modul S-koncový zesilovač a napájecí zdroj

Modul S je sestaven ze tří funkčních celků - korekčního zesilovače, koncového zesilovače a napájecího zdroje. Zapojení je na obr. 73 a deska se spojí na obr. 74.

Signál z modulu P je veden do korekčního zesilovače přes C_1 na vývod 11 IO₁ a z výstupu (vývod 9 IO₁) zesilovače vyvážení přes C_4 na korekční člen fyziologické regulace. Regulace vyvážení v prvním zesilovači byla vypuštěna, vzhledem k tomu, že při plném zesílení (regulátor hlasitosti na maximu) nepracuje, tzn. že regulace vyvážení je závislá na nastavení

hlasitosti. Korekční člen fyziologické regulace hlasitosti je tvořen obvodem $R_1C_6R_9C_7R_{11}$. Fyziologickou regulaci je možné odpojit odpojením rezistoru R_{15} od vývodu 4 IO₂. Hlasitost se v daném zapojení reguluje dvoustupňově, v prvním stupni změnou napětí na vývodu 13 IO₁. Z výstupu regulátoru hlasitosti (vývod 5 IO₁) je signál veden dō obvodu regulace výšek. Rezistor R_{16} omezuje zdůraznění výšek. Z výstupu regulátoru výšek (vývod 11 IO₂) je signál přes C_{20} veden do korektoru hľoubek $R_{28}C_{22}R_{30}C_{24}$. Kondenzátor C_8 je omezen přenos vysokých kmitočtů. Výšky se regulují změnou napětí na vývodu 12 IO₂, hľoubky změnou napětí na vývodu 4 IO₂. Z výstupu korektoru hľoubek je signál veden přes $C_{26}R_{32}$ na obvod vyvážení $R_{34}R_{36}$, tj. na vývody 13, 14, 15 IO₃. Činnost tohoto obvodu vyvážení není závislá na nastavení hlasitosti. Vyvážení se řídí změnou napětí na vývodu 12 IO₃. Z výstupu regulátoru vyvážení je signál veden na druhý regulátor hlasitosti $R_{38}R_{40}$, který je ovědán napětím na vývodu 4 IO₃. Diody D_1D_2 posouvají začátek regulace hlasitosti v IO₃. Toto zapojení korekčního zesilovače má hlavní výhodu ve zlepšeném odstupu rušivých signálů, ve zvětšeném rozsahu regulace hlasitosti a v nezávislosti regulace vyvážení na poloze regulátoru hlasitosti.

Signál z výstupu (vývody 1 a 3 IO₃) je veden přes C_{32} do koncového zesilovače IO₄. Vzhledem k tomu, že uvedený IO je určen pro symetrické napájení, je nutné na vývod 1 IO₄ dodat poloviční napájecí napětí. To je vytvořeno pro oba koncové stupně (IO₄ a IO₅) společným děličem $R_{43}R_{45}$. Odpor rezistorů tohoto děliče by měl být vybrán s přesností 1 %. Vstupy

jsou od děliče odděleny rezistory R_{44} a R_{45} , které mají mít co největší odpor, aby se nezvětšovaly přeslechy mezi oběma kanály. Zesílení koncového stupně zesilovače je dáno poměrem $R_{49}:R_{50}$. Stupeň zpětné vazby ovlivňuje i zkreslení koncového stupně. Po zesílení je signál z vývodu IO_4 veden přes C_{37} na kontakt relé, které je v klidové poloze přepnuto na dělič $R_5 R_{52}$ – výstup na sluchátka. Při sepnutém relé je výstup připojen na reproduktový konektor K_1 . Proti výkmitání je na výstupu připojen Boucherotův článek $R_{47}R_{48}C_{38}$. IO je proti napěťovým špičkám na záteži chráněn diodami D_3D_4 , které musí reagovat velmi rychle, aby zachytily i rychlé změny špičkového napětí.

Součástí zesilovače je i obvod pro zpožděné spínání zesilovače T_1 , $-Re$, D_{19} , R_{59} , C_{47} , R_{60} , R_{61} . Doba zpožděného sepnutí je dána časovou konstantou $R_{59}C_{47}$ a je

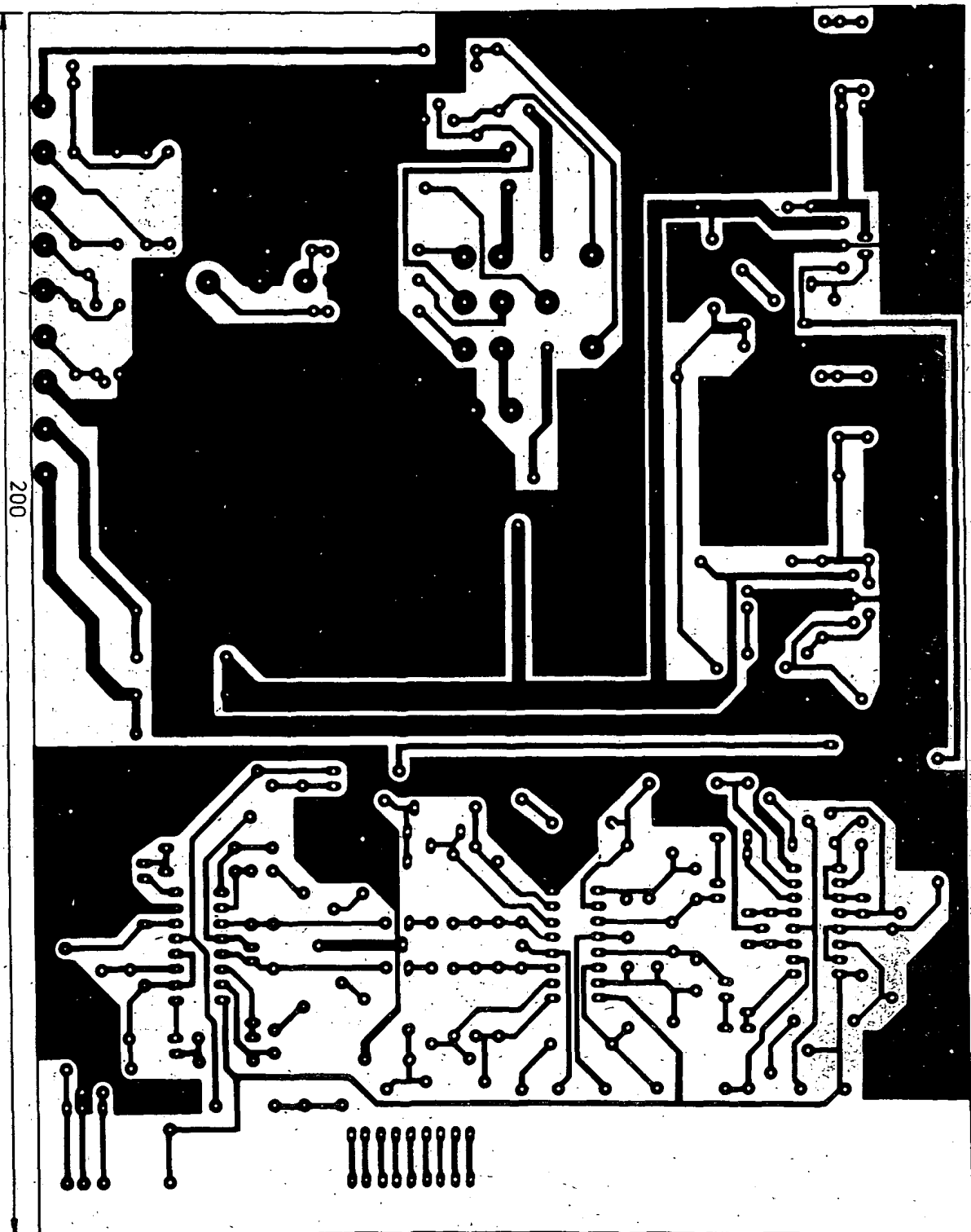
asi 4 s. Rezistor R_{60} vybíjí C_{47} , takže je možné ihned po vypnutí zesilovače znovu zapnout, aniž by se vyskytly rušivé jevy. Připojování reproduktoru kontakty relé zabezpečuje, že se po zapnutí neozvou z reproduktoru rušivé zvuky, které vznikají při ustalování poměrů v napájecích zdrojích.

Poslední částí modulu S je napájecí zdroj. K napájení koncových zesilovačů slouží můstkový usměrňovač D_7 až D_{10} s filtračními kondenzátory C_{41} a C_{42} , k napájení ostatních funkčních celků slouží můstkový usměrňovač D_{11} až D_{14} s filtračním kondenzátorem C_{43} a stabilizačním rezistorom IO_6 , který je upevněn na zadní stěně skříně vedle chladiče koncových stupňů.

Pro stabilizátor ladícího napětí na modulu F je určen zdroj s můstkovým usměrňovačem D_{15} až D_{18} a filtračním kondenzátorem C_{46} .

Postup kontroly a nastavení

Nejprve ke zdroji, připojme síťový transformátor a voltmetrelem zkontrolujeme napětí na výstupech jednotlivých zdrojů. Poté připojme na K_1 i K_2 zatěžovací rezistory s odpory 4Ω a zkontrolujeme funkci obvodu relé. Na zatěžovací rezistory připojme nf milivoltmetr. Pozor – zem konektoru musí být shodná se zemí milivoltmetru, jinak znicíme IO_4 a IO_5 . Nf generátor připojme na C_{33} a zkontrolujeme kmitočtovou charakteristiku IO_4 , která by měla být rovná alespoň do 20 kHz . Pak vytvoříme regulátor hlasitosti naplně, regulátor hloubek a výšek dáme do středu a rovněž i regulátor vyvážení. Nf generátor přepojíme na vstup 1 modulu S a zkontrolujeme kmitočtovou charakteristiku v pásmu 10 Hz až 25 kHz . Změnou polohy regulátoru vyvážení můžeme zkontrolo-



vat jeho činnost a rovněž i činnost regulátoru hloubek a výšek.

Poznámky k součástkám a konstrukci

Na pozici D₃ až D₆ je bezpodmínečně nutné použít rychlé diody 1A. IO₁ a IO₅ jsou připevněny na společném chladiči (obr. 75), na němž jsou upevněny i konektory K₁ a K₂. Sluchátkový konektor je připojen k zesilovači přes konektor K₃ a napětí ze síťového transformátoru je přivedeno přes konektor K₄.

Převážná většina rezistorů je typu TR 212.

R ₁ , R ₂	270 kΩ	R ₁₂ , R ₁₃ , R ₃₂ až R ₃₇ ,
R ₃ , R ₆ , R ₅₉	18 kΩ	R ₄₀ , R ₄₁ 120 kΩ
R ₄ , R ₅	33 kΩ	R ₁₅ 820 Ω
R ₇ , R ₈		R ₁₆ , R ₂₁ 2,2 kΩ
R ₂₆ , R ₂₇	12 kΩ	R ₁₇ až R ₂₀
R ₉ , R ₁₀	560 Ω	R ₂₂ až R ₂₅ 39 kΩ
R ₁₁ , R ₁₄ , R ₄₂	10 kΩ	R ₂₈ , R ₂₉ 180 kΩ

R ₃₀ , R ₃₁	12 kΩ	R ₄₇ , R ₄₈	2,2 Ω	C ₂₀ , C ₂₁	1 μF, TE 988
R ₃₈ , R ₃₉	68 kΩ	R ₅₅ , R ₅₆	150 kΩ	C ₂₆ až C ₃₀	1,8 nF, TC 281
R ₄₃ , R ₄₅	56 kΩ/1 %	R ₄₉ , R ₅₃	4,7 kΩ	C ₁₄ až C ₁₇	33 nF, TC 235
R ₄₄ , R ₄₆	100 kΩ	R ₅₀ , R ₅₄		C ₂₂ , C ₂₃	120 pF, TK 754
R ₅₁ , R ₅₇	220 Ω, TR 152			C ₃₁	50 μF, TE 984
R ₅₂ , R ₅₈ , R ₆₀	100 Ω, TR 152			C ₃₄ , C ₄₄	100 μF, TF 010
R ₆₁	100 Ω, TR 212			C ₃₅ , C ₄₀	5 μF, TE 004

Kondenzátory

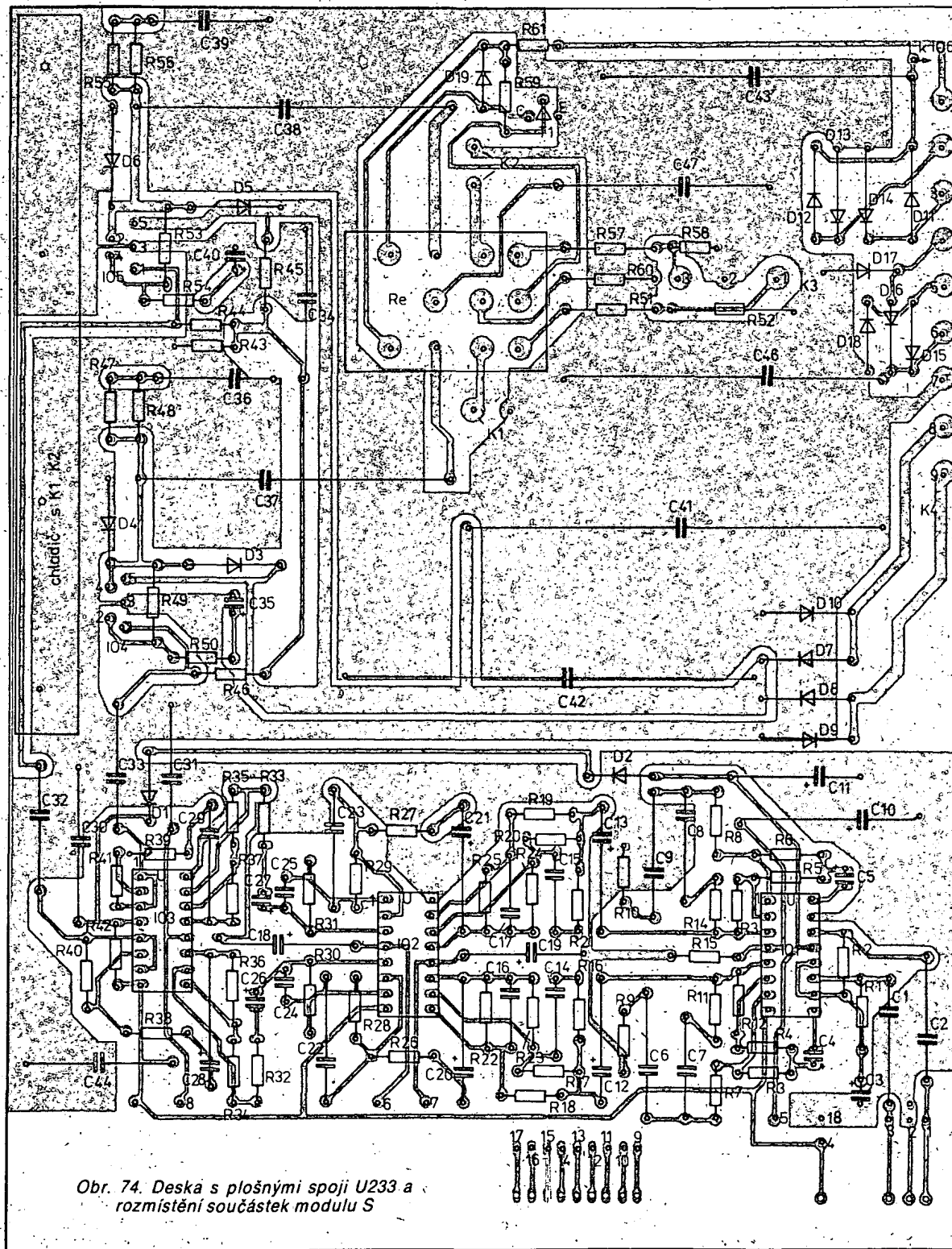
Místo kondenzátorů TC 281 je možné použít kondenzátory TGL 5155 a místo kondenzátorů řady TE 98, kondenzátory řady TF 0.

C₁, C₂, C₃₂, C₃₃

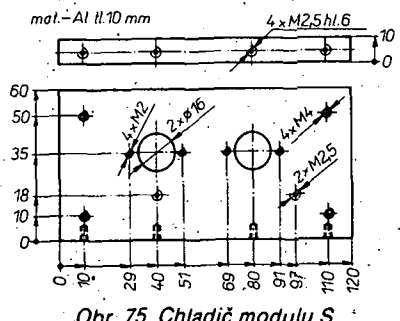
C ₃₆ , C ₃₉	220 nF, TC 215
C ₃	50 μF, TE 002
C ₄ , C ₅	2 μF, TE 005
C ₆ , C ₉	15 nF, TC 218
C ₇ , C ₈	8,2 nF, TC 281
C ₁₀	500 μF, TE 980
C ₁₁ , C ₁₂ , C ₁₃	
C ₁₈ , C ₁₉	1 μF, TE 988

Položdičové součástky

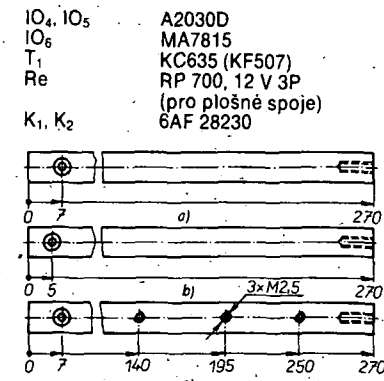
D ₁ , D ₂ , D ₁₉	KA206
D ₃ , D ₄ , D ₅ , D ₆	KY197
D ₇ až D ₁₀	IN5402
D ₁₁ až D ₁₄	KY132/150
D ₁₅ až D ₁₈	KY130/150
IO ₁	A273D
IO ₂ , IO ₃	A274D



Obr. 74. Deska s plošnými spoji U233 a rozmištění součástek modulu S



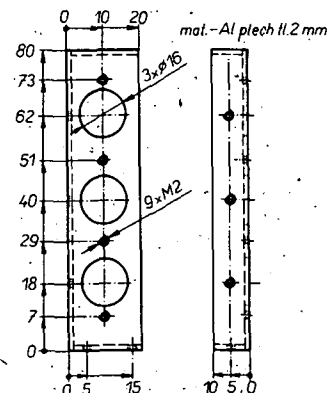
Obr. 75. Chladič modulu S



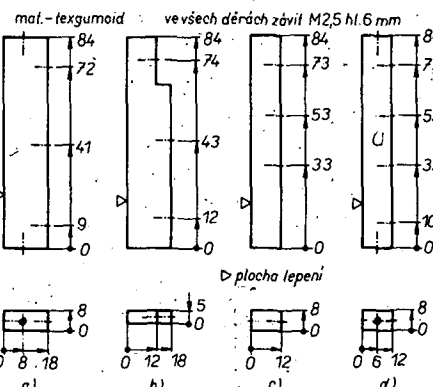
K₃ WK 18022
K₄ WK 18027

Jako samostatné celky jsou blok předvolby, blok přepínačů a siťový transformátor.

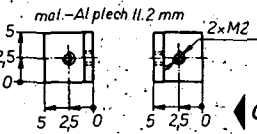
Obr. 81. Rozpěrné tyče



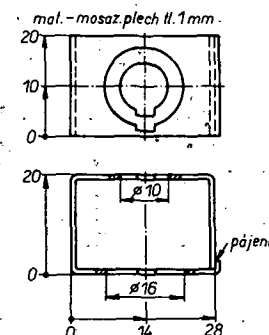
Obr. 76. Držák konektorů na modulu P



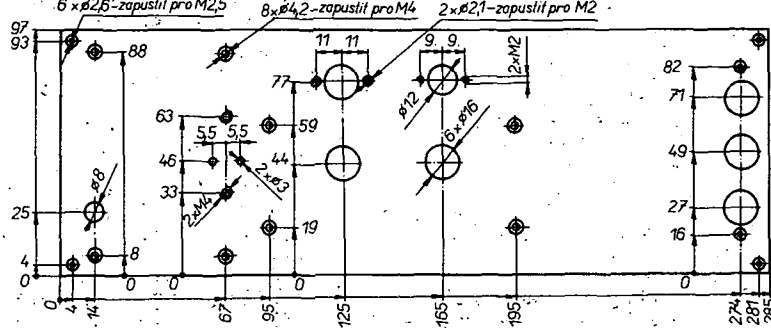
Obr. 80. Držáky modulu 0, předvolby a bloku tlačítek



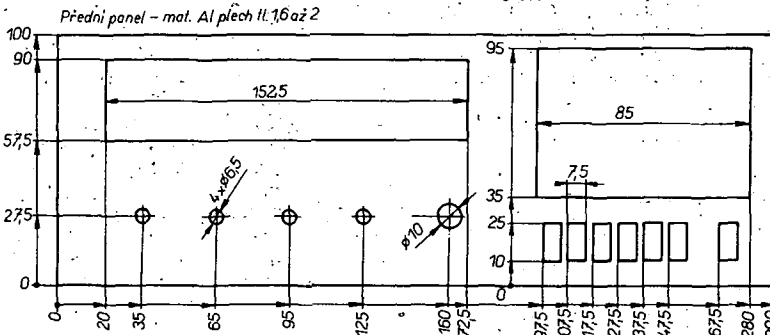
Obr. 77. Držák modulu P



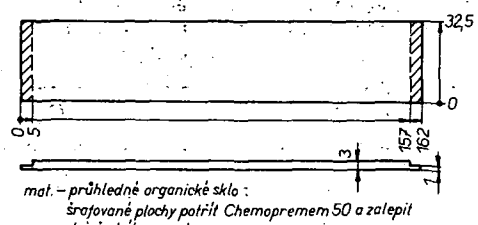
Obr. 82. Držák potenciometru ladění



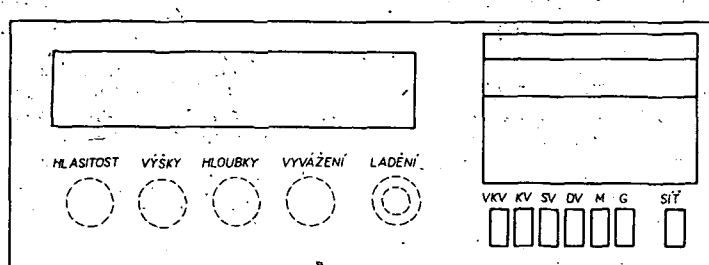
Obr. 78. Zadní panel



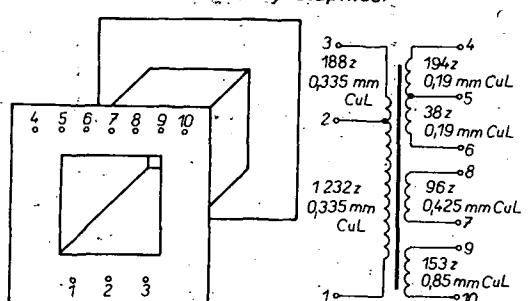
Přední panel - mat. Al plech tl. 1,6 až 2



oho panelu

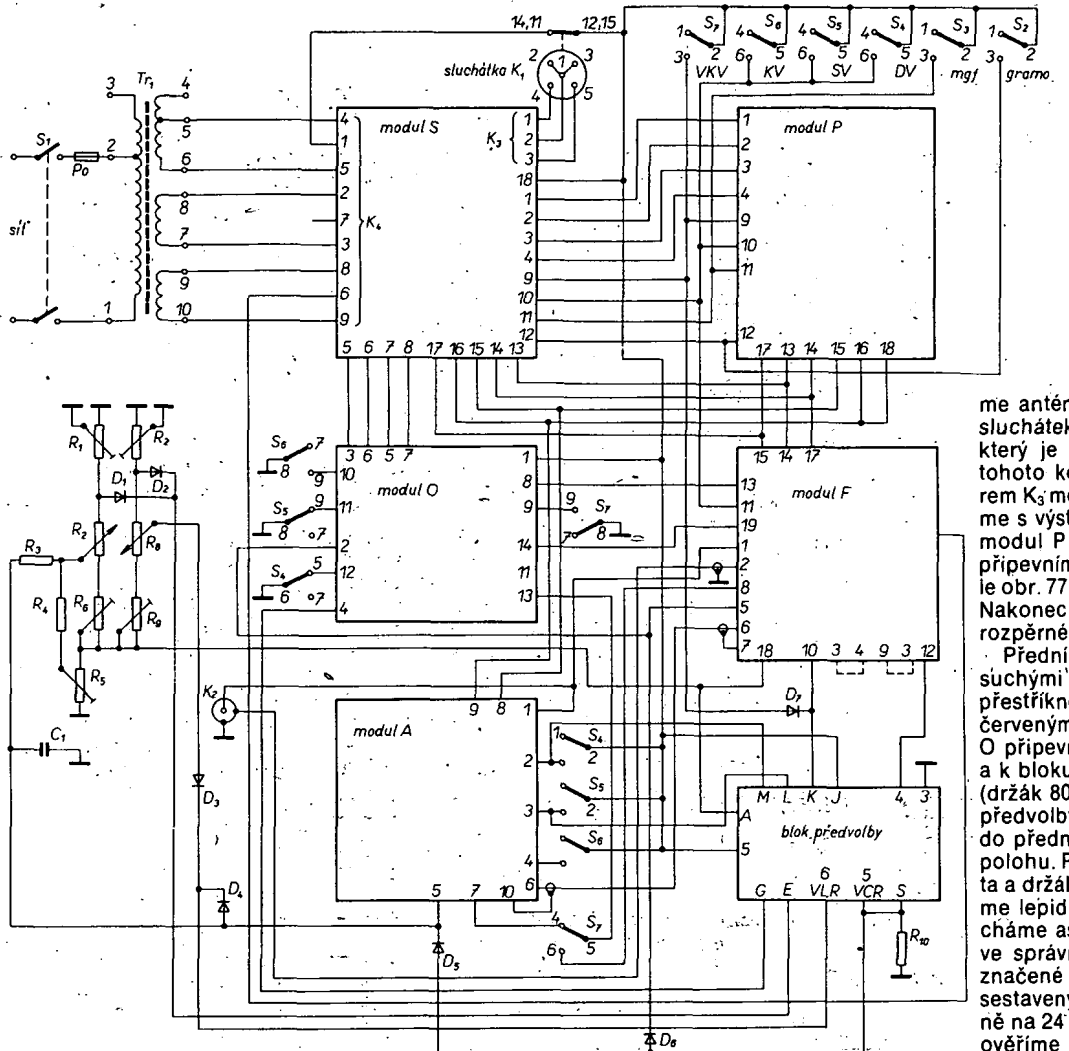


Obr. 79 Přední panel



Obr. 85. Síťový transformátor

Izolace mezi vrstvami 1x plátno tl. 0,1 mm, mezi prim. a sek. vinutím 7x plátno 0,1 mm



Obr. 86. Propojení modulů

musí být vzdálen od plechů a ostatních kovových předmětů minimálně 6 mm. Vývody sekundárních vinutí jsou prodlouženy na délku asi 20 cm. Primární vinutí má odbočku, takže lze nastavit sekundární napětí podle potřeby. Primární vinutí je vyvedeno na držák pojistky.

Mechanické díly

Přijímač MINIKIT 86 má poměrně jednoduchou konstrukci. Je sestaven z předního panelu (obr. 79) a zadního panelu (obr. 78), které jsou spojeny rozpěrnými tyčemi (obr. 81).

Postup montáže: Na zadní panel přišroubujeme síťový transformátor, na kte-

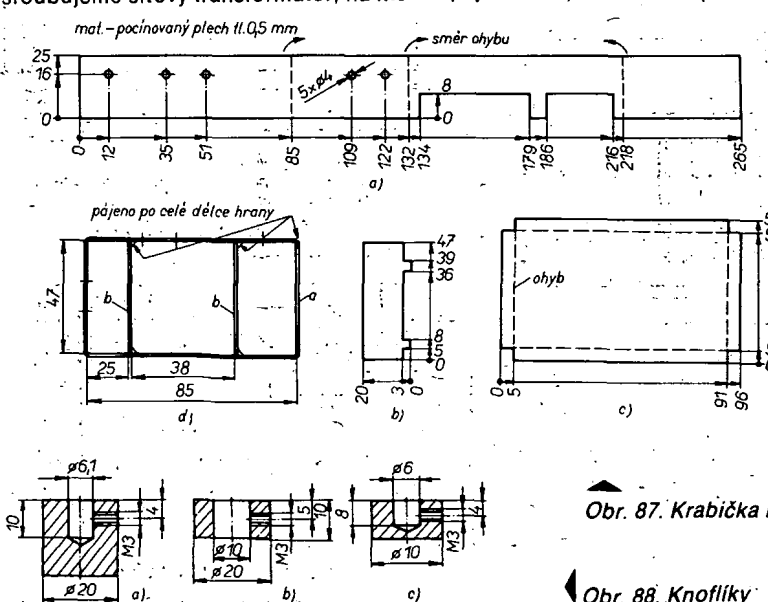
rý předem připevníme držák síťové pojistky. Na modul S připevníme chladič výkonových IO a do něj upevníme konektory K₁ a K₂. Provedení chladiče je na obr. 75. Před připevněním IO potřebeme styčné plochy silikonovou vazelinou. Modul S za chladič připevníme k zadnímu panelu a k pravé spodní rozpěrné tyči (obr. 81c). Vývody ze sekundárního transformátoru zapojíme na konektor K₄ modulu S. Na zadní panel přišroubujeme stabilizátor napětí (IO₆ modulu S) a mezi výstup a pouzdro připojime kondenzátor C₄₅. Je vhodné pod jeden upevněvací šroub IO₆ dát pájecí očko. Vstup IO₆ připojíme na C₄₃ (kladný pól – záporný pól připojíme na pájecí očko). Do zadního panelu připevníme

me anténní souosý konektor a konektor sluchátek s ovládáním kontaktem, přes který je ovládáno relé. Signální vodiče tohoto konektoru propojíme s konektorem K₃ modulu S, ovládací kontakt spojíme s výstupem IO₆ a s K₄ modulu S. Poté modul P s držákem konektorů (obr. 76) připevníme na zadní panel. Držákem podle obr. 77 připevníme modul P k modulu S. Nakonec upevníme do zadního panelu rozpěrné tyče.

Přední panel po louhování popíšeme suchými obtisky Propisot a čelní stranu přestříkнем lakem na fotografie s infracerveným filtrem (Pragosorb). Na modul O připevníme držáky a, b, podle obr. 80 a k bloku předvolby zbyvající dva držáky (držák 80d zcela vpravo). Modul O a blok předvolby s blokem přepínačů nasuneme do předního panelu a označíme si jejich polohu. Poté je vysuneme, označíme místa a držáky odmastíme benzinem a potřeme lepidlem Chémopren 50. Lepidlo necháme asi minutu „zavadnout“ a držáky ve správném pořadí přitiskneme na vyznačené místo na předním panelu. Takto sestavený panel s držáky sevřeme nejméně na 24 hodin do svéraku a po této době ověříme pevnost lepení. Stejným způsobem přilepíme kryt stupnice (obr. 84). Potom do předního panelu zasuneme blok přepínačů, blok předvolby a modulu O. Na převod ladění nasuneme držák ladícího potenciometru (ladící potenciometr je tandemový typu TP283, 100k/N) – viz obr. 82. Ladící napětí je pro stupnice snímáno pouze ze sekce FM, vzhledem k tomu, že se jedná o mechanicky sprážený potenciometr, není nutné snímat pro stupnice napětí ze sekce AM. Rozpěrnými tyčemi (obr. 81) přišroubovanými k držákům (obr. 80) je ukončena první fáze montáže přijímače. Na levou dolní rozpěrkou přišroubujeme přes distanční podložky 5 mm modul A. Na modul F připájíme krabičku podle obr. 87. Na zadní stěně této krabičky jsou připájeny dvě matice, kterými je modul F přichycen k zadní stěně přijímače. Krabice je zakryta dvěma víky. V horním jsou díry pro doladění cívek. Dolní víčko má přední ohnutou hranu zkrácenou na 3 mm. Volný prostor mezi síťovým transformátorem je ponechán např. pro dálkové ovládání, automatické ladění apod. Na obr. 88 jsou knoflíky pro ovládání přijímače. Knoflik ladění je dělený.

Závěr

Celý přijímač je koncipován tak, aby ho bylo možno doplnit dálkovým ovládáním, automatickým laděním a tak nahradit blok předvolby. Je nutno upozornit čtenáře, že přijímač MINIKIT 85 je přístrojem, který jsou schopni realizovat pouze ti zájemci, kteří mají značné zkušenosti v přijímačové technice.



Obr. 87. Krabička modulu F

Obr. 88. Knofliky

závody silnoproudé elektrotechniky, koncem Praha

Elektronodbyt Praha

koncernová účelová organizace

nabízí
v maloprodejnách



DESTIČKY

CUPREXKART PEA – rozměr 400 × 250 × 1,5 mm
CUPREXTIT SEA – rozměr 300 × 200 × 1,5 mm

Adresy prodejen:

Praha 1, Pštrossova 35
tel. 29 93 12

Brno, Sady Osvobození 49
tel. 67 87 35

Pardubice, Štrossova 106
tel. 213 09

Břeclav, Gottwaldova 28
tel. 204 55

Bratislava II, Ipeľská 2,
Zelené centrum, Dolné Hony

Kroměříž, Havlíčkova 341
tel. 218 92

Prostějov, Plumlovská 26
tel. 5681

Spišská Nová Ves,
Sovětské armády 69
tel. 225 62

INZERCE



Inzerci přijímá osobně a poštou Vydatelství
Naše vojsko, inzertní oddělení (inzerce AR),
Vladislavova 26, 113 66 Praha 1, tel. 26 06 51-
9, linka 294. Uzávěrka tohoto čísla byla dne
17. 7. 1986 do když jsme museli obdržet úhradu
za inzerát. Neopomněte uvést prodejní cenu,
jinak inzerát neuveřejníme. Text inzerátu pište
čitelně, aby se předešlo chybám vznikajícím
z nečitelnosti předloh.

PRODEJ

Český manuál pro Commodore 64, 3 knihy
včetně (130) „Single drive manual“. Jan Vi-
touš, Vyšehradská 33, 128 00 Praha 2.

PC-1211 + interface mgf. + český manuál
+ kniha programů (5800). J. Brázda, Klivarova
4, 750 00 Přerov; tel. 480 53.

Nový ZX-Spectrum 48 kB, za odhadní cenu
(7500). J. Pečinová, Sevastopolská 5, 625 00
Brno.

Tiskárnu – jednojehlovou s průklepovou pá-
skou – formát A4. (Cena 2300). Petr Hulík,
Komsomolská 38, 170 00 Praha 7.

MM 5314, 3x LED dvojčistotky (590), AY-3-
8610 (590), ICL 7106 + LCD, objímka a návod
(690) a další seznam protiznámce F. Mařík, Na
podlesí 1476/432 01 Kadaň, tel. 4493.

KOUPĚ

Funkční plánky na televiz., monitor., video
automaty. D. Hráček, Kuchtíkova 1118, 674 01
Třebíč.

Tovární vý gener. AM-FM do 300 i více MHz,
GDO – 200 až 900 MHz – BM 335 i jiné. M. Mik,
Pardubická 794, 104 00 Praha 10-Uhříněves.

Ředitel TESLA – Výzkumného ústavu pro sdělovací techniku
A. S. Popova v Praze

vyhlašuje podle směrnice SK VTRI ze dne 14. 6. 1985

KONKURS
na obsazení místa s vysokoškolskou kvalifikací:

SAMOSTATNÝ ODBORNÝ PRACOVNÍK SPECIALISTA C1

pro činnosti spojené s koordinací a řízením rozvoje spotřební
elektroniky.

Předpoklady: vysoká škola ČVUT FEL, praxe v oboru, kádrové předpoklady a dobrý
zdravotní stav.

Mzdové zařazení se řídí předpisy SK VTRI pro odměňování pracovníků centrálně
řízených organizací VVZ.

Přihlášky doplněné životopisem a popisem kvalifikace zašlete
do 3 týdnů po vyhlášení konkursu na adresu:

TESLA VÚST A. S. Popova, Praha 4-Braník;
Novodvorská 994, PSČ 142 21

OPRAVA

Prosíme čtenáře, aby si opravili v AR
B4/86 v článku Digitální měřic kapacity
s rozsahem 1 pF až 10 mF chyběný výsáze-
ný vzorce. Správně má být:

$$t = -\ln(1 - \frac{U_h}{U_s}) R_1 (C_x + C_p);$$

$$R_1 = \frac{-t}{\ln(1 - U_h/U_s) C};$$

$$t = -\ln(1 - U_h/U_s) RC.$$

Dále si opravte chybou na desce s plošnými
spojemi U227 (str. 139): u IO₃ je třeba propojit
vývody 1 a 2, u IO₂ připojit na zem vývod 5
a R₆ místo na vývod 12 připojit na vývod
11. Autor i redakce se za chyby omlouvají.

JZD „Obránců míru“
739 61 Třinec

zakoupí 2 ks diktafonu
Unisex nebo jiný typ
ve 100% stavu. Odběr
uskutečníme osobně
na fakturu, od sou-
kromníka přes bazar.

Nabídněte.